

1977

SF<sub>6</sub>

18 Б320. Микроволновое поглощение в газообразном SF<sub>6</sub> в области 2,3 см<sup>-1</sup>. Urbaniak J. L., Resor G. E., Dagg I. R. Microwave absorption in gaseous SF<sub>6</sub> in the region of 2,3 cm<sup>-1</sup>. «Can. J. Phys.», 1977, 55, № 7—8, 671—672 (англ.; рез. франц.)

Измерено поглощение газ. SF<sub>6</sub> в области частот около 2,3 см<sup>-1</sup> при т-ре 295° К в диапазоне плотностей газа от 15 до 30 амага. Полученные данные хорошо описывает ур-ние  $\epsilon''/\gamma = 7,2 \cdot 10^{-10} \rho + 2,2 \cdot 10^{-10} \rho^2$ , где  $\epsilon''$  — мнимая часть комплексной диэлектрич. постоянной SF<sub>6</sub>,  $\gamma$  — частота в см<sup>-1</sup>,  $\rho$  — плотность газа в амага. Неопределенность в коэф. линейного члена составляет ~300% и в коэф. квадратичного члена ~30%. Эксперим. данные хорошо согласуются с лит. ИК-результатами. На основе ИК- и МВ-данных определена численная величина интеграла Крамерса — Кронига. Обсуждается точность определения гексадекапольного момента SF<sub>6</sub> на основе классич. теории диэлектрич. постоянной и соотношения Крамерса — Кронига. С. Н. Мурзин

и. б.  
СпектрХ. 1977  
N 18

SF<sub>6</sub>

1974

87: 124857a *Microwave absorption in gaseous sulfur hexafluoride in the region of 2.3 cm<sup>-1</sup>.* Urbaniak, J. L.; Reesor, G. E.; Dagg, I. R. (Dep. Phys., Univ. Waterloo, Waterloo, Ont.), *Can. J. Phys.* 1977, 55(7-8), 671-2 (Eng). Microwave absorption in gaseous SF<sub>6</sub> is reported at 295 K in the d. range 15-30 amagat and in the region of 2.3 cm<sup>-1</sup>. The microwave results are compared with the extrapolated IR results.

C. A. 1977, 87 n 16

*SF<sub>6</sub>*

1974

10 Д540. Микроволновое поглощение в газообразном SF<sub>6</sub> вблизи 2,3 см<sup>-1</sup>. Urhanian J. L., Resor G. E., Dagg I. R., Microwave absorption in gaseous SF<sub>6</sub> in the region of 2,3 см<sup>-1</sup>. «Can. J. Phys.», 1977, 55, № 7—8, 671—672 (англ.; рез. франц.)

Вблизи 2,3 см<sup>-1</sup> при т-ре 295° К измерено микроволни. поглощение в газообразном SF<sub>6</sub> при различных плотностях. Для зависимости комплексной части диэлектр. постоянной от плотности газа получено соотношение  $\epsilon''/\nu = 7,2 \cdot 10^{-10} \rho + 2,2 \cdot 10^{-10} \rho^2$ . Результаты ранних ИК-измерений экстраполированы на область низких частот. Получено удовлетворительное согласие между ИК- и микроволни. измерениями.

М. Р. Алиев

Ф. 1978 № 10

*SF<sub>6</sub>*

7 Б248. Анализ полосы  $3\nu_3$  в  $SF_6$ . Ackeg-  
halt J. R., Flicker H., Galbraith H. W., King  
Joe, Person Willis B. Analysis of  $3\nu_3$  in  $SF_6$ .  
«J. Chem. Phys.», 1978, 69, № 4, 1461—1464 (англ.)

С помощью инфракрасного Фурье-спектрометра измерена полоса поглощения  $3\nu_3$  молекулы  $SF_6$  в области 2800—2850  $\text{см}^{-1}$  с разрешением 0,04  $\text{см}^{-1}$ . Измерения проводились с помощью ячейки типа Уайта с длиной поглощающего слоя 8,25 м и давл. 100 мм. Изучена зависимость интенсивности спектра от т-ры. В полосе  $3\nu_3$  обнаружена интенсивная дублетная  $Q$ -ветвь. Начала полос оценены в 2830,20 и 2827,62  $\text{см}^{-1}$ . На основании измерений интенсивностей и их т-рной зависимости подтверждено отнесение наблюдавших двух  $Q$ -ветвей к двум  $F_{1s}$ -компонентам состояния  $3\nu_3$  молекулы  $SF_6$ .

С. Б. Осин

20. 1979, № 7

XII- 1445

1978

SF<sub>6</sub>

89: 171285p Analysis of  $3\nu_3$  in sulfur hexafluoride. Ackerhalt, J. R.; Flicker, H.; Galbraith, H. W.; King, Joe; Person, Willis B. (Los Alamos Sci. Lab., Univ. California, Los Alamos, N.

Mex.). *J. Chem. Phys.* 1978, 69(4), 1461-4 (Eng). Studies of the  $3\nu_3$  absorption band in SF<sub>6</sub> at 2800-2850 cm<sup>-1</sup> were completed with a Fourier-transform IR spectrometer at a spectral resoln. of 0.04 cm<sup>-1</sup>. This study confirms the results reported earlier by H. Kildal (1977) on the general shape of this absorption band. The absorption was studies as a function of temp., allowing a definite assignment to be made of the ground state features obsd. in this spectrum at room temp. The ground state absorption to  $3\nu_3$  appears with a double Q-branch [estd. band origins at 2830.22 and 2827.62 ( $\pm 0.06$ ) cm<sup>-1</sup>]. The intensities and temp. dependence studies confirm the assignment by K. Fox (1978) of these 2 Q branches to the 2  $F_{1u}$  components of the  $3\nu_3$  state.

C.A. 1978, 89, N20

*SF<sub>6</sub>*

1978  
3 Д359. Анализ полосы  $3\nu_3$  SF<sub>6</sub>. Ackerman J. R., Flicker H., Galbraith H. W., King Joe, Person Willis B. Analysis of  $3\nu_3$  in SF<sub>6</sub>. «J. Chem. Phys.», 1978, 69, № 4, 1461—1464 (англ.)

Получены ИК-спектры поглощения молекул SF<sub>6</sub> в газовой фазе при давлении 700—100 мм рт. ст. методом Фурье-спектроскопии с разрешением 0,04 см<sup>-1</sup> в области 2800—2850 см<sup>-1</sup>. Зарегистрированы пики поглощения 2818, 2822, 2824, 2827,42, 2827,50 и 2829,70 см<sup>-1</sup>, отнесенные к Q-ветвям полос колебания  $3\nu_3$  и ряда горячих переходов. Анализ относит интенсивностей наблюдаемых пиков поглощения при т-рах 200, 300 и 368° К позволяет утверждать, что максимумы поглощения 2827,50 и 2829,70 см<sup>-1</sup> соответствуют Q-ветвям переходов между основным состоянием и двумя уровнями симметрии  $F_{1u}$  состояния  $3\nu_3$  молекулы SF<sub>6</sub>. Библ. 18.

Ю. М. Л.

X// - 1445

Ф. 1979, №

1978

SF<sub>6</sub>

*брандт.  
спектрос.*

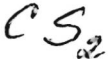
ЗД360. Бесстолкновительное многофотонное возбуждение SF<sub>6</sub>: сравнение ангармонических осцилляторов с и без октаэдрического расщепления при наличии вращательных эффектов. Ackeghalt J. R., Galbraith H. W. Collisionless multiple photon excitation of SF<sub>6</sub>: A comparison of anharmonic oscillators with and without octahedral splitting in the presence of rotational effects. «J. Chem. Phys.», 1978, 69, № 3, 1200—1206 (англ.)

Изучено октаэдрич. расщепление в многофотонном поглощении ИК-излучения газообразной шестифтристой серой в свете недавних измерений и анализа спектра 3v<sub>3</sub> поглощения SF<sub>6</sub> Килдалом («J. Chem. Phys., 1977, 67, 1287). Показано, что простая модель ангармонич. осциллятора, учитывающая вращательные эффекты в первом порядке, хорошо описывает возбуждение v<sub>3</sub> в SF<sub>6</sub>. Обсуждается влияние вращательного расщепления на многофотонное поглощение. Библ. 22.

Б. Д. Ф.

Ф. 1949 № 3

1978



*Электронн.  
структур*

(+1)

2.1979 N/10

10 Б106. Электронное строение молекул  $\text{SF}_6$  и  $\text{CS}_2$ , исследованное методами рентгеновской эмиссионной спектроскопии высокого разрешения. Ågren H., Nordgren J., Selander L., Nordling C., Siegbahn K. Valence electron structure of the  $\text{SF}_6$  and  $\text{CS}_2$  molecules, studied in high resolution X-ray emission. «Phys. scr.», 1978, 18, № 6, 499—505 (англ.)

Проведены измерения рентгеновских эмиссионных  $\text{S} L$ -,  $\text{F} K$ - и  $\text{C} K$ -спектров высокого разрешения в молекулах  $\text{SF}_6$  и  $\text{CS}_2$ . В спектрах  $\text{SF}_6$  при энергиях  $\sim 151$  эв обнаружена группа узких линий, не соотв.-щих переходам с валентных МО на остовные уровни S и F. Эти линии объяснены переходами в заряженных фрагментах атомарной серы. В  $\text{CS}_2$  также обнаружены 2 полосы при энергиях 146 и 149 эв, соотв., к-рые не отвечают одноэлектронным переходам с валентных МО, а связанны с двухэлектронными процессами типа монопольного

воздействия. Для  $SF_6$  с использованием волновых функций основного состояния, полученных неэмпирическим методом ССП МО ЛКАО («Chem. Phys. Lett.», 1970, 4, 471) в различных приближениях рассчитаны интенсивности  $L$ -спектров серы. Сопоставление эксперим. и теор. интенсивностей показало, что для описания электронного строения и хим. связи в  $SF_6$  в набор базисных АО необходимо включать  $3d$ -орбитали серы, а также недостаточность для описания  $L$ -эмиссии в  $SF_6$  одноцентровой модели и необходимость учитывать двухцентровые зклады в вероятность переходов.

И. А. Тополь

$\text{SF}_6$

ommuna 6506

1978

Barber M; et al.

(y)

amorphous  
mercaschips

Mol. Phys., 1978,  
35 (6), 1745-51

*SF<sub>6</sub>*

12 Д 1202. Многофотонное возбуждение и диссоциативная ионизация SF<sub>6</sub>. Ваг-зив Езга, Кайги  
Оded. Multiphoton excitation and dissociative ionization of SF<sub>6</sub>. «Chem. Phys. Lett.», 1978, 56, № 1, 47—49  
(англ.)

*диссой.  
ионизаци*

Предложена простая модель, объясняющая результаты экспериментов (Brunner et al., «Chem. Phys.», 1977, 67, 1547) по определению зависимости вероятности диссоциативной ионизации молекул SF<sub>6</sub> электронным пучком от интенсивности возбуждающего излучения CO<sub>2</sub>-лазера. Получено выражение, описывающее зависимость конц-ии ионизированных фрагментов молекул SF<sub>i</sub><sup>+</sup> от энергии возбуждения при двух неизвестных параметрах ( $\sigma$  — константа, характеризующая насыщение, и  $n$  — порядок многофотонного процесса). По результатам экспериментов найдены эти константы ( $\sigma=0,16$ ,  $n=3$ ). Отмечено соответствие теоретических и эксперим. результатов. Проведены оценки скоростей образования ионных фрагментов молекулы SF<sub>6</sub>. Библ. 17.

М. Ю. Н.

99.1978, № 2

*1978*  
*SF<sub>6</sub>*

88: 110909c Structures of hexacoordinate compounds of main-group elements. Part III. An electron diffraction study of sulfur hexafluoride. Bartell, L. S.; Doun, S. K. (Dep. Chem., Univ. Michigan, Ann Arbor, Mich.). *J. Mol. Struct.* 1978, 43(2), 245-9 (Eng). Gas-phase SF<sub>6</sub> is a regular octahedron with an S-F bond length ( $r_g$ ) of 1.561(2) Å and mean amplitudes of vibration of 0.044(1) Å for S-F, 0.056(6) Å for F-F<sub>trans</sub>, and 0.061(2) Å for F-F<sub>cis</sub>. Uncertainties correspond to 3 $\sigma$ .

*compl. by  
n.aphac.*

C.A. 1978, 88, 116

1978

SF<sub>6</sub>

13 Б96. Структура шестикоординационных соединений элементов главных подгрупп. Часть III. Электронографическое исследование. Bartell L. S., Dunn S. K. Structures of hexacoordinate compounds of main-group elements. Part III. An electron diffraction study of SF<sub>6</sub>. «J. Mol. Struct.», 1978, 43, № 2, 245—249 (англ.)

Методом газовой электронографии изучена структура молекулы SF<sub>6</sub>. Установлено, что молекула является правильным октаэдром с межъядерным расстоянием  $l_g(S-F) = 1,561(2)$  Å и среднеквадратичными амплитудами колебаний (Å):  $l_g(S-F) = 0,044(1)$ ,  $l_g(F-F_{\text{транс}}) = 0,056(6)$  и  $l_g(F-F_{\text{цис}}) = 0,061(2)$ . Значения погрешностей соответствуют величинам  $3\sigma$ . В. Спиридонов

Структур-  
но-исслед.

2. 1978, N 13

*SF<sub>6</sub>*  
*PF<sub>5</sub>*

*расчеты  
ядерного  
спина*

(71)

*Ф.1949,13*

1949

ЗД162. Определение полного ядерного спина в ровибронном состоянии. Применение к молекулам SF<sub>6</sub> и PF<sub>5</sub>. Bordé J. Determination of the total nuclear spin in a rovibronic state application to the molecules SF<sub>6</sub> and PF<sub>5</sub>. «J. phys. Lett.» (France), 1978, . 39, № 12, 175—178 (англ.; рез. франц.)

Рассмотрены три способа вычисления полного ядерного спина, необходимого для расчетов сверхтонкой структуры, в ровибронных состояниях, классифицируемых по точечной группе симметрии многоатомной молекулы. Используется теорема Фробениуса и структура матриц приводимого по SO(3) представления, порожденного прямым произведением спиновых функций  $n$  тождественных ядер молекулы, в базисе неприводимых представлений группы  $S_n \times C_i$  ( $S_n$  — группа симметрии, а  $C_i$  содержит тождественное преобразование и инверсию), подгруппе которой изоморфна точечная группа симметрии молекулы. Вычислены характеристы ядерных спиновых ф-ций с заданным значением полного спина для молекул SF<sub>6</sub> и PF<sub>5</sub>, описаны применения развитых методов к конкретным ровибронным состояниям этих молекул.

Р. Мухтаров

1978

SF<sub>6</sub>

(b3)

89: 50826g Emission spectrum of the  $\nu_3$  band of sulfur hexafluoride at 1780 K. Bott, Jerry F. (Ivan A. Getting Lab., Aerosp. Corp., El Segundo, Calif.). U. S. NTIS, AD Rep. 1978, AD-A049865, 14 pp. (Eng). Avail. NTIS. From Gov. Rep. Announce. Index (U. S.) 1978, 78(9), 106. The emission spectrum of the  $\nu_3$  band of SF<sub>6</sub> at 1780 K is measured in a shock tube. At this high temp., the emission peaks at a frequency of 907 cm<sup>-1</sup>; at room temp., the band has a peak intensity at 948 cm<sup>-1</sup>. Lyman and Nowak obsd. similar but proportionately smaller shifts of the spectral max. to lower frequencies at temps. between 400 and 800 K. A knowledge of the high-temp. spectral distribution of the  $\nu_3$  band is important for the design and interpretation of isotope sepn. expts. in which SF<sub>6</sub> is dissociated by selective multiphoton absorption of CO<sub>2</sub> laser photons.

C. A. 1978. 89 n 6

*SF<sub>6</sub>*

*1978*

4 Б141. Спектр испускания SF<sub>6</sub> в области ν<sub>3</sub> при 1780 К. Bott J. F. Emission spectrum of the ν<sub>3</sub> band of SF<sub>6</sub> at 1780 K. «Appl. Phys. Lett.», 1978, 32, № 10, 624—626 (англ.)

Измерен спектр испускания гексафторида серы в области полосы ν<sub>3</sub> (10—12 мкм), возбуждаемый в ударной трубе ( $T=1780$  К, Ar+0,05% SF<sub>6</sub>,  $p=0,93$  атм). Максимум полосы ( $\nu_{\text{макс.}}$ ) — при  $0,07 \text{ см}^{-1}$  (11,02 мкм), ширина полосы ( $\Delta\nu$ ) после введения поправок на аппаратную функцию монохроматора и самопоглощение составляет  $42 \pm 6 \text{ см}^{-1}$ . Полученные значения  $\nu_{\text{макс.}}$  и  $\Delta\nu$  сравниваются с результатами аналогичных исследований в области т-р 400—800 К. Показано, что в интервале 300—1780 К с увеличением т-ры  $\nu_{\text{макс.}}$  линейно смещается в область меньших частот, а  $\Delta\nu$  линейно возрастает. Отмечается, что подобного рода данные могут быть использованы при разработке методов разделения изотопов посредством селективного двухчастотного многофотонного поглощения.

В. М. Kovba

*Селективное  
излучение*

*1978*

1978

SF<sub>6</sub>

✓3

89: 14293x Emission spectrum of the  $\nu_3$  band of sulfur hexafluoride at 1780°K. Bott, J. F. (Ivan A. Getting Lab., Aerosp. Corp., El Segundo, Calif.). *Appl. Phys. Lett.*, 1978, 32(10), 624-6 (Eng). The emission spectrum was measured of the  $\nu_3$  band of SF<sub>6</sub> at 1780 K in a shock tube. At this high temp., the emission peaks at a frequency of 907 cm<sup>-1</sup> (11.02 $\mu$ m); at room temp., the band has a peak intensity at 948 cm<sup>-1</sup>. J. L. Lyman and A. V. Nowak (1975) obsd. similar, but proportionately smaller shifts of the spectral max. to lower frequencies at temps. between 400 and 800 K. A knowledge of the high-temp. spectral distribution of the  $\nu_3$  band is important for the design and interpretation of isotope sepn. expts. in which SF<sub>6</sub> is dissoed. by selective multiphoton absorption of CO<sub>2</sub> laser photons.

C.A. 1978, 89, 112

*SF<sub>6</sub>*

*1988*

89: 82376b Effects of molecular rotation and vibration-rotation interaction on collisionless multiple-photon excitation of sulfur hexafluoride. Cantrell, C. D.; Fox, K. (Los Alamos Sci. Lab., Univ. California, Los Alamos, N. Mex.). *Opt. Lett.* 1978, 2(6), 151-3 (Eng). The effects of mol. rotation and vibration-rotation interaction and thermally excited vibrational states on the collisionless multiple-photon excitation (CMPE) of SF<sub>6</sub> are calcd. numerically, by using vibrational anharmonic parameters derived from recent spectroscopic data. This is the 1st calcn. of CMPE in SF<sub>6</sub> that employs the rotational energy level and transition moments appropriate for a spherical-top mol. This calcd. multiphoton threshold for CMPE in SF<sub>6</sub> is lower by orders of magnitude than the threshold calcd. without rotations. A tentative assignment is made of 1 transition in the  $\nu_3 \rightarrow 2\nu_3$  spectrum of SF<sub>6</sub>. The dependence of CMPE on laser frequency and intensity and on the initial rotational state of the SF<sub>6</sub> mol. was studied.

*M.N.*

*C.A. 1978, 89, N10*

1978

*SF<sub>6</sub>**SeF<sub>6</sub>**TeF<sub>6</sub>*(v<sub>i</sub>)

88: 200159n Vapor-phase intensity studies of the Raman-active bands of Group 6 hexafluorides. Clark, R. J. H.; D'Urso, N. R. (Christopher Ingold Lab., Univ. Coll., London, Engl.). *J. Chem. Soc., Dalton Trans.* 1978, (2), 170-3 (Eng). Vapor-phase Raman spectra were detd. for MF<sub>6</sub> (M = S, Se, Te) with 488.0 and/or 514.5-nm excitation at ~0.5 atm and ~295 K. The intensities of the ν<sub>1</sub>(a<sub>1g</sub>), ν<sub>2</sub>(e<sub>g</sub>), and ν<sub>5</sub>(t<sub>2g</sub>) bands were detd. relative to that of the ν(a<sub>1</sub>) band of CH<sub>4</sub> as external std.; Raman scattering activities and differential cross sections were calcd. for each band. Mol., bond, and bond-component polarizability derivs., and bond anisotropies were deduced in all cases. The bond polarizability deriv. values are 1.73, 1.65, and 1.35 Å<sup>2</sup> for the SeF, TeF, and SF bonds, resp.; this order agrees with the predictions of a delta-function potential model of chem. bonding and hence with fractional Pauling covalent bond characters of SF (0.61) ≥ SeF (0.60) ≫ TeF (0.47). A Pauling electronegativity for Te of 2.25 was deduced using the model.

(72)



C.A. 1978, 88, N26

XII-1832a

1978

SF<sub>6</sub>

SeF<sub>6</sub>

TeF<sub>6</sub>

(Ae)

87

X, 1978, N 18

18 Б77. Ионизация при столкновениях между быстрыми атомами щелочных металлов и некоторыми молекулами гексафторидов. Compton R. N., Reinhardt P. W., Cooper C. D. Collisional ionization between fast alkali atoms and selected hexafluoride molecules. «J. Chem. Phys.», 1978, 68, № 5, 2023—2036 (англ.)

Измерены зависимости сечений образования различных отриц. ионов при столкновениях в скрещенных молек. пучках атомов щелочных металлов (Na, K, Cs) и молекул гексафторидов MF<sub>6</sub> (M=S, Se, Te, Mo, W, Re, Jr, Pt) от энергии относит. движения сталкивающихся частиц и определены пороги р-ций. Измерены зависимости порогов образования отрицат. ионов от т-ры молекул мишени MF<sub>6</sub>, на основании чего для M=S, Se, Te получены значения сродства к электрону соотв. 0,46±0,2, 2,9±0,2 и 3,3±0,2 эв. Измерены также зависимости от т-ры порогов появления SF<sub>3</sub><sup>-</sup> при столкновениях SF<sub>4</sub> с атомами щел. металлов, на основании к-рых, а также зависимостей от т-ры порога появления SF<sub>5</sub><sup>-</sup> из SF<sub>6</sub>, определены значения сродства к электрону

$SF_n$ . Для  $n=6, 5, 4, 3$  получены, соотв., значения  $0,46 \pm 0,2$ ,  $2,71 \pm 0,2$ ,  $0,78 \pm 0,2$  и  $3,07 \pm 0,2$  эв. Установлено, что для  $M=Mo, W, Re, Jr$  и  $Pt$  ионы  $MF_6^-$  наблюдаются при т-ре молек. пучков щел. металлов в интервале  $100-300^\circ$ , на основании чего для миним. значения сродства к электрону  $MF_6$  для перечисленных  $M$  получена величина 5,3 эв.

Е. Николаев

ри  
уп

1944

 $SF_6$  $SeF_6$  $TeF_6$ 

$A^-$ ,  
конфигурация  
при столкнов.

XII-183.2a

10 Д216. Ионизация при столкновениях быстрых атомов щелочных металлов с шестифтористыми молекулами. Compton R. N., Reinhardt P. W., Cooper C. D. Collisional ionization between fast alkali atoms and selected hexafluoride molecules. «J. Chem. Phys.», 1978, 68, № 5, 2023—2036 (англ.)

Исследованы процессы столкновений атомов A ( $A \equiv Na, K, Cs$ ) с шестифтористыми молекулами  $MF_6$  ( $M \equiv S, Se, Te, Mo, W, Re, Ir, Pt$ ) в диапазоне энергий атомов  $\sim 0—40$  эв. При измерениях использовалась ранее описанная, но несколько усовершенствованная эксперим. установка (Nalley S. J. et al., «J. Chem. Phys.», 1973, 59, 4125). Более подробно изучены молекулы  $SF_6$ ,  $SeF_6$ , и  $TeF_6$ , для которых выяснено влияние т-ры мишени T на пороги реакций типа  $A + MF_6 \rightarrow A^+ + MF_6^-$ ,  $\rightarrow A^+ + MF_5^- + F$ ,  $\rightarrow A^+ + MF_5 + F^-$  и определены скорректированные к  $T \rightarrow 0$  величины электронного сродства (ЭС), которые оказались равными (в эв):  $0,46 \pm 0,2$  ( $SF_6$ ),  $2,9 \pm 0,2$  ( $SeF_6$ ) и  $3,3 \pm 0,2$ .

Ф. 1943, № 10

↗

(TeF<sub>6</sub>). С приведенными значениями ЭС согласуются данные, полученные из измерений энергетич. потерь атомами A в реакциях  $A + MF_6 \rightarrow A^+ + MF_6^-$  при малых углах рассеяния. ЭС для ряда молекул SF<sub>n</sub> ( $n=5, 4, 3$ ) определены с использованием известных энергий диссоциативных связей D(SF<sub>n</sub>—F). Они равны (в эв): 2,71±0,2 (SF<sub>5</sub>); 0,78±0,2 (SF<sub>4</sub>); 3,07±0,2 (SF<sub>3</sub>). Для молекул MoF<sub>6</sub>, WF<sub>6</sub>, ReF<sub>6</sub>, TfF<sub>6</sub> и PtF<sub>6</sub> нижние пределы ЭС, определенные путем детектирования ионов MF<sub>6</sub><sup>-</sup>, образуемых при столкновениях пучков атомов щелочных элементов с тепловыми энергиями (~100–300° С) с MF<sub>6</sub> соответствуют ~5 эв. Библ. 58. И. Флакс



*SF<sub>6</sub>*

1978

(O<sub>i</sub>)

89: 50865u Collisionless intramolecular energy transfer in vibrationally excited sulfur hexafluoride. Deutsch, T. F.; Brueck, S. R. J. (Lincoln Lab., Massachusetts Inst. Technol., Lexington, Mass.). *Chem. Phys. Lett.* 1978, 54(2), 258-64 (Eng). IR-IR double resonance measurements of the  $\nu_3$  absorption band of SF<sub>6</sub> using a CO<sub>2</sub> TEA pump laser (0.3 J/cm<sup>2</sup> max. excitation) and a cw CO<sub>2</sub> probe laser were carried out. These measurements probe both the coherent and quasi-continuum phases of the multiphoton dissociation process in SF<sub>6</sub>. The spectral and temporal dependences of the induced absorption are obtained. The results give the 1st direct measurement of collisionless intramol. vibrational energy redistribution times in a vibrationally excited complex mol.; for an excess energy of 3 quanta deposited in the  $\nu_3$  mode of SF<sub>6</sub>, the  $\nu_3$  mode comes into equil. with all the remaining vibrational degrees of freedom with a  $3 \pm 1 \mu\text{s}$  time const.

C. A. 1978. 89 v6

1978

*SF<sub>6</sub>**б дисс. реффе*

З Г 557 Д. Изучение дугового разряда в гексафторида серы ( $SF_6$ ) и в смесях аргон —  $SF_6$ . Etude d'une colonne d'arc dans l'hexafluorure de soufre ( $SF_6$ ) et dans les melanges argon— $SF_6$ . D'après Bernhard. Thèse doct. Univ. Orleans U. E. R. sci. fond. et appl., 1978. 122 p., ill. (франц.)

(диссертация)  
ЧИС

Основные разделы диссертации: эксперим. установка плазматрон, термодинамич. равновесие и состав плазмы, оптич. диагностика плазмы, определение плотности электронов, определение т-ры, определение характеристик дуги и расчет транспортных коэф. плазмы (электропроводности и теплопроводности), Г. К.

Р. 1981. НЧ

*SF<sub>6</sub>*  
*UF<sub>6</sub>*

*расщепл.  
полосы 3v<sub>3</sub>  
в колеб.  
спектре*

(+)

*Ф. 1978, № 10*

*1978*

10 Д150.  $3v_3$  колебательный спектр SF<sub>6</sub> и UF<sub>6</sub>.  
Fox Kenneth.  $3v_3$  vibrational spectra of SF<sub>6</sub> and  
UF<sub>6</sub>. «J. Chem. Phys.», 1978, 68, № 5, 2512—2513  
(англ.)

В базисе колебательных угловых моментов рассчитано расщепление полосы  $3v_3$  в колебательных спектрах SF<sub>6</sub> и UF<sub>6</sub>. Для обоих соединений предсказано расщепление  $3v_3$  на две полосы примерно одинаковой интенсивности. В случае SF<sub>6</sub> преобладающий вклад в полосу с большей энергией вносит состояние с  $l=3$ , а в менее интенсивную полосу — состояние с  $l=1$ . Рассчитанная величина расщепления завышена по сравнению с экспериментальной примерно в 7 раз, что объясняется недостаточно надежным определением основных спектроскопич. параметров SF<sub>6</sub>. В случае UF<sub>6</sub> две полосы, на которые расщепляется  $3v_3$ , представляют собой смесь состояний с  $l=3$  и  $l=1$ , входящих примерно в равном соотношении.

О. В. Сизова

1978

$SF_6$   
 $SeF_6$   
 $TeF_6$   
 $UF_6$

( $v_i$ )

У8 Б169. Нижняя граница и значение неактивной частоты колебания  $v_6(F_{2u})$  для систем  $XY_6(O_h)$ . Fadini A., Kemmler-Sack S. Untere Grenze und Abschätzung der inaktiven Schwingungsfrequenz  $v_6(F_{2u})$  für Systeme  $XY_6(O_h)$ . «Spectrochim. acta», 1978, A34, № 9, 853—855 (нем.; рез. англ.)

Предложено два новых ур-ния для расчета неактивной частоты  $v_6(F_{2u})$  в системах  $XY_6$  (симметрия  $O_h$ ). Первое ур-ние позволяет найти нижний предел этой величины, второе — оценить реальную величину. В ур-ния входят величины  $v_5$ ,  $F_{44}$  и  $F_{55}$ . В кач-ве примеров  $v_6$  вычислена в след. соединениях:  $MF_6$  ( $M=S$ , Se, Te, U),  $Ba_2SrUO_6$ ,  $BaSrCdUO_6$ ,  $Sr_2CdUO_6$ ,  $Ba_2Y_{0,67}WO_6$  и  $Ba_2Y_{0,67}TeO_6$ . В этих соединениях  $v_6(F_{2u})$  лежит в области 363—144  $\text{см}^{-1}$ .

Е. Разумова

(+3)

Х.К.44 N8

*SF<sub>6</sub>*

*crossed  
gratings.*

*v<sub>3</sub>; v<sub>4</sub>.*

*1978*

88: 200271t Collisionless 16  $\mu\text{m}$  fluorescence in sulfur hexafluoride following 10  $\mu\text{m}$  carbon dioxide laser pumping: comments on the vibrational quasicontinuum. Frankel, Donald S., Jr.; Manuccia, T. J. (Nav. Res. Lab., Washington, D. C.). *Chem. Phys. Lett.* 1978, 54(3), 451-6 (Eng). The  $v_3$  mode of SF<sub>6</sub> was excited at 10  $\mu\text{m}$  with a CO<sub>2</sub> laser and the fluorescence detected at 16  $\mu\text{m}$  from the other IR active mode,  $v_4$ . The risetime of the 16  $\mu\text{m}$  fluorescence is limited by the 2  $\mu\text{s}$  pumping pulse width even at pressures as low as 2 mtorr, where the mean time between collision is 10  $\mu\text{s}$ . The role is discussed of the vibrational quasicontinuum in the expt. and in multiple photon IR dissociation of SF<sub>6</sub>.

*C.A. 1978, 88, N28*

*SF<sub>6</sub>*

*19/88*

9 Д475. Выражения для частоты линий трижды вырожденных фундаментальных колебаний молекул типа сферического волчка с большим угловым моментом вращения. Galbraith H. W., Patterson C. W., Kohn B. J., Harter W. G. Line frequency expressions for triply degenerate fundamentals of spherical top molecules appropriate for large angular momentum. «J. Mol. Spectrosc.», 1978, 73, № 3, 475—493 (англ.)

( $J_i$ )

Получены выражения для частоты линий трижды вырожденных фундаментальных колебаний «тяжелых» молекул типа сферич. волчка с большим угловым моментом вращения в предположении, что оператор чисто вращательного углового момента  $R$  квантован по направлению осей 3-го или 4-го порядка. В рамках теории Хартера и Паттерсона (См. Harter W. G. et al., «Phys. Rev. Lett.», 1977, 38, 224) определены недиагональные элементы оператора  $R$  с использованием стандартных 3—I символов, причем проведенный расчет

*22/10/93/159*

эквивалентен операции полной диагонализации гамильтонiana, вследствие чего теоретич. анализ спектров таких молекул не требует привлечения октаэдрич. (или тетраэдрич.) подгрупп симметрии для группы вращения. Выполнен расчет вращательной структуры колебательной линии для  $30 \leq I \leq 90$  и вычислены частоты вращательных переходов в молекулах типа  $SF_6$ . Показано, что интенсивность линий запрещенных вращательных переходов в указанном интервале значений  $I$  в  $10^2$  раз меньше интенсивности линий вращений, разрешенных правилами отбора. Библ. 19.

И. В. А.

дной  
да.

1978

*SF<sub>6</sub>**N<sub>2</sub>O**NO*

(γ)

(42) 

9 Д220. Измерение потенциалов ионизации молекул с помощью (*e*,*2e*)-спектроскопии. Measurement of ionization potentials of molecules by (*e*, *2e*) spectroscopy. Giardini-Guidoni A., Fantoni R., Camillo-ni R., Stefani G. «Adv. Mass Spectrom. Vol. 8A. Proc. 8th Int. Conf., Oslo, 1979». London, 1978, 71—78 (англ.)

Техника совпадений, когда рассеянный и выбитый электроны регистрируются на совпадение, используется для измерения потенциалов ионизации валентных оболочек молекул SF<sub>6</sub>, N<sub>2</sub>O и NO. Измерения проводились при энергии первичного электронного пучка  $\approx 2,6$  эВ. и энергетич. разрешении  $\sim 2,6$  эВ. Измерение импульсов и энергий рассеянного и выбитого электронов полностью определяет кинематику столкновения. При этом в соответствии с законом сохранения энергии  $E_\lambda = E_0 - (E_1 + E_2)$  ( $E_0$ ,  $E_1$  и  $E_2$  — энергии налетающего и двух уходящих электронов) и определяет

φ. 1981 № 9

энергии возбуждения различных состояний остаточного иона. Изменение  $E_0$  или ( $E_1+E_2$ ) обеспечивает получение спектра, аналогичного наблюдаемому в экспериментах по фотоэлектронной спектроскопии. Кроме того, ( $e, 2e$ )-спектроскопия позволяет использовать переходы не только в оптически разрешенные, но и оптически запрещенные состояния иона. Приводятся ионизационные потенциалы низших состояний различной симметрии молекул  $SF_6$ ,  $N_2O$  и  $NO$ , примеры энергетических спектров, а также ф-ции угловой корреляции рассеянного и выбитого электронов. Отмечается сильное расхождение между измеренными ф-циями угловой корреляции для  $(3\sigma)^{-1}$ ,  $(2\sigma)^{-1}$  и  $(1\sigma)^{-1}$  состояний молекулы  $NO$  и расчетами, выполненными с волн. ф-циями, учитывающими наложение конфигураций.

B. C.

BX-1304

1978

$\text{PF}_6^-$ ,  $\text{SF}_6$ ,  $\text{ClF}_6^-$ ,  $\text{Kef}_6$ ,  $\text{LiHg}^+$  (14)  
 $\text{BF}_2\text{H}_4^+$  (kb. alk. pacr.)

Gimarc B.M., Liebman J.F., Kohl M.,  
J. Am. Chem. Soc. 1978, 100(8), 2384

The shapes and other properties of  
non-transition element comp-

C.A. 1978, 88, N26, 19807912

10



*SF<sub>6</sub>*

отмеч 6576

1978

1 Б41. Расчет потенциалов ионизации молекулы SF<sub>6</sub> дискретно-вариационным методом X<sub>α</sub>. Gutzev G. L., Levin A. A. DVM X<sub>α</sub> calculations of ionization potentials of the SF<sub>6</sub> molecule. «Chem. Phys. Lett.», 1978, 57, № 2, 235—238 (англ.)

Дискретно-вариационным методом проведены вычисления потенциалов ионизации молекулы SF<sub>6</sub>. Электронная плотность аппроксимировалась линейной комбинацией сферически симм. одноэкспонентных функций, центрированных на атомах, коэф. линейной комбинации находились по методу наименьших квадратов. Исполь-

2.1949.11

зован *sp*-базис численных хартри-фоковских АО, а также *d*-орбитали слейтеровского типа на атоме S. В кач-ве обменного параметра  $\alpha$  взято среднее от атомных значений Шварца, расчет ПИ проводился в рамках слейтеровской концепции переходного состояния. В *sp*-базисе получен следующий порядок валентных уровней (в порядке возрастания ПИ):  $1t_{1g} < 1t_{2u} \sim 5t_{1u} < 3e_g < 1t_{2g} < 4t_{1u} < 5a_{1g}$ , что согласуется с эксперим. данными и результатами неэмпирич. расчетов. Включение в базис *d*-АО S приводит к стабилизации уровней  $3e_g$  и  $1t_{2g}$ , однако без изменения последовательности МО. Проведен анализ заселенностью по Малликену, полученные результаты сопоставлены с данными др. расчетов молекулы SF<sub>6</sub> различными методами.

М. Гофман

ОТМОСК 6576

1978

SF<sub>6</sub>

(9)

12 Д171. Расчеты ионизационных потенциалов молекулы SF<sub>6</sub> дискретным вариационным методом (ДВМ) Xα. Gutzev G. L., Levin A. A. DVM Xα calculations of ionization potentials of the SF<sub>6</sub> molecule. «Chem. Phys. Lett.», 1978, 57, № 2, 235—238 (англ.)

Электронная структура молекулы SF<sub>6</sub> рассчитана методом ДВМ Xα. В приближении переходного состояния вычислены ионизационные потенциалы, которые сопоставлены с результатами других расчетов и экспериментом. Базисные ф-ции метода представляют собой линейные комбинации одноэкспонентных орбиталей. Рассмотрено влияние подключения S3d-ф-ций на ионизационные потенциалы SF<sub>6</sub>. Рассчитанные потенциалы ионизации внешних оболочек ( $E_i \leq 50$  эв) очень хорошо согласуются с экспериментальными. Большие отличия наблюдаются в энергиях остовых уровней по сравнению с другими расчетами. Подключение d-орбиталей повышает энергию ионизации 3e<sub>g</sub> на ≈0,6 эв и 1t<sub>2g</sub> на ≈0,9 эв, однако при этом ухудшается согласие с экспериментом для уровней 1t<sub>1g</sub> и 5a<sub>1g</sub>.

И. Гегузин

90. 1978  
N12'

*SF<sub>6</sub>*

OMNIFILE 6.546

1978

89: 138106h DVM X $\alpha$  calculations of ionization potentials of the sulfur hexafluoride molecule. Gutsev, G. L.; Levin, A. A. (N. S. Kurnakov Inst. Gen. Inorg. Chem., Moscow, USSR). *Chem. Phys. Lett.* 1978, 57(2), 235-8 (Eng). Ionization potentials of SF<sub>6</sub> were calcd. with the help of the discrete variational X $\alpha$  method. A basis of numerical Hartree-Fock functions was used. Slater-type functions (3d) were also included into the basis set to investigate the effect of 3d S orbitals. The ordering of the levels calcd. in the sp basis is 1t<sub>1g</sub>, 1t<sub>2u</sub> + 5t<sub>2u</sub>, 1t<sub>2g</sub>, 4t<sub>1u</sub>, 5a<sub>1g</sub>. The effect of 3d orbitals is restricted to some lowering of the e<sub>g</sub> and t<sub>2g</sub> levels, the level ordering being unaffected.

(y)

C.A. 1978, 89 N16

*SF<sub>6</sub>*

*1978*

12 Д479. ИК-спектроскопия в сверхзвуковых молекулярных пучках: полоса  $\nu_3$  соединения SF<sub>6</sub> на длине волны 10,6 мк. Kim K. C., Holland R. F., Filip H. Infrared spectroscopy in supersonic molecular beams:  $\nu_3$  band of SF<sub>6</sub> at 10,6 μm. «Appl. Spectrosc.», 1978, 32, № 3, 287—289 (англ.)

*И. В. Смирнов*

Исследован контур ИК-полосы  $\nu_3$  переохлажденного газообразного SF<sub>6</sub> (**I**) с длиной волны ~10—6 мк в сверхзвуковой струе. Выполнен теоретич. расчет контура полосы  $\nu_3$  I при т-рах 90 и 300° К. Предположено, что т-ра I в сверхзвуковой струе составляет ~90° К. Показано, что при интерпретации ИК-спектра I, полученного в сверхзвуковой струе, необходимо учитывать неоднородность струи и вариации коэф. поглощения в области спектральной щели. Библ. 12. И. В. А.

*Ф. 1978, N12*

*1948*

$\text{SF}_6$

89: 33680n Infrared spectroscopy in supersonic molecular beams:  $\nu_3$  band of sulfur hexafluoride at 10.6  $\mu\text{m}$ . Kim, K. C.; Holland, R. F.; Filip, H. (Los Alamos Sci. Lab., Los Alamos, N. Mex.). *Appl. Spectrosc.* 1978, 32(3), 287-9 (Eng). A band contour anal. is shown for the  $\nu_3$  absorption of the flow-cooled SF<sub>6</sub>. Temp. dependence of the absorption feature is simulated. The possible utility of this technique as a temp. probe of flow-cooled gas mixts. is discussed.

( $\nu_3$ )

C.A., 1948, 89, N4

SF<sub>6</sub>

Commun 6858

1978

(compared) Holzer W; et al.  
(enlarged) Mol. Phys., 1978, 36(3)

817 26

Collision-induced Raman  
Scattering in CO<sub>2</sub>...

список 7764

1978

SF<sub>6</sub>

(v<sub>i</sub>)

9 Д486. Возмущения частот линий в высоких *J*-мультиплетах полосы  $v_3$  SF<sub>6</sub>. Krohn Burton J. The perturbations of line frequencies in high-*J* manifolds of the  $v_3$  band of SF<sub>6</sub>. «J. Mol. Spectrosc.», 1978, 73, № 3, 462—474 (англ.)

Выполнены расчеты частот колебательно-вращательных линий в спектре ИК-поглощения газообразной SF<sub>6</sub> в области полосы  $v_3$ , полученном с помощью диодного лазера. Отмеченные ранее расхождения результатов расчета с данными опыта объяснены влиянием недиагональных матричных элементов внутримолекулярных колебательно-вращательных возмущений, образующих тензор 4-го ранга. В высоких *J*-мультиплетах ветвей *P* и *R* величины поправок образуют параболич. ф-цию положения линий. Поправки в ветви *Q* аналитически не описываются. Библ. 21.

М. Тонков

Ф.1979.11.9

1978

SF<sub>6</sub>

19 Б225. Бесстолкновительная внутримолекулярная колебательная релаксация в SF<sub>6</sub>. Kwok H. S., Yablonovitch E. Collisionless intramolecular vibrational relaxation in SF<sub>6</sub>. «Picosecond Phenom. Proc. 1st Int. Conf., Hilton Head, S. Ca., 1978». Berlin e. a., 1978, 218—223 (англ.)

Колебательная  
релаксация

При помощи пикосекундного CO<sub>2</sub>-лазера с поперечным разрядом ( $\tau_{имп.} \sim 30$  псек) и импульсной техники детектирования измерены временные зависимости процессов восстановления насыщения в газ. SF<sub>6</sub> при давл. 5, 20 и 50 мм и различных т-рах газа. Установлено, что бесстолкновительная внутримолек. колебательная релаксация может наблюдаться в эксперим. условиях с учетом постоянной времени столкновительных процессов  $\tau = 13,5(3,0)$  нсек·мм. Из временных зависимостей оценено время внутримолек. колебательной релаксации в SF<sub>6</sub>  $1$  псек  $< T_1 < 30$  псек.

С. Н. Мурзин

8.1980 №19

SF<sub>6</sub>

Omnimic 6788

1978

Letokhov V.S.

(CCCP)

Circus

Horowitz

Spivakoff

Bogolyubov

Comments Atomic

Mol. Phys. 1978

8 (1-2), 39-49

SF<sub>6</sub> omniue 6915 1978.

Marcott C., et al.

In Spectrochim. acta

1978, A34, 661-665

Three-quantum transition  
probabilities in the ..

SF<sub>6</sub>

1978

7 Д282. Инфракрасная спектроскопия высокого разрешения с использованием перестраиваемых лазеров.  
High resolution infrared spectroscopy with tunable lasers. McDowell Robin S. «Adv. Infrared and Raman Spectrosc. Vol. 5». London e. a., 1978, 1—66: (англ.)

Обзор современного состояния ИК-спектроскопии с разрешением  $10^{-3} \div 10^{-4}$  см<sup>-1</sup> на основе перестраиваемых полупроводниковых лазеров. Рассмотрены принципиальные схемы лазерных спектрометров, проблема калибровки таких спектрометров, методы измерения спектров, включая измерение абр. интенсивностей линий. Значительное место отводится применению перестраиваемых лазеров в спектроскопии насыщенного поглощения и в экспериментах по двойному резонансу. Приведены результаты исследования вращательной структуры колебательных полос молекул SF<sub>6</sub>, OsO<sub>4</sub>, CH<sub>4</sub>.

(73)

φ. 1980. №7

SO<sub>2</sub> и др., формы и ширины линий, интенсивности по-  
лос. Рассмотрены также применения перестраиваемы-  
х лазеров для контроля загрязнений атмосферы. Библ. 351

М. Р. Алиев

(1/2)

7

1978

*SF<sub>6</sub>*

2 Б263. Интерпретация спектров низкого разрешения Q-ветвей трижды вырожденных колебательно-вращательных фундаментальных полос молекул типа сферического волчка. Michelot F., Moget-Bailly J. Interpretation of low-resolution spectra of Q branches of triply degenerate vibration-rotation fundamental bands of spherical top molecules. «J. phys. Lett.» (France), 1978, 39, № 16, 275—277 (англ.; рез. франц.)

(93)

Получены аналитич. выражения для частот трижды вырожденных колебательно-вращательных полос молекул типа сферич. волчка с использованием векторных коэф. взаимодействия  $|F_{A_1PP}^{4JJ}|$ , примененных к кубич. симметрии. Даны ф-лы для частот пиков поглощения неразрешенных Q-ветвей. Рассчитаны частоты Q-подветвей полосы  $\nu_3$  молекулы SF<sub>6</sub>. Результаты сравнены с экспериментом и отмечено их хорошее согласие.

С. Б. Осин

д. 1979

1979 № 2

отмечен 7309

1973

SF<sub>6</sub>

10 Б' 30. Константы колебательной ангармоничности молекулы SF<sub>6</sub>. I. Изучение переходов в области ν<sub>4</sub> с использованием диодового лазера с излучением 16 мкм. Person W. B., Kim K. C. Vibrational anharmonicity constants for SF<sub>6</sub>. I. A 16 μ diode laser study of transitions in the ν<sub>4</sub> region. «J. Chem. Phys.», 1978, 69, № 5, 2117—2125 (англ.)

С использованием диодового лазера 16 мкм и многоходовой (1 км) т-рной кюветы изучена тонкая структура колебательного перехода ν<sub>4</sub> в газе SF<sub>6</sub>. Идентифицированы горячие переходы в области ν<sub>4</sub>, относит. интенсивности соотв-щих Q-ветвей соотнесены с распределением заселенностей в т-рном интервале 160—300 К и определены эмпирич. константы ангармоничности  $X_{ij}^e$ : полоса ν<sub>4</sub>+ν<sub>4</sub>-ν<sub>3</sub>=613,50 см<sup>-1</sup>,  $X_{34}^e=-1,53$  см<sup>-1</sup>; ν<sub>2</sub>+ν<sub>4</sub>-ν<sub>2</sub>=613,75, 613,85,  $X_{24}^e=-1,22$ ; ν<sub>1</sub>+ν<sub>4</sub>-ν<sub>1</sub>=613,99,  $X_{14}^e=-1,03$ ; ν<sub>4</sub>+ν<sub>5</sub>+ν<sub>6</sub>—(ν<sub>5</sub>+ν<sub>6</sub>)=614,59,  $X_{45}^e+X_{46}^e=$

21. II. 1979

х. 1979, № 10

$v_4 + v_5 - v_5 = 614,65$ ,  $X_{45}^e = -0,37$ ;  $v_4 + 2v_6 - 2v_6 =$   
 $X_{46}^e = -0,11$ ;  $v_4 + v_6 + v_6 = 614,92$ ,  $X_{46}^e = -0,11$ ;  
 $2v_4 - v_4 = 615,14$ ,  $X_{44}^e = +0,12$ . Эксперим. значения  $X_{ij}^e$   
сопоставлены с рассчитанными в двух вариантах, в  
одном из к-рых варьировался параметр  $a$  потенциала  
Morse вал. координат S—F, и в другом дополнительно  
учитывалось взаимодействие между несвязанными ато-  
мами, описываемое модифицированной потенциальной  
функцией Юри-Бредли.

Б. В. Рассадин

оттиск 7309

1978

SF<sub>6</sub>

4 Д376. Постоянные колебательной ангармоничности  
для SF<sub>6</sub>. Ч. I. Изучение переходов в области ν<sub>4</sub> с ис-  
пользованием полупроводникового лазера на 16 мк.

Person W. B., Kim K. C. Vibrational anharmonicity constants for SF<sub>6</sub>. I. A 16 μ diode laser study of transitions in the ν<sub>4</sub> region. «J. Chem. Phys.», 1978, 69, № 5, 2117—2125 (англ.)

С помощью перестраиваемого полупроводн. лазера получены ИК-спектры поглощения в области 613—616 см<sup>-1</sup> молекул SF<sub>6</sub> при давл. 10<sup>-3</sup>—3·10<sup>-2</sup> мм рт. ст. Зарегистрированы и измерены с точностью ±0,02 см<sup>-1</sup> частоты Q-ветвей девяти полос поглощения. Измерения их относит. интенсивностей в температурном интервале 288—160° К позволили идентифицировать Q-ветви следующих колебаний: ν<sub>4</sub>, 2ν<sub>4</sub>—ν<sub>4</sub>, ν<sub>4</sub>+ν<sub>k</sub>—ν<sub>k</sub> (k=1, 2, 3, 5, 6), ν<sub>4</sub>+2ν<sub>6</sub>—2ν<sub>6</sub> и ν<sub>4</sub>+ν<sub>5</sub>+ν<sub>6</sub>—(ν<sub>5</sub>+ν<sub>6</sub>). Результаты измерений использованы для расчета эмпирич. постоянных ангармоничности, связывающих колебание ν<sub>4</sub> с другими норм. колебаниями. Полученные величины сравниваются с результатами модельных расчетов с использованием потенц. ф-ции Морзе. Библ. 36. Ю. М. Л.

оп. 1949, № 4

SF<sub>6</sub>

ommuek 7309

1978

30: 188392u Vibrational anharmonicity constants for sulfur hexafluoride. I. A 16  $\mu$  diode laser study of transitions in the  $v_4$  region. Person, W. B.; Kim, K. C. (Los Alamos Sci. Lab., Univ. California, Los Alamos, N. Mex.). *J. Chem. Phys.* 1978, 69(5), 2117-25 (Eng). A total of 8 empirical anharmonicity consts. were detd. from diode laser studies of the  $v_4$  vibrational transitions in SF<sub>6</sub>. The transitions from the low excited states on the 16- $\mu$  region were recorded using semiconductor lasers with a long optical path absorption cell. The relative intensities of the corresponding Q branches were related to the population distribution at 160-300 K in order to make the spectroscopic assignments of the  $v_4$  hot band transitions. These measured states represent ~86% of the total population distribution of the SF<sub>6</sub> mol. at 300 K. Theor. models based on Morse potential functions are discussed and the results from the model calens. are compared with the exptl. vibrational anharmonicity consts.

C.A. 1978, 89, N22

1978

SF<sub>6</sub>

89: 171290m Measurements of some line positions and strengths in the  $\nu_4$  region of sulfur hexafluoride. Person, Willis B.; Kim, K. C. (Los Alamos Sci. Lab., Univ. California, Los Alamos, N. Mex.). *J. Chem. Phys.* 1978, 69(4), 1764-9

(j)

(Eng). Abs. "line strength" measurements with a diode laser spectrometer are reported for a no. of *J*-manifolds for  $\nu_4$  of SF<sub>6</sub> in the gas phase. These results were analyzed to obtain the  $\nu_4$  vibrational band strength:  $S_V^0 \equiv A = 83 \pm 11 \text{ km mole}^{-1}$ . A crit. discussion is presented of errors in line and band strength measurements in general, and of these results in particular. The exptl. procedure was calibrated by measurements on several rotational lines in  $\nu_2$  of N<sub>2</sub>O; the vibrational band strength derived for that transition in N<sub>2</sub>O is  $S_V^0 = A = 7.71 \pm 0.76 \text{ km mole}^{-1}$ , in excellent agreement with the literature value from total integrated band area measurements. The measured value for  $S_V^0$  for  $\nu_4$  of SF<sub>6</sub> is compared with literature values, and the discrepancy is discussed.

C.A. 1978, 29, N20

1978

*SF<sub>6</sub>*

7 Б249. Измерения положений и сил некоторых линий в области полосы  $\nu_4$  молекулы SF<sub>6</sub>. Person Willis B., Kim K. C. Measurements of some line positions and strengths in the  $\nu_4$  region of SF<sub>6</sub>. «J. Chem. Phys.», 1978, 69, № 4, 1764—1769 (англ.)

*μ, δi*

Измерены абс. «силы линий» для нек-рых вращательных линий с неразрешенной или частично разрешенной *g*-структурой полосы  $\nu_4$  молекулы SF<sub>6</sub> в газовой фазе. Измерения проводили с помощью лазера на диодах с разрешением около 10<sup>-4</sup> см<sup>-1</sup>. Калибровка проводилась по нек-рым вращательным линиям полосы  $\nu_2$  молекулы N<sub>2</sub>O. Значение для силы полосы  $\nu_2$ , равное 7,71 ± 0,76 км·моль<sup>-1</sup>, отлично согласуется с лит. данными, полученными из измерений интегральной площади. Определено значение для силы колебательной полосы  $\nu_4$  молекулы SF<sub>6</sub>:  $S_{\nu^0} = 83 \pm 11$  км/моль. Критически обсуждаются ошибки метода измерения интенсивностей линий и полос, а также полученных данных. Результаты сравнены с лит. значениями и обсуждены причины их различия. Определена величина дипольного момента  $\mu_{01}^z$ , равная 0,134 Д.

С. Б. Осин

20.1979 N7

SF<sub>6</sub>

Omniscient

6063  
~~5136~~

1978

J.  
J.L.  
CKP

88: 96995u Vibrational Raman spectrum of sulfur hexa-fluoride. Rubin, Barry; McCubbin, T. K., Jr.; Polo, S. R. (Dep. Phys., Pennsylvania State Univ., University Park, Pa.). *J. Mol. Spectrosc.* 1978, 69(2), 254-9 (Eng). The Raman active fundamentals and the 1st overtone of the inactive fundamental of SF<sub>6</sub> gas were measured with sufficient resoln. to observe the shape of the Q branches and to resolve some of the hot-band Q branches. The values in cm<sup>-1</sup> of the estd. band origins are:  $\nu_1 = 774.4$ ,  $\nu_2 = 643.5$ ,  $\nu_5 = 524.0$ , and  $2\nu_6 = 693.8$ . By combining the value of  $\nu_2 + \nu_6 - \nu_5$  with the value for the  $\nu_2 + \nu_6$  IR band,  $\nu_6 = 347.8$  cm<sup>-1</sup>. Several anharmonicity consts. are also calcd.

C.A. 1978, 88, N94

*SF<sub>6</sub>*

оттиски 7353

1978

5 Д379. Структура спектра поглощения SF<sub>6</sub> в вакуумной УФ-области. Sasamoto M., Ishiguro E., Masuko H., Motioka Y., Nakamura M. Absorption structures of SF<sub>6</sub> in the VUV region. «J. Phys.», 1978, B11, № 21, 3655—3665 (англ.)

Сечение поглощения и квантовый выход photoионизации молекул SF<sub>6</sub> в газовой фазе измерены с использованием синхротронного излучения в области энергии до 40 эв. Выполнен электронно-колебательный анализ спектра поглощения. В области 550—670 Å обнаружены новые колебательные прогрессии, приписанные переходам в состоянии ридберговской серии  $4 t_{1u} - ns_1$  ( $n \geq 3$ ). Библ. 30.

В. С. Иванов

спектр  
полос.

Ф. 1949 кс

SF<sub>6</sub>

summer '73 53 1978

Cookup  
notches.

90: 159344v Absorption structures of sulfur hexafluoride in the VUV region. Sasanuma, M.; Ishiguro, E.; Masuko, H.; Morioka, Y.; Nakamura, M. (Dep. Appl. Phys., Osaka City Univ., Osaka, Japan). *J. Phys. B* 1978, 11(21), 3655-65 (Eng). Absorption and ionization efficiencies for SF<sub>6</sub> were measured in the vacuum-UV region. The gross absorption structures were analyzed by comparison of the exptl. results in photoelectron spectroscopy with the  $L_{2,3}$  absorption spectra of S. All the absorption structures obsd. in the vacuum-UV region can be consistently interpreted by the 2-well potential scheme. The vibrational progressions at 550-670 Å are assigned to the Rydberg series resulting from the transitions  $4t_{1u}-ns$   $a_{1g}$ .

CA 1978 90, N20

SF<sub>6</sub>спектр  
поглощек

10 Б135. Структура поглощения SF<sub>6</sub> в области вакуумного УФ. Sasapuma M., Ishiguro E., Masuko H., Morioka Y., Nakamura M. Absorption structures of SF<sub>6</sub> in the VPV region. «J. Phys.», 1978, B11, № 21, 3655—3665 (англ.)

Получены спектры поглощения SF<sub>6</sub> в вакуумной УФ-области и проведено их описание. Наблюданная колебательная структура связывается с ридберговскими переходами  $t_{1u}^1 - nsa_{1g}$  ( $n \geq 3$ ). Анализ основан на сравнении экспериментальных данных фотоэлектронной спектроскопии со спектрами поглощения серы L<sub>23</sub>. Энергии переходов, соответствующие структуре поглощения получены как разности между вакантными и валентными орбиталами, причем первые определяли из структуры L-поглощения серы, а вторые из фотоэлектронных спектров.

Л. В. Серебренников

22.1979, № 6

SF<sub>6</sub>

ISSN 0021-6979

1978

gennosr.  
cukits

Sell J.A.

Kuppermann et.

Chem. Phys., 1978,  
33, 379 - 383

1978

SF<sub>6</sub>Синтез  
исследов.

12 Б1246. Стабильный непрерывный волноводный лазер на CO<sub>2</sub> для спектроскопии насыщения высокого разрешения. Спектр полосы ν<sub>3</sub> молекулы SF<sub>6</sub>. Van Leberghe A., Avrillier S., Borde C. J., Santor C. D. A stable cw waveguide CO<sub>2</sub> laser for high-resolution saturation spectroscopy. Application to the ν<sub>3</sub> band of SF<sub>6</sub>. «10th Int. Quantum Electron. Conf., 1976.» Washington, D. C., 1978, 624 (англ.)

Сообщается о создании непрерывного лазера на CO<sub>2</sub> (активный объем — волновод квадратного сечения) с диапазоном перестройки ~600 МГц и спектральной шириной излучения по оценке ~10 кГц, который применен в спектрометре насыщения. Приведен спектр поглощения SF<sub>6</sub> около 949,4793 см<sup>-1</sup> (7 линий на расстоянии ~20 кГц, насыщение осуществлялось излучением другого лазера на CO<sub>2</sub>, работавшего в режиме свободной генерации на линии P(14)).

Г. К. Васильев

Х. 1979, N12

OMMUEK 8981

1998

SF<sub>6</sub>

XII-1998

(vi)

spagam.  
noem.

92: 101667c Analysis of the Raman spectrum of sulfur hexafluoride. Aboumajd, A.; Berger, H.; Saint Loup, R. (Lab. Spectronom. Mol., CNRS, 21000 Dijon, Fr.). *J. Mol. Spectrosc.*, 1979, 78(3), 486-92 (Eng). The Raman active fundamentals  $\nu_1(A_{1g})$ ,  $\nu_2(E_g)$ ,  $\nu_3(F_{2g})$ , and the overtone  $2\nu_6$  of SF<sub>6</sub> were investigated with a higher resoln, and the band origins were estd. to be:  $\nu_1 = 774.53 \text{ cm}^{-1}$ ,  $\nu_2 = 643.35 \text{ cm}^{-1}$ ,  $\nu_3 = 523.5 \text{ cm}^{-1}$ , and  $2\nu_6 = 693.8 \text{ cm}^{-1}$ . Raman and IR data were combined for estn. of several anharmonicity consts. The  $\nu_6$  fundamental frequency is calcd. as 347.0 cm<sup>-1</sup>. From the anal. of the  $\nu_2$  Raman band, the following rotational consts. of both the ground and upper states have been caled.:  $B_0 = 0.09111 \pm 0.00005 \text{ cm}^{-1}$ ;  $D_0 = (0.16 \pm 0.08) \times 10^7 \text{ cm}^{-1}$ ;  $B_2 = 0.09116 \pm 0.00005 \text{ cm}^{-1}$ ;  $D_2 = (0.18 \pm 0.04) \times 10^7 \text{ cm}^{-1}$ .

XII - 1998

C.A. 1980. 22 N 2

окт. 1987

1979

$SF_6$

11533. Анализ спектра комбинационного рассеяния  $SF_6$ . Abouajd A., Berger H., Saint-Loup R. Analysis of the Raman spectrum of  $SF_6$ . «J. Mol. Spectrosc.», 1979, 78, № 3, 486—492 (англ.)

Изучен колебательно-вращательный спектр КР газообразного  $SF_6$  (1) в области полос  $\nu_1(A_{1g})$ ,  $\nu_2(E_g)$ ,  $\nu_5(F_{2g})$  и  $2\nu_6$ . Спектр возбуждали линией 5145 Å Аг-лазера мощностью  $\sim 2$  Вт, регистрировали с разрешением  $\sim 0,3$  см $^{-1}$  при давлении 1,55 атм. По результатам анализа систем полос получены значения  $\nu_1 = 174,5$ ,  $\nu_2 = 643,35$ ,  $\nu_5 = 523,5$  и  $2\nu_6 = 693,8$  см $^{-1}$ , а также выделена горячая полоса  $3\nu_6 - \nu_6$  с частотой 693,29 см $^{-1}$ . Установлено, что частота запрещенного в спектре КР колебания  $\nu_6$  равна 347,0 см $^{-1}$ . Оценены (с учетом данных по спектрам ИК-поглощения) значения констант ангармоничности для некоторых колебаний. По результатам анализа колебательно-вращательной полосы  $\nu_2$  рассчитаны значения вращательных постоянных в основном ( $B_0$ ,  $D_0$ ) и возбужденном ( $B_2$ ,  $D_2$ )-состояниях.

А. В. Бобров

(2)  
(и, н.)

XII-1993

22.1980.VII

XII - 1998

СЧУ, 8987

1979

+SF<sub>6</sub>

XIII-1035

v<sub>i</sub>; м.н.

5 Д351. Анализ спектра комбинационного рассеяния SF<sub>6</sub>. Analysis of the Raman spectrum of SF<sub>6</sub>. Aboymajd A., Berger H., Saint-Loup R. «J. Mol. Spectrosc.», 1979, 78, № 3, 486—492 (англ.)

Исследован спектр комб. рас. газообразной SF<sub>6</sub> (I) при давл. 500 мм рт. ст. и возбуждении излучением одномодового аргонового лазера мощностью 2 вт. Спектральное разрешение прибора при длительной экспозиции (~60 ч) составляло 0,36 см<sup>-1</sup>. Проведен теоретич. расчет частот колебаний I. Частоты колебаний v<sub>1</sub>, v<sub>2</sub>, v<sub>5</sub> и 2v<sub>6</sub> I составляют 774,53; 643,35; 523,5 и 693,8 см<sup>-1</sup> соответственно. Определены константы ангармоничности колебаний I. Частота фундаментального колебания v<sub>6</sub> I равна 347,0 см<sup>-1</sup>. Выполнен анализ вращательной структуры O и S полос линий колебания v<sub>2</sub> I и определены вращательные постоянные основного и возбужденного состояний:  $B_0 = 0,09111 \pm 0,00005$  см<sup>-1</sup>;  $D_0 = (0,16 \pm 0,08) \cdot 10^{-7}$  см<sup>-1</sup>,  $B_2 = 0,09116 \pm 0,00005$  см<sup>-1</sup> и  $D_2 = (0,18 \pm 0,04) \cdot 10^{-7}$  см<sup>-1</sup>. Идентифицированы полосы «горячих» переходов в области линий фундаментальных колебаний и обертонной линии 2v<sub>6</sub> I.

Ф. 1980 N 5

XIII - 1998

SF<sub>6</sub>

(ommuc 8912) 1979

Arnold T. H., et al.

J. Mol. Spectrosc. 1979,  
48(2), 264-46.

coll. 1000'.  
Li; no. 2000.  
forer.

coll. 302 - 111

SF<sub>6</sub>

1949  
22 Б114. Электронографическое исследование возбужденных лазером молекул SF<sub>6</sub>. Arvedson M. M., Kohl D. A. An electron diffraction study of laser pumped SF<sub>6</sub>. «Chem. Phys. Lett.», 1979, 64, № 1, 119—121 (англ.)

Метод газовой электронографии использован для наблюдения эффектов лазерного возбуждения молекул SF<sub>6</sub> (I). Излучением лазера на CO<sub>2</sub> (10,6 мкм, 20 вт), сфокусированным в рассеивающий объем, избирательно возбуждались антисимм. вал. кол. I, что приводило к увеличению амплитуды колебания  $\delta(S-F)$ , соответствующему повышению колебательной температуры для этой амплитуды на 70 К. Одновременно наблюдалось некоторое возрастание амплитуд  $\delta(F-F)_{\text{дис}}$  и  $\delta(F-F)_{\text{транс}}$ . Исходя из разницы колебательных температур для амплитуд

$\delta(S-F)$  и  $\delta(F-F)_{\text{дис}}$  авторы делают вывод, что большинственное распределение поглощенной энергии не успевает установиться за 1 мксек.

Г. В. Гиричев

х. 1949, № 22

*SF<sub>6</sub>*

*1979*

91: 59400u An electron diffraction study of laser-pumped sulfur hexafluoride. Arvedson, M. M.; Kohl, D. A. (Dep. Chem., Univ. Texas, Austin, TX 78712 USA). *Chem. Phys. Lett.* 1979, 64(1), 119-21 (Eng). The change in the mean amplitudes of vibration of the interat. distances in gaseous SF<sub>6</sub> due to direct absorption of 0.1 MW/cm<sup>2</sup> cw CO<sub>2</sub> laser radiation was studied by electron diffraction. The relative rise in the vibrational amplitudes suggests that the distribution of absorbed energy is not thermal on a time scale of 1  $\mu$ s.

*снижается,  
с. 15 багг.*

*активность*

*исчезает*

C.A. 1979 21 N/2

1979

SF<sub>6</sub>

laser epilog

92: 119260z An electron diffraction study of laser excited  
sulfur hexafluoride. Arvedson, Marsha Ann Multer (Univ.  
Texas, Austin, TX USA). 1979. 87 pp. (Eng). Avail. Univ.  
Microfilms Int., Order No. 7928257. From Diss. Abstr. Int. B  
1979. 40(6). 2685

C.A. 1980. 92 n 14

SF<sub>6</sub>

8509

1 Б56. Вывод об ангармоничности колебаний перегретого SF<sub>6</sub> по электронографическим данным. Bartell L. S., Dunn S. K., Goates S. R. Inference of vibrational anharmonicity in hot SF<sub>6</sub>: An electron diffraction study. «J. Chem. Phys.», 1979, 70, № 10, 4585—4586 (англ.)

В электронограф. исследовании SF<sub>6</sub> с использованием CO<sub>2</sub>-лазера (Л) мощностью 40 Вт вследствие случайног нагрева сопла излучением Л получено несколько наборов данных, соотв-щих 300—1000°К. В каждом случае т-ру эксперимента определяли сопоставлением эксперим. амплитуд колебаний (АК) с рассчитанной методом силового поля зависимостью АК от т-ры. Изменения длин связей  $\langle\Delta r\rangle_{S-F}$ , рассчитанные в рамках модели ангармонич. модифицированного силового поля Юри-Бредли по схеме одного из авторов (Bartell L. S., «J. Chem. Phys.», 1979, 70, 4581), хорошо воспроизводят эксперим. данные и примерно вдвое больше рассчитанных по модели Морзе. Полученные оценки межъядерных расстояний таковы:  $r_g(S-F)=1,561$  и  $r_e(S-F)=1,555\text{ \AA}$ .

Г. В. Гиричев

Секр, 12.8.80

Однажды

ХХ-Кодж

2: 1980 № 1

оттиска 8509

1979

SF<sub>6</sub>

2 Д155. Проявление колебательной ангармоничности в горячем газе SF<sub>6</sub>: исследование методом дифракции электронов. Inference of vibrational anharmonicity in hot SF<sub>6</sub>. An electron diffraction study. Bartell L. S., Dunn S. K., Goates S. R. «J. Chem. Phys.», 1979, 70, № 10, 4585—4586 (англ.)

Исследована дифракция электронов на молекулах SF<sub>6</sub> при т-рах 298—1000° К (нагрев газа осуществлялся CO<sub>2</sub>-лазером с мощностью 40 вт). Определены значения длины связи S—F и средних амплитуд колебаний. Показано, что модельный потенциал, составленный из ф-ций Морзе, не воспроизводит эксперим. данные для средних амплитуд. Предложен модифицированный вариант силового поля Юри—Брэдли, приближенно учитывающий ангармоничность, который дает удовлетворительное согласие с экспериментом. М. Р. Алиев

Сост. пост.  
Чолегорук  
молекул  
(длина связи)

ХII-2024

Ф.1980.12

*SF<sub>6</sub>*

annually 8509

1979

91: 81131x Inference of vibrational anharmonicity in hot sulfur hexafluoride: an electron diffraction study. Bartell, L. S.; Doun, S. K.; Goates, S. R. (Dep. Chem., Univ. Michigan, Ann Arbor, MI 48109 USA). *J. Chem. Phys.* 1979, 70(10), 4585-6 (Eng). In an investigation of gaseous SF<sub>6</sub> at temps. ranging from 298 to almost 1000 K, the obsd. thermal expansion of the mean bond length as a function of the mean-square amplitude of vibration was much too large to be accounted for by the commonly invoked model of Morse anharmonicity. Exptl. results can be reproduced quant. with the aid of existing potential consts. fed into an anharmonic, modified Urey-Bradley force field proposed previously.

*re, rot. note*

XII-2024

C.H. 19790911/10

1979

$\nu_3$   
 $SF_6$

( $\nu_3$ )

192: 171776m High-resolution saturation spectroscopy with carbon dioxide lasers. Application to the  $\nu_3$  bands of sulfur(VI) fluoride and osmium(VIII) oxide. Borde, C. J.; Ouhayoun, M.; Van Lerberghe, A.; Salomon, C.; Avrillier, S.; Cantrell, C. D.; Borde, J. (Paris-13 Univ., Paris, Fr.). Report 1979, LA-UR-79-1913, CONF-790690-2, 14 pp. (Eng). Avail. NTIS. From Energy Res. Abstr. 1979, 4(22), Abstr. No. 53773. Topics covered include: the frequency-controlled satn. spectrometer; application to the rotational fine structure of the  $\nu_3$  band of  $^{32}SF_6$  and detn. of a new set of spectroscopic parameters; magnetic hyperfine structure of the  $SF_6$  lines, evidence for a spin-vibration interaction; direct optical observation of the ground state octahedral splittings of  $SF_6$  and violation of the  $\Delta C = 0$  selection rule; and fine and hyperfine structure studies in the  $\nu_3$  band of  $OsO_4$ .

CA 1980 92 N20

$SF_6$  [Luminescence 8421] . 1979

Brock E. B., et al.

$I_{ij} E_i$ ,  
Cinfuk.  
 $\Delta$  herber

J. Mol. Spectrosc.,  
1979, 76, 301-21.

1979

SF<sub>6</sub>

4 Д377. Наблюдение горячего колебательного перехода в спектре SF<sub>6</sub> в криосистеме при 140° К. Булатин М. О., Бурцев А. Л., Коломийцова Т. Д., Щепкин Д. Н. «Письма в ЖЭТФ», 1979, 29, № 1, 47—50

Впервые обнаружено поглощение с возбужденного колебательного уровня  $v_3=1$  SF<sub>6</sub> в жидким Кг. Оценена заселенность этого уровня при оптич. накачке и показано, что неравновесное поглощение обусловлено переходами в подуровни ангармонич. структуры состояния  $v_3=2$ .

Резюме

спектр

Ф. 1979, № 4

1979



1 Д380. ИК-поглощение молекулы  $SF_6$ , возбуждаемой до порога диссоциации. IR absorption of  $SF_6$  excited up to the dissociation threshold. Fuss W., Hartmann J. «J. Chem. Phys.», 1979, 70, № 12, 5468—5476 (англ.)

спектр  
излучения,

С использованием импульсного  $CO_2$ -лазера малой мощности в качестве источника пробного излучения зарегистрированы спектры поглощения в области 920—985  $cm^{-1}$  молекулы  $SF_6$ , возбуждаемой до энергий 10 000  $cm^{-1}$  (бесстолкновительное возбуждение) и до 20 000  $cm^{-1}$  (с релаксацией столкновениями) излучением мощного импульсного  $CO_2$ -лазера (линия  $P$  (20) 944,2  $cm^{-1}$ , 20 дж, 150 нсек и 3 мксек). Не обнаружено ни когер. эффектов, ни бесстолкновительной релаксации в противоположность ранее полученным данным при использовании пробного излучения непрерывно генерирующего  $CO_2$ -лазера. Измерены и сопоставлены спектры поглощения до и после возбуждения импульсом накачки. Установлено, что населенность вращательных

ср. 1980. VI

состояний основного колебательного уровня уменьшается значительно больше по сравнению с ожидаемой. Предполагается, что это связано с возникновением прямого двухфотонного возбуждения. Показано, что провалы во многих максимумах возникают частично в результате участия в поглощении высоких возбужденных состояний, а структура спектра вызвана столкновительной релаксацией и указывает на значительную неравновесную населенность вращательных состояний.

Г. И. К.

Библ. 27.

и —

*SF<sub>6</sub>*

1979

*Д. М. Л.*

11 Д431. ИК-поглощение высоковозбужденных молекул SF<sub>6</sub>. IR absorption of highly excitd SF<sub>6</sub>. Fuß W., Hartmann J. «Laser-Induced Process. Mol.: Phys. and Chem. Proc. Eur. Phys. Soc. Div. Conf., Edinburgh, 1978». Berlin e. a., 1979, 128—130 (англ.)

В области 920—990 см<sup>-1</sup> исследованы методом двойного ИК-резонанса спектры поглощения молекул SF<sub>6</sub>, возбужденных на колебательные уровни с энергией <20 000 см<sup>-1</sup> импульсным излучением CO<sub>2</sub>-лазера (944,2 см<sup>-1</sup>). В качестве зондирующего излучения использовался низкоэнергетич. «хвост» импульса излучения другого CO<sub>2</sub>-лазера, перестраиваемого по линиям. Найдено, что с увеличением числа поглощенных молекулами квантов колебательная полоса ν<sub>3</sub> сдвигается в длинноволни. сторону, в то время как сдвиг полосы ν<sub>2</sub>+ν<sub>6</sub> примерно в 20 раз меньше. С ростом плотности энергии излучения возрастает интенсивность прямых

*φ 1981, 18, III.*

двуихквантовых ( $\Delta v = 2$ ) перёходов, предположительно вследствие большей плотности вращательных состояний. Рассмотрены другие характерные черты полученных спектров поглощения молекул  $SF_6$  с учетом известных спектроскопич. характеристик последних и особенностей процесса многофотонного возбуждения ИК-лазерным излучением.

С. Литке



1979

*SF<sub>6</sub>**N<sub>2</sub>O**NO*

(γ)

↗

(t)

φ. 1981 N 8

8 Д636. Измерение потенциалов ионизации молекул методом (*e*, 2*e*)-спектроскопии. Measure of ionization potentials of molecules by (*e*, 2*e*) spectroscopy. Giagdini-Guidoni A., Fantoni R., Camilloni R., Stefani G. «Com. naz. energ. nucl. Cent. Frascati. [Pap.]», 1979, № 32, 16 pp., ill. (англ.)

Методом (*e*, 2*e*)-спектроскопии исследованы молекулы SF<sub>6</sub> (I), N<sub>2</sub>O (II) и NO (III). Определены вертикальные потенциалы ионизации I—III (в электронвольтах) и положения сателлитных пиков (значения в скобках): I — 27,0; 39,3; 41,1; 43,9; (48,9); (54,7); II — 13,2; 16,4; 18,3; 20,2; (23,1); (27,8); 35,6; 39,2; (43,0); (49,2); III — 9,0; 14,5; 16,7; 18,7; 21,3; 24,0; (28,6); (32,5); (36,4); 40,4; 43,4; (48,5). Все электронные состояния идентифицированы при помощи расчетных литературных данных, сравнения с фотоэлектронными спектрами I—III и анализа угловых зависимостей вылета выбитого электрона. Библ. 15.

Ю. В. Чижов

SF<sub>6</sub>

1979

Harter W.G., Patterson Ch.W.

Lect. Notes Chem., 1981, 22:

Unitary Group Eval. Elect-

krusen. Non. Energy Matrix Elem.:

Сборник. Unitary Group Workshop,

1979, 306 - 331.

(c.u. SiF<sub>4</sub>; III)

SF<sub>6</sub>

BCl<sub>3</sub>

Summer 8958

1979

92: 1017v2t High-resolution infrared matrix isolation spectroscopy of sulfur hexafluoride and boron chloride. Jones, Llewellyn H.; Swanson, Basil L.; Ekberg, S. E. (Los Alamos Sci. Lab., Univ. California, Los Alamos, NM 87545 USA). *Chem. Phys. Lett.* 1979, 68(2-3), 499-500 (Eng). This note reports IR spectra of SF<sub>6</sub> and BCl<sub>3</sub> in Ar. matrices at 10 K and 0.01 cm<sup>-1</sup> resoln. At this resoln. one observes structure not obsd. at the commonly used resoln. of 0.5 cm<sup>-1</sup> or poorer. Analyses of such spectra will yield important information on the structures and dynamics of low temp. matrices.

(Ji)

⑦1

④

H. R. Casassa  
B. Casassa



C.A. 1980.03 v12

оттиск 8958

1979

SF<sub>6</sub>

5 Д375. ИК-спектроскопия высокого разрешения SF<sub>6</sub> и BCl<sub>3</sub>, изолированных в матрице. High resolution infrared matrix isolation spectroscopy of SF<sub>6</sub> and BCl<sub>3</sub>. Jones Llewellyn H., Swanson Basil I., Ekberg S. E. «Chem. Phys. Lett.», 1979, 68, № 2—3, 499—500 (англ.)

С помощью фурье-спектрометра с разрешением 0,04 см<sup>-1</sup> получены ИК-спектры поглощения SF<sub>6</sub> в области 934—942 см<sup>-1</sup> и BCl<sub>3</sub> — в области 939—948 см<sup>-1</sup>. Молекулы исследовались в аргоновой матрице при т-ре 10° К; для лучшего разрешения спектры получены без аподизации. Спектр SF<sub>6</sub> состоит из ряда узких максимумов, ширина некоторых из них приближается к инструментальной ширине прибора. После получасового

отжига при т-ре 30° К картина спектра меняется, некоторые полосы исчезают. Дальнейший отжиг на характер спектра не влияет. Спектр BCl<sub>3</sub> состоит из четырех хорошо разрешенных максимумов с шириной ~0,1 см<sup>-1</sup>. Обсуждается возможное положение исследованных молекул в решетке аргона и связанные с этим особенности их спектров.

Н. Филиппов

д.н. в.

(+)

ф. 1980  
N 5

XIII-2033

1979

SF<sub>6</sub>

10 Б236. Инфракрасный двойной резонанс SF<sub>6</sub> с [использованием] перестраиваемого диодного лазера. Jensen C. C., Anderson T. G., Reiser C., Steinfield J. I. Infrared double resonance of SF<sub>6</sub> with a tunable diode laser. «J. Chem. Phys.», 1979, 71, № 9, 3648—3657 (англ.)

11. К. Смирнов

М

Исследованы спектры ИК двойного резонанса (ИКДР) в области полосы газ. SF<sub>6</sub> (I) (давл. 0,08 мм) при добавлении газ. Ar и He (1 и 10 мм) и их изменение со временем (100 нсек — 120 мксек). Сигналы ИКДР получены с использованием импульсного CO<sub>2</sub> лазера, в кач-ве источника накачки, и зондирующего перестраиваемого диодного лазера (ПДЛ) на PbSnSe. Описана аппаратура и методика эксперимента. Наблюдали уширение линии накачиваемого перехода при изменении пиковой интенсивности лазера от 0,8 до 11,2 квт/см<sup>2</sup>. Получено значение дипольного момента перехода в двухуровневой системе ИКДР  $\mu_{12} \approx 0,3 \cdot 10^{-18}$  ед. зар. СГСЭ·см. Наблюдали также нерезонансную накачку компонент любой симметрии I — мульти-

Х1980, N10

плета, взаимодействующих с излучением лазера накачки. Это связано со смешиванием почти вырожденных уровней тонкой структуры в колебательном основном состоянии молекулы I, к-рое индуцируется полем возбуждающего излучения. По затуханию сигналов ИКДР измерены времена релаксации для двухуровневой —  $r \cdot \tau = (23 \pm 3)$ , и трехуровневой —  $r \cdot \tau = (43 \pm 11)$  нсек·мм, система ИКДР I, соотв-щих эффективному поперечному сечению  $170 \text{ \AA}^2$ . Изучены переходы возбужденного состояния молекулы I с  $I=32$ . Рассмотрены перспективы использования ПДЛ для оптим. зондирования спектров насыщ. поглощения и эффективность применения моделей многофотонного ИК-возбуждения для объяснения начальных актов поглощения в процессах возбуждаемой ИК-многофотонной диссоциации молекул. Н. Н. Морозов

сдпо  
др

*SF<sub>6</sub>*

*и. п. д.*

*XIII-1038; отмеч.*

2Д401. Анализ спектра SF<sub>6</sub> в области полосы ν<sub>4</sub> 625 см<sup>-1</sup>, полученного с помощью фурье-спектрометра и диодного лазера. Analysis of the ν<sub>4</sub> (615 cm<sup>-1</sup>) region of the Fourier transform and diode laser spectra of SF<sub>6</sub>. Kim K. C., Person W. B., Seitz D., Krohn B. J. «J. Mol. Spectrosc.», 1979, 76, № 1-3, 322—340 (англ.)

Получены спектры ИК-поглощения газообразной SF<sub>6</sub> в области 590—640 см<sup>-1</sup> с помощью фурье-спектрометра с разрешением 0,04 см<sup>-1</sup> в слое 20 см при давл. 4 мм рт. ст. Q-ветвь и ряд линий P- и R-ветвей изучены с помощью диодного лазера с разрешением 10<sup>-4</sup> см<sup>-1</sup> в оптич. слоях 200—400 м при давл. 1÷5·10<sup>-3</sup> мм рт. ст. Исследована структура линий с высокими вращательными квантовыми числами J вплоть до P(150) и R(120). Наблюденные линии отнесены к полосе ν<sub>4</sub> молекул S<sup>32</sup>F<sub>6</sub> и S<sup>34</sup>F<sub>6</sub> и горячим переходам с уровня ν<sub>6</sub>=1. Анализ полного спектра выполнен для ν<sub>4</sub> S<sup>32</sup>F<sub>6</sub> с описанием измеренных частот полиномом второй степени. Из констант полинома рассчитаны колебательная частота и константы кориолисова взаимодействия ζ<sub>4</sub>. По тонкой структуре линий, расщепленных октаэдрич. взаимодействиями, определены тензорные коэф. гамильтонiana. Библ. 30.

Э. М. Казакова

*Ф 1582.12*

Emmenga 8420

1979

SF<sub>6</sub>

XII-1098

Jy

91: 46787u Analysis of the  $\nu_4$  ( $615 \text{ cm}^{-1}$ ) region of the Fourier transform and diode laser spectra of sulfur hexafluoride. Kim, K. C.; Person, W. B.; Seitz, D.; Krohn, B. J. (Los Alamos Sci. Lab., Univ. California, Los Alamos, NM 87545 USA). *J. Mol. Spectrosc.* 1979, 76, 322-40. (Eng). A detailed anal. of the  $\nu_4$  fundamental band in SF<sub>6</sub> is presented. Both from the intermediate resoln. ( $0.04 \text{ cm}^{-1}$ ) Fourier transform-IR and high resoln. ( $\sim 1 \times 10^{-4} \text{ cm}^{-1}$ ) diode laser measurements the frequencies of the rotational transitions as well as the fine splitting parameters of the individual rotational manifolds were detd. Well-resolved rotational sublevels of several extremely high angular momentum states ( $J > 100$ ) were recorded using a km optical path diode laser spectrometer, and the obsd. pattern of Coriolis substructures is in good agreement with the theory.

C.A.1979.9.16

*SF<sub>6</sub>*

XIII-2028

Фундаментальная

Спектр

2 Б289. Анализ спектральной области  $\nu_4$  (615 см<sup>-1</sup>) с помощью фурье-спектроскопии и диодной лазерной спектроскопии. *Kim K. C.*, Person W. B., Seitz D., Ohn B. J. Analysis in the  $\nu_4$  (615 cm<sup>-1</sup>) region of the Fourier transform and diode laser spectra of SF<sub>6</sub>. «J. Mol. Spectrosc.», 1975, 53, № 1—3; 322—340. (англ.)

При помощи фурье-спектрометра с разрешением 0,4 см<sup>-1</sup> и диодного лазера с разрешением около 0,0001 см<sup>-1</sup> исследована фундаментальная полоса  $\nu_4$  SF<sub>6</sub> в области частот около 615 см<sup>-1</sup>. Выполнена идентификация ТС спектров. Основная часть переходов отнесена к фундаментальной полосе  $\nu_4$  <sup>32</sup>SF<sub>6</sub> при 615,0247(4) см<sup>-1</sup>. Пик при 614,92 см<sup>-1</sup> ввиду его высокой интенсивности отнесен к Q-ветви «горячей» полосы  $\nu_4 + \nu_6 - \nu_6$ . Пик при 612,223 см<sup>-1</sup> в связи с оценкой изотопич. смещения отнесен к Q-ветви фундаментальной полосы  $\nu_4$  <sup>34</sup>SF<sub>6</sub>. Частоты линий хорошо описываются полиномом четвертой степени, для к-рого определены коэф. разложения. Из измерений спектра с помощью диодного лазера определены параметры тензорного расщепления. Измеренные частоты переходов со значениями  $J > 100$  хорошо согласуются с расчетными величинами.

С. Н. Мурзин

2.1980.№

SF<sub>6</sub>

Karlov N. V., et al.

1979

казеп-  
бөйнег.  
гүччэс.

Izv. Akad. Nauk SSSR,  
Ser. Fiz., 1979, 43(2), 366-78.

● (cell SF<sub>4</sub>; III)

1979

SF<sub>6</sub>

93: 58809g Determination of the molecular structure of dimolybdenum tetraacetate and investigation of the temperature dependence of the molecular structure of sulfur hexafluoride by gas phase electron diffraction. Kelley, Michael Hollis (Univ. Texas, Austin, TX USA). 1979. 97 pp. (Eng). Avail. Univ. Microfilms Int., Order No. 8009880. From *Diss. Abstr. Int. B* 1980; 40(11), 5316-17.

Molecular  
Complexes

CA 1980 93 n6

документ 8484

19/5

$F_5S-F$

З Б124. Верхние и нижние границы энергии связи  $F_5S-F$ . Kiang T., Estler R. C., Zare R. N. Upper and lower bounds on the  $F_5S-F$  bond energy. «J. Chem. Phys.», 1979, 70, № 12, 5925—5926 (англ.)

Изучена хемилюминесценция при р-ции  $SF_6$  с метастабильными атомами кальция и стронция. Измерена колебательная структура спектров переходов  $C^2\Pi \rightarrow X^2\Sigma^+ (SrF)$  и  $B^2\Sigma^+ \rightarrow X^2\Sigma^+ (CaF)$ . С использованием найденных авторами ранее («J. Chem. Phys.», 1978, 68, 3360) энергий связи  $D_0^0(M-F)$  ( $M=Ca, Sr$ ) получены оценки верхней и нижней границы энергии связи  $D_0^0 (F_5S-F)$ . Несмотря на сравнительно большую погрешность найденного значения  $D_0^0(F_5S-F)$  ( $89,9 \pm 3,4$  ккал/моль), полученный результат позволяет исключить более низкие значения  $D_0^0(F_5S-F)$ , использовавшиеся ранее при исследованиях многофотонной диссоциации  $SF_6$ .

М. Гофман

До, когда  
смущает.  
Макар

2.1980.№

отмеч 8484

1979

$F_5S-F$

2 Д758. Верхняя и нижняя границы энергии связи  $F_5S-F$ . Upper and lower bounds on the  $F_5S-F$  bond energy. Kiang T., Estler R. C., Zare R. N. «J. Chem. Phys.», 1979, 70, № 12, 5925—5926 (англ.)

В областях 363—370 и 527—539 нм получены спектры хемилюминесценции, сопровождающей газофазные реакции молекул  $SF_6$  с метастабильными атомами  $Sr(^3P)$  и  $Ca(^3P)$ , соответственно. Обнаруженные полосы отнесены к системам переходов  $SrF(C^2\Pi \rightarrow X^2\Sigma^+)$  и  $CaF(B^2\Sigma^+ \rightarrow X^2\Sigma^+)$ . Решение термохимич. ур-ния с использованием литер. значений молекулярных констант позволило установить границы, между которыми заключена величина энергии разрыва связи  $F_5S-F$  в молекуле  $SF_6$  (в ккал/моль):  $89,6 \pm 2 < D_0^0 < 90,1 \pm 3,2$ .

М. Т.

Бибп. 18

$SF_6$ :

Ф.1080.12

SF<sub>6</sub>

1979

22 Б24. Состояния рассеяния и фазовые сдвиги молекул и кластеров в методе многократного рассеяния. Kovtun A. P., Kolesnikov V. V., Sachenko V. P. Scattering states and phase shifts of molecules and clusters in multiple scattering approach. «Proc. 9 Ann. Int. Symp. Electron. Struct. Metals and Alloys, Gaussig, Apr. 2—6, 1979». Dresden, 1979, 107—114 (англ.)

расчеты  
сечений  
рассеяния

Обсуждены эффективные схемы вычисления волновых ф-ций и фазовых сдвигов для состояний непрерывного спектра молекул и кластеров в рамках Ха-метода рассеянных волн. Для молекулы SF<sub>6</sub> проведены расчеты зависимости фазовых сдвигов от энергии. Эти зависимости чувствительны к кол-ву гармоник, учитываемых вне сферы Ватсона. Соответствующие сечения упругого рассеяния электронов менее чувствительны к кол-ву учитываемых гармоник. Большие значения сечений в области энергий 0,0—0,1 ат. ед. объяснены наличием незаполненных связанных состояний 6a<sub>1g</sub> и 6t<sub>1u</sub>. Проведено сопоставление резонансов в сечениях рассеяния и фотопоглощения.

М. Гофман

X. 1982, 19, N22.

$SF_6$

Lomnicka 8248

1979

Neglegeb E.C. (Medvedev et al)

Chemical Phys., 1979, 41,  
103 - 111

Collisionless dissociation of  
 $SF_6$  in an intense i.r.  
field.

*SF<sub>6</sub>*

*1979*

12 Д488. Спектроскопия двойного резонанса SF<sub>6</sub> с высоким разрешением. High-resolution double-resonance spectroscopy of SF<sub>6</sub>. Moulton P. F., Moogadian A. «Laser-Induced Process. Mol.: Phys. and Chem. Proc. Eur. Phys. Soc. Div. Conf., Edinburgh, 1978». Berlin e. a., 1979, 37—42 (англ.)

*М.Н.*

Методом двойного лазерного резонанса с применением импульсного лазера CO<sub>2</sub> и диодного лазера с перестраиваемой частотой исследован спектр газообразного SF<sub>6</sub> при комнатной т-ре и давл. 0,05—0,3 мм рт. ст. Длительность импульса лазера CO<sub>2</sub> составляла около 150 нсек, при этом вероятность столкновительных переходов в исследуемом газе за время импульса была пренебрежимо мала. Приведена схема эксперим. установки, обсуждены возможные механизмы, приводящие к наблюдаемым резонансам в SF<sub>6</sub>.

*90. 1981, 18, N 12.*

Установлено, что ряд резонансов связан с переходом  $v_3 = 2 \leftarrow 1$ , определены значения вращательного квантового числа  $J$  для нижнего уровня в каждом из этих переходов. Отмечено, что детальная информация о структуре колебательных уровней колебания  $v_3$   $SF_6$  необходима для построения моделей бесстолкновительной многофотонной диссоциации этой молекулы. Н. Ф.



SF<sub>6</sub>

1979

195: 178523x High-resolution double-resonance spectroscopy of sulfur hexafluoride. Moulton, P. F.; Mooradian, A. (Lincoln Lab., Massachusetts Inst. Technol., Lexington, MA 02173 USA). Springer Ser. Chem. Phys. 1979, 6(Laser-Induced Processes Mol.), 37-42 (Eng). The collisionless multiphoton dissociation (CMPD) of CO<sub>2</sub> laser-irradiated SF<sub>6</sub> was studied by means of double-resonance measurements by using a Q-switched CO<sub>2</sub> laser to sat. a variety of ν<sub>3</sub>-mode transitions in a small vol. of SF<sub>6</sub> gas at low pressure, and probing that vol. using the output of a tunable Pb salt diode laser. Four distinct processes which appear to account for all of the obsd. double-resonance signals were identified. The measured results were used to explain the CMPD of SF<sub>6</sub> in weak laser beam intensity as low as 50 kW/cm<sup>2</sup>.

RESEARCH  
CERIMROCK  
RECORD  
PAPERS.

C.A. 1981, 95, n20.

*SF<sub>6</sub>*

1979  
21 Б1204. Спектроскопия двойного резонанса SF<sub>6</sub> с высоким разрешением. Moulton P. F., Moogadian A. High-resolution double-resonance spectroscopy of SF<sub>6</sub>. «Laser—Induced Process. Mol. Phys. and Chem. Proc. Eur. Phys. Soc. Div. Conf., Edinburgh, 1978». Berlin e. a., 1979, 37—42 (англ.)

(13)

Исследована спектроскопия низких колебательных переходов моды  $v_3$  SF<sub>6</sub> в бесстолкновительных условиях (давл. 0,05—0,3 мм). Для возбуждения использовали перестраиваемый лазер на CO<sub>2</sub> с непрерывной накачкой и электрооптич. модуляцией добротности, генерировавший 150-нс импульсы с пиковой мощностью 1 кВт/см<sup>2</sup> и синхронизированный с механически прерываемым пучком зондирующего полупроводникового лазера (Pb<sub>0,78</sub>Sn<sub>0,22</sub>Te, <5 мг/см<sup>2</sup>). Идентифицированы 4 перехода с участием уровнями 0, 1, 2; получен спектр перехода  $v$  1→2. Найдено, что для использованной линии CO<sub>2</sub> лазера  $P$  16 ангармонич. сдвиг практически полностью компенсируется за счет вращательных подуровней, частота двойного резонанса отличается от частоты излучения лишь на 0,07 см<sup>-1</sup>.

Г. Шмерлинг

X·21·1981

1979

*SF<sub>6</sub>*

10 в 135. Ограниченнaya допплеровским уширением спектроскопия полосы  $\bar{\nu}_3$  SF<sub>6</sub>. Pine A. S. Doppler-limited spectroscopy of the  $\bar{\nu}_3$  band of SF<sub>6</sub>. «Laser Specrosc. 4. Proc. 4th Int. Conf., Rollen—Egern, 1979». Berlin e. a., 1979, 628 (англ.)

С разрешением, ограниченным допплеровским уширением, измерена наиболее интенсивная часть полосы  $\bar{\nu}_3$  SF<sub>6</sub> при  $T=160$  и 290 K. использовался перестраиваемый лазерный спектрометр разностной частоты. В структуре полосы идентифицированы P-, Q- и R-ветви подуровня F<sub>1u</sub> (по характеру в основном l=1) совокупности колебательных состояний  $\bar{\nu}_3$ . Получены предв. значения эффективных вращательных постоянных для этой полосы. в связи с интерпретацией спектров низкого разрешения и изотопически селективной фотодиссоциации SF<sub>6</sub> под действием CO<sub>2</sub>-лазера обсуждена роль горячих полос и др. ангармонич. подуровней.

B. M. Kovba

*интенсивн.  
насост*

*323*

*ж. 1981. № 10.*

1979

SF<sub>6</sub>

6 Д438. Спектроскопия полосы  $3\nu_3$  SF<sub>6</sub> с разрешением,

ограниченным эффектом Допплера. Doppler-limited spectroscopy of the  $3\nu_3$  band of SF<sub>6</sub>. Pine A. S. «Laser Spectrosc. 4. Proc. 4th Int. Conf., Rottach-Egern, 1979». Berlin e. a., 1979, 628 (англ.)

С помощью спектрометра, снабженного лазером с перестраиваемой длиной волны, зарегистрирована полоса  $3\nu_3$  в ИК-спектре поглощения газа SF<sub>6</sub>. Измерения велись при т-рах 160 и 295° К с разрешением, ограниченным эффектом Допплера. Идентифицирован ряд вращательных линий ветвей P, Q и R указанной полосы, связанных с колебательным подуровнем  $F_{1u}$ . Определены значения эффективных вращательных постоянных, характеризующих данную полосу.

Ф. 1981. N6

*SF<sub>6</sub>*

XII-2030 1979

4 Б23. Исследование применимости метода ССП-  
 $X_{\alpha}$ -РВ к расчету потенциалов ионизации остатков  
уровней молекул SF<sub>6</sub>, H<sub>2</sub>S и SO<sub>2</sub>. Присанде-  
ев С. А., Ковтун А. П., Ведринский Р. В.  
«Ж. структур. химии», 1979, 20, № 5, 917—918

Методом ССП- $X_{\alpha}$  рассеянных волн в приближени-  
ях, касающихся атомных сфер и переходного состоя-  
ния, рассчитаны потенциалы ионизации (ПИ) остав-  
ных 1s- и 2p- уровней серы в молекулах SF<sub>6</sub>, H<sub>2</sub>S и

(y)

(f.2)



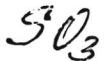
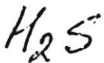
2:1980.14

$\text{SO}_2$ . Полученные значения оставных ПИ на 4—8 эВ превышают эксперим. значения. В 1-м порядке теории возмущений с оператором возмущения, соотв-щим разностям потенциалов, рассчитанных  $X_\alpha$ -методом и методом Хартри — Фока для соотв-щих оставных оболочек, вычислены поправки к ПИ. Исправленные за счет более точного учета обменных эффектов ПИ хорошо согласуются с данными полностью неэмпирич. расчетов и с экспериментом. Показано, что учет высших порядков теории возмущений не приводит к дальнейшему улучшению результатов. Хим. сдвиги оставных 1 $b$ - и 2 $p$ -уровней, вычисленные в приближе-нии переходного состояния, а также по теории возмущений, мало отличаются по величине и согласуются (особенно для  $\text{SO}_2$ ) с эксперим. данными.

И. А. Тополь

XII-2030

1979



(y)

(+)

2 Д128. Исследование применимости метода ССП—  
 $X_{\alpha}$ —РВ к расчету потенциалов ионизации основных  
уровней молекул SF<sub>6</sub>, H<sub>2</sub>S и SO<sub>3</sub>. Просанде-  
ев С. А., Ковтун А. П., Ведринский Р. В. «Ж.  
структур. химии», 1979, 20, № 5, 917—918

Исследуются погрешности метода ССП— $X_{\alpha}$ —РВ при  
определении энергий ионизации основных уровней мо-  
лекул SF<sub>6</sub>, H<sub>2</sub>S и SO<sub>2</sub>.

Ф.16780.12

1979

*SF<sub>6</sub>*

6 Д200. Фотоионизация SF<sub>6</sub> в УФ-области. Photoionisation of SF<sub>6</sub> in the XUV region. Sasanuma M., Ishiguro E., Hayashi T., Masuko H., Miyake Y., Nakajima T., Nakamura M. «J. Phys.», 1979, B12, № 24, 4057—4063 (англ.)

*фото-ионизац.*

С помощью квадрупольного масс-спектрометра изучены спектры фотоионизации SF<sub>6</sub> и продуктов диссоциативной ионизации этой молекулы. В качестве источника возбуждения использовалось синхротронное излучение электронов с энергией 1,3 ГэВ. Спектры изучались в области 30—82 нм с разрешением монохроматора 0,2 нм и разрешением масс-спектрометра  $M/\Delta M = 350$ . Приводится схема установки. Потенциалы появления (ПП) ионов при фотонном ударе, полученные в данной работе (в эВ): SF<sub>5</sub><sup>+</sup>—15,3±0,2, SF<sub>4</sub><sup>+</sup>—19,1±0,5, SF<sub>3</sub><sup>+</sup>—19,4±0,5, сравниваются с ПП при электронном ударе. Проведено отнесение линий в полном фотоэлектронном спектре определенным МО.

Е. П. Смирнов:

(43) (A.P.) *фотоион. спектр.*

9 1980 N6

SF<sub>6</sub>

Commick 8923

1979

Siva Sarma K.V. et al

Crit. noot.

Indian J. Pure and  
Appl. Phys., 1979, 17,  
N2, 80-83



Crit N<sub>2</sub> i  $\frac{1}{3}$

SF<sub>6</sub>

1979

Siegbahn Hans.

Excited States Quantum

Orbital-Relaxation  
Proc. NATO Adv. Study  
Inst., Kos, 1978, Dordrecht e.a.,

1979, 243-95.

av. He S-II

*SF<sub>6</sub>*

Мюнхен 8.2.30 1979

9 Д225. SF<sub>6</sub>: неэмпирические расчеты в большом базисе и отнесение фотоэлектронного спектра. Vo P Niessen W., Kraemer W. P., Diercksen G. H. F. SF<sub>6</sub>: large scale ab initio calculations and the assignment of the photoelectron spectrum. «Chem. Phys. Lett.», 1979, 63, № 1, 65—68 (англ.)

Рассматриваются интерпретации фотоэлектронного спектра (ФЭС) SF<sub>6</sub>, данные различными авторами и противоречащие друг другу. Для устранения противоречий предприняты расчеты молекулы SF<sub>6</sub> неэмпирическим методом МО ЛКАО (по программе MUNICH-04) в очень широком базисе декартовых гауссовых орбиталей с большой долей ф-ций поляризационного типа. Базис содержал 241 неконтрактированную ф-цию, которые были сжаты до 136 ф-ций (58 из них — поляризационные). Ф-ла базиса: (12s9p2d1f/6s4p2d1f) для атома S и (9s5p1d/4s2p1d) для атомов F. В процессе расчета обрабатывались  $418.2 \cdot 10^6$  двухэлектронных интегралов. Обсуждается организация вычислительного процесса.

Ф.1979.19

Для сопоставления с полосами в ФЭС к орбитальным энергиям прибавлялись поправки к теореме Купманса, рассчитанные авторами ранее с менее точными МО. Установлено следующее отнесение полос (по мере увеличения потенциала ионизации):  $1t_{1g}$ ,  $5t_{1u} + 1t_{2u}$ ,  $3e_g$ ,  $1t_{2g}$ ,  $4t_{1u}$  и  $5a_{2g}$ . Настоящие расчеты не смогли объяснить наблюдаемые резонансы в области третьей полосы, приписываемые предположительно *g*-типу. Т. обр., проблема полной интерпретации ФЭС  $SF_6$  остается открытой. Библ. 19.

Е. П. Смирнов

*SF<sub>6</sub>*

OMNIBUS 8230 1979

91: 46539q Sulfur hexafluoride: large-scale ab initio calculations and the assignment of the photoelectron spectrum. Von Niessen, W.; Kraemer, W. P.; Diercksen, G. H. F. (Inst. Phys. Chem., Tech. Univ. Braunschweig, D-33 Braunschweig, Fed. Rep. Ger.). *Chem. Phys. Lett.* 1979, 63(1), 65-8 (ng). Calcns. with a large basis set including many polarization functions are reported for SF<sub>6</sub>. The feasibility of such calcns. is discussed. By adding Koopmans' corrections as calcd. previously to the more accurate values of the orbital energies obtained here, the assignment problem of the valence photoelectron spectrum is reconsidered. The values of the ionization potentials are improved compared to the previous work, but no change of ordering occurs. The disagreement in the assignment with recent work of T. Gustafsson, who measured partial photoionization cross sections of SF<sub>6</sub>, thus remains and remains unexplained.

*rb. eel.  
paeket*

*PA.1949 Q,N6*

*SF<sub>6</sub>*

22 Б24. Неэмпирический расчет в большом базисе и интерпретация фотоэлектронного спектра молекулы SF<sub>6</sub>. Niessen W. Von, Kraemer W. P., Diercksen G. H. F. SF<sub>6</sub>: large scale ab initio calculations and the assignment of the photoelectron spectrum. «Chem. Phys. Lett.», 1979, 63, № 1, 65—68 (англ.)

Выполнен расчет электронного строения молекулы SF<sub>6</sub> методом МО ЛКАО ССП в расширенном базисе сгруппированных гауссовых ф-ций  $12s9p2d1f \rightarrow 6s4p2d1f$  на атоме S и  $9s5p1d \rightarrow 4s2p1d$  на атомах F. По сравнению с пред. расчетом в меньшем базисе («Chem. Phys.», 1975, 11, 399) (расчет А) получены некоторые изменения одноэлектронных орбитальных энергий (0—1 эв, для верхних валентных уровней 0—0,5 эв), но последовательность уровней осталась неизменной. Энергии ионизации получены добавлением к вычисленным орбитальным энергиям многочастичных поправок, найденных в расчете А методом ф-ций Грина. Новые значения энергий ионизации подтверждают полученную в расчете А последовательность уровней, а согласие с экспериментальными ПИ улучшилось (максим. ошибка для 7 верхних валентных уровней 0,4 эв). Результаты согласуются с предложенным ранее отнесением трех первых пиков в фотоэлектронном спектре:  $1t_{1g}$ ,  $5t_{1u} + 1t_{2u}$ ,  $3e_g$ .

М. М. Гофман

*фотод. 1.  
сискр*

1979

8230

Октябрь

2.1979 №2

Омиси 7705 1979

SF<sub>6</sub>

10 Д230. Модель независимых координат для ангармонического силового поля октаэдрических молекул. Vergopol Matthew. A decoupled rigid bender model for the anharmonic force field of octahedral molecules. «J. Mol. Spectrosc.», 1979, 74, № 1, 102—123 (англ.)

Предложена простая модель для параметризации силового поля октаэдрических молекул с учетом кубического и квартичного ангармонизма. В модели учитываются только деформационные колебания, а длины связей считаются фиксированными. Дальнейшее упрощение достигается введением «потенциалов точек на сфере». При этом все квадратичные, кубические и квартичные силовые постоянные выражаются всего через два параметра. Эта модель дает правильные порядки величин для отношения квадратичных силовых постоянных 15 гексафторидов. Для молекул SF<sub>6</sub> и UF<sub>6</sub> вычислены частоты разностных тонов деформационных колебаний.

М. Р. Алиев

сил. масс

Ф.1979.10

SF<sub>6</sub>

commercial

49117

1979

Vincent - Perisse Y, et al.

Si  
Li  
Li<sub>x</sub>Sn<sub>3</sub>As<sub>5</sub>  
(LPS-P)

Can. J. Phys., 1979,  
56(4-7).

1980

$SF_6$

$SiF_4$

Бесокуп  
коэффициент  
уровней.

(+) □

194: 55027k Redistribution of the vibrational energy on laser excitation of high vibrational levels of polyatomic molecules. Akulin, V. M.; Karlov, N. V. (Fiz.-Inst. im. Lebedeva, Moscow, USSR). *Zh. Eksp. Teor. Fiz.* 1980, 79(6), 2104-18 (Russ). A method for calcg. the kinetic coeffs. for laser field-induced transitions of the quasicontinuum of polyat. mols. is considered. The dependence of the kinetic coeffs. on mol. energy and frequency of the laser field was detd. by the nature of the most intense anharmonic interaction locking in the excited mode, and by the character of the redistribution of the mol. vibrational energy with respect to degrees of freedom. The possibility of employing the model of complete stochasticity of vibrations for describing the excitation of mols. by laser radiation is discussed. A model of detachment of vibrational energy directly by the excited mode is suggested which yields the best agreement with the exptl. frequency and energy dependences obsd. for the  $SF_6$  and  $SiF_4$  mols. The dependence of the threshold stochastic energy on frequency of laser action is found using available spectroscopic data pertaining to the  $SF_6$  mol.

c. A. 1981. 9418

1980

$SF_6$

$WF_6$

$UF_6$

(vi)

з Д573. Инфракрасная лазерная спектроскопия высокого разрешения переохлажденных гексафторидов тяжелых элементов. Баронов Г. С., Бритов А. Д., Караваев С. М., Карчевский А. И., Куликков С. Ю., Мерзляков А. В., Сиваченко С. Д., Щербина Ю. И. «Ин-т атом. энергии. Москва. (Препр.)», 1980, № 3348/12, 8 с., ил.

С помощью спектрометра на перестраиваемых инжекционных лазерах исследована полоса  $v_3$  гексафторидов серы, вольфрама и урана. С целью устранения горячих полос, накладывающихся на фундаментальные переходы

(+1) 4

Ф. 1981 N3

ды  $\nu_3$ , газы переохлаждались в сверхзвуковой струе. Исследуемый газ составлял 1% смеси (гексафторид — гелий). В сверхзвуковой струе вращательная т-ра молекул понижается до 40° К. Разрешена изотопич. структура полосы  $\nu_3$  переохлажденного  $WF_6$ . Наблюдались четыре Q-ветви, соответствующие изотопам вольфрама 186, 184, 183 и 182. Изотопич. сдвиг составляет 0,31  $\text{см}^{-1}$  ат. ед. массы. Для гексафторида урана получены Q-ветви полосы  $\nu_3$  изотопов с атомными весами 238 и 235. Изотопич. сдвиг составляет  $0,650 \pm 0,005 \text{ см}^{-1}$ . Разрешена тонкая структура Q-ветви, положение максимума которой для  $^{238}\text{UF}_6$  составляет 627.680  $\text{см}^{-1}$ .

Резюме

SF<sub>6</sub>

Lommel 9988

1980

Bloor J. E., et al.

(Yi Ae)

J. Amer. Chem. Soc.

1980, 102 (13), 4333-40.

(em. WF<sub>6</sub>; III)

*SF<sub>6</sub>*

*1980*

*M, N.*

1 Д389. Наблюдение нарушения симметрии точечной группы в колебательно-вращательных состояниях и октаэдрического расщепления в  $^{32}\text{SF}_6$  методом спектроскопии насыщения. Breakdown of the point-group symmetry of vibration-rotation states and optical observation of ground-state octahedral splittings of  $^{32}\text{SF}_6$  using saturation spectroscopy. Bordé J., Bordé Ch.J., Salomon C., Van Lerberghe A., Ouhayou M., Cantrell C. D. «Phys. Rev. Lett.», 1980, 45, № 1, 14—17 (англ.)

Методом спектроскопии насыщения изучена сверхтонкая структура линий Q(53) и Q(38) полосы  $\nu_3$  газообразной SF<sub>6</sub>. В спектре наблюдены линии, запрещенные правилами отбора по симметрии  $F_1 \leftrightarrow F_2$  для линии Q(53) и  $E \leftrightarrow F_1$  для Q(38). Возникновение этих

*Ф. 1981 № 1*

линий становится возможным благодаря объединению колебательно-вращательной и ядерной спиновой ф-ций, при этом переходы  $\Delta C \neq 0$  связаны с членами  $C \neq A_{1g}$  в колебательно-вращательной части оператора возмущения, ибо только полный оператор должен быть инвариантен при операциях в группе  $O(3) \cdot O_h$ . Построен тензорный оператор, содержащий колебательно-вращательное и спиновые ядерные взаимодействия и выполнена его диагонализация. Из сравнения рассчитанного спектра с наблюденным определены константы центробежной деформации  $t_{004}$  и спин-вращательного взаимодействия  $c_d$ , величина  $t_{004}$  прекрасно согласуется с рассчитанной. Библ. 14.

М. Т.

1980

SF<sub>6</sub>

94: 5521-4u Infrared spectral absorption intensities in the  $\nu_3$  and  $\nu_4$  regions of sulfur hexafluoride. Brodbeck, C.; Rossi, I.; Strapelias, H.; Bouanich, J. P. (Lab. Infrarouge, Univ. Paris Sud, 91405 Orsay, Fr.). *Chem. Phys.* 1980, 54(1), 1-7 (Eng). Band intensity measurements in the regions of the 2 IR-active  $\nu_3$  and  $\nu_4$  fundamental modes of SF<sub>6</sub> were made. For the 1st time, the results were deduced from total band area measurements in pure gas. An anal. of hot bands, combination bands and isotopic transitions present in the regions of absorption is given. The intensity values were compared with the lit. data obtained by different methods.

$\nu_3, \nu_4$

numereable.

0.4.1981.9418

1980

$SF_6$

5 д411. Интенсивность спектра ИК-поглощения  
 $SF_6$  в области колебаний  $\nu_3$  и  $\nu_4$ . Infrared spectral absorption intensities in the  $\nu_3$  and  $\nu_4$  regions of  $SF_6$ .  
Brodbeck C., Rossi I., Strapelias H., Bouanich J.-P. «Chem. Phys.», 1980, 54, № 1, 1—7 (англ.)

И. К. спектр  
поглощ.

Получены спектры ИК-поглощения газообразного  $SF_6$  в области колебаний основного тона  $\nu_3$  и  $\nu_4$ . Измерения велись при т-ре  $299 \pm 2^\circ K$  в диапазоне давл. 27—200 мм рт. ст. с разрешением  $\sim 1 \text{ см}^{-1}$ . Приведены изображения спектров, определены интегр. интенсивности полос  $\nu_3$  и  $\nu_4$ , равные  $5037$  и  $274 \text{ см}^{-2} \cdot \text{амага}^{-1}$ ; погрешность определения интегр. интенсивностей составляет 6%. Отмечено, что большинство литературных значений интенсивностей указанных полос несколько превышают полученные в настоящей работе. Библ. 34.  
Н. Ф.

Ф. 1981 № 5

*SF<sub>6</sub>*

1980

9 Б249. Интенсивности полос поглощения инфракрасного спектра SF<sub>6</sub> в области ν<sub>3</sub> и ν<sub>4</sub>. Brodbeck C., Rossi I., Strapelias H., Bouanich J.-P. Infrared spectral absorption intensities in the ν<sub>3</sub> and ν<sub>4</sub> regions of SF<sub>6</sub>. «Chem. Phys.», 1980, 54, № 1, 1—7 (англ.)

Измерены абс. интенсивности ИК-полос поглощения ν<sub>3</sub> и ν<sub>4</sub> молекулы SF<sub>6</sub> (I) на приборе со спектральной шириной щели около 1 см<sup>-1</sup>. Отмечено, что данные измерения впервые проведены для чистого газа. Асимметричность контуров полос поглощения объяснена колебательно-вращательной структурой, изотопными эффектами и присутствием горячих и составных полос в исследованной области спектра. Измеренные значения интенсивности сопоставлены с лит. данными. Указано, что данные значения интенсивностей полос ν<sub>3</sub> ν<sub>4</sub> молекулы I из-за учета вкладов гор. полос ниже большинства лит. данных.

Ю. Н. Панченко

X. 1981 N 9

$SF_6$

Lommel 984D |

1980

Buckingham A.D.  
et al.

Mol. Phys., 1980, 40 (3),  
643-48.

The pair polarizability  
anisotropy of  $SF_6$  in the  
point-atom  polarizability  
approximation.

оттиск 11254 1980

SF<sub>6</sub>

UF<sub>6</sub>

спектры

и

(+)

№



16 Б239. Спектры когерентного стоксового и антистоксового рассеяния света полос  $v_1(A_1)$  и  $v_2(E)$  в SF<sub>6</sub> и UF<sub>6</sub>. Cahen-de Villardi J., Clerc M., Isnard P., Weulerse J. M. Coherent Stokes and anti-stokes Raman spectra of the  $v_1(A_1)$  and  $v_2(E)$  bands of SF<sub>6</sub> and UF<sub>6</sub>. «J. Mol. Spectrosc.», 1980, 84, № 2, 319—333 (англ.)

Изучены спектры когерентного стоксового и антистоксового рассеяния света (KCPC и КАРС) на полосах  $v_1(A_1)$ ,  $v_2(E)$  в газ. SF<sub>6</sub> и UF<sub>6</sub> при давл. до 1 атм при 300К. Использовалась лазерная система с перестраиваемым лазером на красителе и тремя усилителями, накачиваемая мощным излучением одномодового рубинового лазера (2 ГВт при длительности импульса 2 нс). Спектры КАРС возбуждали в широком спектральном диапазоне (до 100 см<sup>-1</sup>) и затем анализировали спектрометром в фокальной плоскости к-рого был размещен оптич. многоканальный анализатор. Профиль линий КАРС и

Х. 1981. № 16

КСРС, полученный в эксперименте, сравнивали с расчетным контуром. Получены данные о резонансной и нерезонансной части кубич. нелинейной восприимчивости молекул  $SF_6$  и  $UF_6$ . Отнесение полос в спектрах КАРС позволило измерить также ряд спектроокопич. констант.

А. Т. Суходольский

$SF_6$

Lommel 1125Y

1980

$UF_6$

$\nu_1, \nu_3, \nu_4, \nu_5$ ,  
!

(+)

94: 55238e Coherent Stokes and anti-Stokes Raman spectra of the  $\nu_1$  ( $A_1$ ) and  $\nu_2$  (E) bands of sulfur hexafluoride and uranium hexafluoride. Cahen de Villardi, J.; Clerc, M.; Isnard, P.; Weulersse, J. M. (Dep. Genie Isot., Cent. Etud. Nucl. Saclay, 91190 Gif/Yvette, Fr.). *J. Mol. Spectrosc.* 1980, 84(2), 319-33 (Eng). Coherent Stokes and anti-Stokes Raman scattering were used to study the  $\nu_1$  and  $\nu_2$  spectral band profiles of  $UF_6$  and  $SF_6$ . Most of the obsd.  $SF_6$  "hot" bands are assigned, leading to evaluations of the anharmonicity consts.  $X_{13}; X_{12} = -(2.80 \pm 0.30) \text{ cm}^{-1}$ ,  $X_{14} = -(1.00 \pm 0.15) \text{ cm}^{-1}$ ,  $X_{15} = -(1.00 \pm 0.15) \text{ cm}^{-1}$ . For  $UF_6$ , the tentative assignment of the "hot" bands is made:  $X_{12} = -(1.80 \pm 0.30) \text{ cm}^{-1}$ ,  $X_{13} = -(1.60 \pm 0.30) \text{ cm}^{-1}$ ,  $X_{14} = -(0.20 \pm 0.10) \text{ cm}^{-1}$ ,  $X_{15} = -(0.25 \pm 0.10) \text{ cm}^{-1}$ , and  $X_{16} = -(0.10 \pm 0.05) \text{ cm}^{-1}$ . Parameters such as the vibration-rotation coupling consts. are detd. For  $SF_6$ :  $\alpha = (7 \pm 2) \times 10^{-5} \text{ cm}^{-1}$  for the  $\nu_2$  band and  $\alpha = -(1.02 \pm 0.01) 10^{-4} \text{ cm}^{-1}$  for the  $\nu_1$  band. The calcd. spectral profiles of the coherent Stokes or anti-Stokes spectra, which are in good agreement with exptl. results, give values for the resonant and nonresonant parts of the susceptibility in both mols. They also show, in some cases, the influence of neighboring combination bands.

C.A. 1981 94 18

Lemmarca 9865 | 1980

SF<sub>6</sub>

Cox D. L.; et al.

Tageph.  
meurissek . J. Mol. Spectrosc.  
1980, 81, 207 -215

OMNIBUS 9568

1980

SF<sub>6</sub>

93: 16076k The  $\nu_2 + \nu_6$  absorption and emission of multi-photon-excited sulfur hexafluoride. Fuss, W. (Projektgruppe Lasersforsch., Max-Planck-Ges., D-8046 Garching, Fed. Rep. Ger.). *Chem. Phys. Lett.*, 1980, 71(1), 77-82 (Eng). IR spectra in the 3 $\nu_3$  range of SF<sub>6</sub> show that certain anharmonicities are equal in magnitude. In this way equidistant bands of multiplets are generated, if  $\nu_3$  quanta are successively replaced by  $\nu_2 + \nu_6$  quanta. When excited by a CO<sub>2</sub> laser at 944.2 cm<sup>-1</sup>, the mol. 1st climbs up the ladder of  $\nu_3$  multiplet bands, then  $\nu_2$  and  $\nu_6$  increase by 1 unit, subsequently  $\nu_3$  is again raised by several units, and so on, alternately, up to  $\approx$  20th step. The evidence for this path is that it allows the assignment of the recently obsd. absorption and emission features of highly excited SF<sub>6</sub> whose spectral position is not dependent on the height of excitation.

(3) 2  
3

XIII-204/2

CA 1980 93 n2

SF<sub>6</sub>

Октябрь 9568

1980

18 Б259.  $\nu_2 + \nu_6$  поглощение и испускание многофотонно возбужденного гексафторида серы. Fuss W. The  $\nu_2 + \nu_6$  absorption and emission of multiphoton-excited SF<sub>6</sub>. «Chem. Phys. Lett.», 1980, 71, № 1, 77—82 (англ.)

При облучении SF<sub>6</sub> (I) лазером CO<sub>2</sub> на частоте 944,2 см<sup>-1</sup> с интенсивностью до 5 квантов света на молекулу составная полоса  $\nu_2 + \nu_6$  при 992 см<sup>-1</sup> не сдвигается и не изменяет своей интенсивности в отличие от полосы  $\nu_3$  при 948 см<sup>-1</sup>, на которую аналогичное облучение оказывает сильный эффект. Это явление можно объяснить в предположении, что эффективной кросс-ангармоничности  $x_{23} + x_{36} + \Delta$  (включая вклад  $\Delta$ , обусловленный резонансом Ферми) между уровнями  $\nu_3$  и  $\nu_2 + \nu_6$  близка к нулю. Однако, анализ ИК-спектра I в области полосы 3 $\nu_3$ , а именно составной полосы

XII - 2009

Х 1980 18

$2\nu_3 + \nu_2 + \nu_6$  показал, что сделанное выше предположение должно быть модифицировано введением допущения о том, что нек-рые постоянные ангармоничности равны по величине. В этом случае эквидистантные уровни мультиплета могут генерироваться при последовательной замене квантов с частотой  $\nu_3$  на кванты с частотой  $\nu_2 + \nu_6$ . При возбуждении I лазером CO<sub>2</sub> на частоте 944,2 см<sup>-1</sup> сначала происходит заселение мультиплета полосы  $\nu_3$ , после чего происходит увеличение колебательных квантов  $\nu_2$  и  $\nu_6$  на единицу. Затем  $\nu_3$  вновь возрастает на несколько единиц и так далее, до 20 квантов на молекулу. Т. обр.,  $\nu_3$  поглощение I сдвигается обратно в коротковолновую сторону за счёт  $\nu_2 + \nu_6$  перехода. Такое объяснение позволяет объяснить нек-рые особенности в недавно исследованных спектрах поглощения и испускания высоко возбужденных молекул I.

По резюме

SF<sub>6</sub>

Lommel 9962

1980

Garg S.K., et al.

жестк  
связь.  
ИМР-  
спектр

Z. Mag. Resonans,  
1980, 39, 317-323.

1980

SF<sub>6</sub>

N<sub>2</sub>O

NO

(3)

⊕ ⊖

п 1981 N 19

19 Б100. Измерение потенциалов ионизации молекул с помощью ( $e, 2e$ ) спектроскопии. Giardini-Guidoni A., Fantoni R., Camillon R., Stefan G. Measurements of ionization potentials of molecules by ( $e, 2e$ ) spectroscopy. «Adv. Mass. Spectrom. Vol. 8A. Proc. 8th Int. Conf., Oslo, 1979». London, 1980, 71—78 (англ.)

Кратко обсуждены теор. основы метода ( $e, 2e$ ), спектроскопии, приведена схема эксперим. установки и рассмотрены способы извлечения из эксперим. данных информации о потенциалах ионизации (ПИ) и симметрии орбиталей исследуемых молекул. Для молекул SF<sub>6</sub>, N<sub>2</sub>O и NO измерены ( $e, 2e$ ) спектры в различных симм. ко-планарных (для SF<sub>6</sub>) и неко-планарных (для N<sub>2</sub>O и NO) геометриях эксперимента. Измерения проведены при энергии первичного пучка электронов, равной 2,6 кэВ, при этом разрешение спектрометра было ~2,6 эВ. С помощью полученных эксперим. данных определены значения ПИ (в области от 10 до 50 эВ) и симметрии МО. Во всех случаях обнаружено хорошее согласие с лит. данными фотоэлектронной спектроско-

ции. Кроме того, в  $(e, 2e)$  спектрах найдены сателлитные линии (2 для  $SF_6$  и по 4 для  $N_2O$  и  $NO$ ), для большинства из к-рых удалось определить симметрию и на этой основе предложить отнесение. Проведено сопоставление угловых распределений абс. значений интенсивностей пиков в спектрах  $N_2O$  и  $NO$  (при изменении угла между перв. пучком и плоскостью регистрации электронов) с теор. предсказаниями. Рассмотрены пики, соотв-щие ионизации  $2\pi$ ,  $2\sigma$ ,  $1\sigma$  и  $2\pi$ ,  $3\sigma$ ,  $2\sigma$ ,  $1\sigma$  MO молекул  $N_2O$  и  $NO$ . Найдено, что эксперим. зависимости для  $N_2O$  по форме хорошо воспроизводятся расчетом с использованием волновых ф-ций Мак Липа (IBM «J. Res. Dev.», 1967, 1), однако при этом абс. величины недооцениваются на  $\sim 20\%$ . Для  $NO$  показано, что теор. данные, полученные с помощью волновых функций из работы Kouba и др. («Int. J. Quantum Chem.», 1971, 5, 539), плохо согласуются с экспериментом.

О. А. Басченко

сп  
при

1980

SF<sub>6</sub>

N<sub>2</sub>O

NO

(y)

✓ 94: 23756f Measurement of ionization potentials of molecules by (e, 2e) spectroscopy. Giardini-Guidoni, A.; Fantoni, R.; Camilloni, R.; Stefani, G. (Com. Naz. Energ. Nucl., Cent. Frascati, 00044 Rome, Italy). *Adv. Mass Spectrom.* 1980, 8A, 71-8 (Eng). Results on the valence states of SF<sub>6</sub>, N<sub>2</sub>O, and NO are reported and discussed. The app. used consisted of a scattering chamber contg. an electron gun, 2 electrostatic analyzers, and a gaseous beam, and measurements were performed with an incident energy of  $\approx$  2.6 keV and an energy resoln. of  $\sim$  2.6 eV. Abs. cross section were detd. with respect to the He 1 s state.

(+2) 18

C.A. 1981.94 n4

1980

*SF<sub>6</sub>**SeF<sub>6</sub>**TeF<sub>6</sub>**кб. ссср  
расст.*

13 Б24. Нерелятивистские и релятивистские расчеты молекул гексафторидов халькогенов: SF<sub>6</sub>, SeF<sub>6</sub>, TeF<sub>6</sub>, PoF<sub>6</sub>. Grundevik P., Rosén A., Fricke B., Miroovic T., Sepp W.-D. Non-relativistic and relativistic molecular calculations for the chalcogen hexafluorides: SF<sub>6</sub>, SeF<sub>6</sub>, TeF<sub>6</sub>, PoF<sub>6</sub>. Contributed Papers from the XIVth European Congress on Molecular Spectroscopy, Frankfurt, Sept., 1979, Part 2. «J. Mol. Struct.», 1980, 60, 381—386 (англ.)

В рамках нерелятивистского и релятивистского методов Хартри—Фока—Слэйтера с использованием базиса численных атомных ф-ций, процедуры самосогласования по заряду и вычисления матричных элементов секулярного ур-ния методом ДВМ рассчитано электронное строение гексафторидов халькогенов: SF<sub>6</sub>, SeF<sub>6</sub>, TeF<sub>6</sub> и PoF<sub>6</sub>. При сравнении данных релятивистских

Октябрь 1980 г.

Октябрь 1980 г.

X 1980 N13

(+) 2

☒

и нерелятивистских расчетов получена информация о релятивистских сдвигах уровней и их спин-орбитальных расщеплениях. Для  $SF_6$  потенциалы ионизации валентных MO, рассчитанные в приближении переходного состояния, сопоставлены с данными аналогичных расчетов неэмпирическими и др.  $X_\alpha$ -методами. Показано, что все рассмотренные методы приводят практически к одинаковой последовательности уровней в  $SF_6$ , причем энергии ионизации, полученные в рамках  $X_\alpha$ -методов, хорошо согласуются с данными расчетов в многочастичных приближениях. В релятивистских расчетах для первых потенциалов ионизации в  $SF_6$ ,  $SeF_6$ ,  $TeF_6$  и  $PoF_6$  получены значения 14,5; 14,5; 13,8 и 12,7 эВ соответственно.

И. А. Тополь

*SF<sub>6</sub>*

оттиск 9257

1980

7 Д135. Нерелятивистские и релятивистские молекулярные расчеты гексафторидов халькогенов SF<sub>6</sub>, SeF<sub>6</sub>, TeF<sub>6</sub>, PoF<sub>6</sub>. Non-relativistic and relativistic molecular calculations for the chalcogen hexafluorides: SF<sub>6</sub>, SeF<sub>6</sub>, TeF<sub>6</sub>, PoF<sub>6</sub>. Grundevik P., Rosén A., Fricke B., Mrović T., Sepp W.-D. — Contributed Papers from the XIV th European Congress on Molecular Spectroscopy, Frankfurt, Sept., 1979. Part 2. — «J. Mol. Struct.», 1980, 60, 381—386 (англ.)

Релятивистским Х-методом дискретного варирования рассчитана электронная структура октаэдрич. молекул SF<sub>6</sub>, SeF<sub>6</sub>, TeF<sub>6</sub>, PoF<sub>6</sub> с использованием миним. базиса. С утяжелением центрального атома наблюдается сужение F 2s полосы и уменьшение величины первого потенциала ионизации с 14,5 до 12,7 эв. Проведен также нерелятив. расчет в расширенном базисе с включением 3d, 4s, 4p, 4d, 4f орбиталей атома S для молекулы SF<sub>6</sub>. Полученные результаты сопоставлены с имеющимися эксперим. и теоретич. данными. Библ. 18.

А. Ф. Шестаков

Ф. 1980 № 7

1980

SF<sub>6</sub>

✓ 94: 20784c Stepwise bond dissociation energies of sulfur hexafluoride. Kiang, Teddy Tian (Stanford Univ., Stanford, CA USA). 1980. 93 pp. (Eng). Avail. Univ. Microfilms Int., Order No. 8024682. From Diss. Abstr. Int. B 1980, 41(5), 177°

(d<sub>0</sub>)

C.A. 1981. 94 n4

$SF_5 - F$

Osmicca 9788

1980

$SF_x - F$

(80)

93: 32614q Stepwise bond dissociation energies in sulfur hexafluoride. Kiang, T.; Zare, R. N. (Dep. Chem., Stanford Univ., Stanford, CA 94305 USA). *J. Am. Chem. Soc.* 1980, 102(12), 4024-9 (Eng). The  $F_5S - F$  and  $F_3S - F$  bond dissociation energies are detd. from studies of the chemiluminescent reactions of  $SF_6$  and  $SF_4$  with metastable Ca and Sr atoms under single-collision conditions. These results are combined with known heats of formation to deduce the following stepwise bond dissociation energies:  $(F_5S - F) = 91.1 \pm 3.2$ ;  $(F_4S - F) = 53.1 \pm 6.0$ ;  $(F_3S - F) = 84.1 \pm 3.0$ ;  $(F_2S - F) = 63.1 \pm 7.1$ ;  $(FS - F) = 91.7 \pm 4.3$ ;  $(S - F) = 81.2 \pm 1.6$  kcal/mol. The zigzag pattern of these successive bond dissociation energies is discussed in terms of bonding theory.

CA 1980 93 n 4

SF<sub>6</sub>

Lommel 10336

1980

Kim R., et al.

Изменение

напряжения

J<sub>i</sub>

J. Chem. Phys., 1980, 73 (1)  
36-41.

SF<sub>6</sub>

Lennard-Jones 9533

1980

SF<sub>5</sub>

Lifshitz et al.

(δ<sub>0</sub>; A<sub>0</sub>)

J. Chem. Phys., 1980,  
72 (1), 789-90

статья 10058 1980

*SF<sub>6</sub>*

*спектр*

*д.и.н.*

*ф. 1981 № 1*

1 Д388. Спектр SF<sub>6</sub> в области полосы 3v<sub>3</sub>, полученный с разрешением, ограниченным доплеровским уширением. Doppler-limited spectroscopy of the 3v<sub>3</sub> band of SF<sub>6</sub>. Pipe A. S., Robiette A. G. «J. Mol. Spectrosc.», 1980, 80, № 2, 388—402 (англ.)

Изучены спектры ИК-поглощения газообразной SF<sub>6</sub> при т-рах 295 и 160° К в области 3,5 мк. В качестве источника зондирующего излучения использовано разностное излучение двух лазеров: аргонового и на кратителе с шириной линии ~3 Мгц. Калибровка частот выполнена по спектрам N<sub>2</sub>O. Интерпретация спектра выполнена в предположении, что только одна активная в поглощении компонента  $l=1$  дает вклад в спектр. Сравнением рассчитанного и наблюденного спектров определены параметры молекулы в состоянии 3v<sub>3</sub>. Сильное увеличение констант использованного при интерпретации гамильтониана Море-Байи при переходе от основного тона к обертону связано с взаимным возмущением состояний  $l=1$  и  $l=3$  за счет ангармоничности, определены параметры ангармоничности. С подуровнем  $l=3$  предположительно связана группа линий, расположенная на ~10 см<sup>-1</sup> выше центра наблюдаемой полосы. Библ. 38.

*SF<sub>6</sub>*

*отмеч 10058*

*1980*

2 Б196. Спектроскопия полосы  $3v_3$  SF<sub>6</sub> в допплеровском пределе. Pine A. S., Robiette A. G. Doppler-limited spectroscopy of the  $3v_3$  band of SF<sub>6</sub>. «J. Mol. Spectrosc.», 1980, 80, № 2, 388—402 (англ.)

На лазерном спектрометре с перестраиваемой частотой измерен в области частот 2819,5—2831,5 см<sup>-1</sup> с разрешением около 0,002 см<sup>-1</sup> ИК-спектр полосы  $3v_3$  SF<sub>6</sub> при т-рах 160 К и 295 К. Интенсивность спектра при т-ре 160 К приблизительно в 3 раза выше, чем при т-ре 295 К. Разрешение структуры спектра при т-ре 160 К немного лучше, чем при т-ре 295 К, и ограничено допплеровским уширением. На основе упрощенной модели для переходов к  $l=1 F_{1u}$  подуровню верхнего состояния определены эффективные колебательно-вращательные параметры полосы  $3v_3$ . Для центра полосы получено значение  $m=2827, 5678$  см<sup>-1</sup> и для удвоенной вращательной постоянной с учетом кориолисова взаимодействия получено значение  $n=-0,1065$  см<sup>-1</sup>. В результате диагонализации соответствующей части колебательно-вращательного гамильтониана определены параметры ангармоничности  $G_{33}=1,0$  см<sup>-1</sup>,  $T_{33}=-0,2$  см<sup>-1</sup>,  $X_{33}=-1,83$  см<sup>-1</sup>. С. Н. Мурзин

*61, II*

*X. 1981 № 2*

ONINNUU 10058

1980

SF<sub>6</sub>

93:16056d Doppler-limited spectroscopy of the  $3\nu_3$  band of sulfur hexafluoride. Pine, A. S.; Robiette, A. G. (Lincoln Lab., Massachusetts Inst. Technol., Lexington, MA 02173 USA). *J. Mol. Spectrosc.* 1980, 80(2), 388-402 (Eng). The strongest portion of the  $3\nu_3$  band of SF<sub>6</sub> was recorded at  $T = 160$  and 295 K with Doppler-limited resoln. using a tunable laser difference-frequency spectrometer. The structure in this band was identified with the *P*, *Q*, and *R* branches of one  $F_{1u}$  sublevel (with essentially  $l = 1$  character) within the  $3\nu_3$  vibrational manifold. Preliminary effective rotational consts. were obtained for this band from which the anharmonic parameters  $X_{333}$ ,  $G_{333}$ , and  $T_{333}$  can be estd. The role of hot bands and of the other anharmonic sublevels is discussed in relation to prior interpretations of low resoln. spectra and of the initial isotope selective stages of CO<sub>2</sub> laser photodissocn. of SF<sub>6</sub>.

CA 1980 93 n2

*1980*  
*SF<sub>6</sub>*

*поверхн.  
помещ.  
энергии*

11 Б27. Многофотонное поглощение SF<sub>6</sub>: классическое траекторное исследование. Poppe D. Multiphoton absorption of SF<sub>6</sub>: a classical trajectory study. «Chem. Phys.», 1980, 45, № 3, 371—382 (англ.)

С целью выяснения механизма многофотонного поглощения выполнены траекторные исследования динамики молекулы SF<sub>6</sub> в сильном монохроматическом поле частоты  $\nu$ . Поверхность потенциальной энергии молекулы SF<sub>6</sub> аппроксимировалась суперпозицией шести функций Морзе (колебания связей SF) и восемью экспоненциальными функциями отталкивания между связями SF. Потенциал содержал шесть параметров, определенных из условия оптим. воспроизведения частот нормальных колебаний, равновесного расстояния

(том 2  
нр. 1)

*2: 1980. N 11*

$\nu_{SF}$  и энергии диссоциации по связи SF. Частота поля  $\nu$  считалась близкой к активному в ИК-спектре колебанию  $\nu_3$  ( $880 \text{ см}^{-1}$ ), зависимость дипольного момента связи SF от расстояния считалась экспоненциальной. Вычисления проведены для больших напряженностей поля, обеспечивающих диссоциацию молекулы за время  $\sim 1$  псек. (ограничение налагаемое условием малой ошибки при интегрировании многомерной траектории в течение 50—500 периодов колебаний связи). По вычисленным траекториям определялась средняя переданная энергия  $\Delta E$  как функция начальной энергии молекулы  $E$  и энергии излучения  $I$ , а также как функция расстройки  $\nu - \nu_3$ . При увеличении  $I$  переданная энергия растет квадратично (при малых  $E$ ), а затем происходит «расплывание», приводящее к широкому распределению молекул по энергиям. Этот эффект обязан ангармоничности колебаний. Как функция  $\nu - \nu_3$  энергия  $\Delta E$  максимальна при смещении частоты облучения от  $\nu_3$  в длинноволновую сторону.

Е. Е. Никитин

*SF<sub>6</sub>*

1980

1 Д238. Многофотонная диссоциация SF<sub>6</sub> в молекулярном пучке. Multiphoton dissociation of SF<sub>6</sub> by a molecular beam method. Schulz P. A., Sudbo Aa. S., Grant E. R., Shen Y. R., Lee Y. T. «J. Chem. Phys.», 1980, 72, № 9, 4985—4995 (англ.)

Методом пересекающихся пучков — лазерного и молекулярного изучена динамика ИК-многофотонного возбуждения и диссоциации молекул SF<sub>6</sub>. Исследовано влияние различных условий: начального колебательного возбуждения; продолжительности лазерных импульсов; величины лазерной энергии; лазерной частоты на ход изучаемых процессов. Проведенные эксперименты позволили получить количеств. информацию для различных процессов, сопровождающих многофотонную ионизацию. На основе полученных эксперим. данных построена феноменологич. модель многофотонной диссоциации и возбуждения. Указывается, что аналогичные модельные расчеты могут быть также проведены для многих других многоатомных молекул. Библ. 34. А. П. Калинин

*многофотон.  
диссоц.*

*Ф. 1981 № 1*

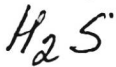
1980

*SF<sub>6</sub>*(J<sub>3</sub>)

93: 122991q Temperature reversible site structural change for sulfur hexafluoride isolated in an argon matrix. Swanson, Basil I.; Jones, Llewellyn H. (Los Alamos Sci. Lab., Univ. California, Los Alamos, NM 87545 USA). *J. Chem. Phys.* 1980, 73(2), 986-7 (Eng). An IR study of the  $\nu_3$  region for SF<sub>6</sub> in Ar (Ar/SF<sub>6</sub> = 10,000) at 8 and 20 K demonstrated unusual temp. reversible dynamics of the trapping sites for SF<sub>6</sub> isolated in an Ar matrix. The reversible absorbance changes with temp. are a result of an effective change in the structure of the trapping site. The most appealing explanation for this effective site structure change is that it results from dynamic averaging between low symmetry sites, somewhat analogous to chem. exchange obsd. in NMR spectroscopy. Another explanation is that with increasing temp. a change in min. energy site structure occurs as in a displacive structural phase change. In either case, the obsd. effect occurs at local sites and does not result from a transformation of the entire Ar lattice. The 3 highest frequency bands are assigned to 3 components of the triply degenerate  $\nu_3$  mode for SF<sub>6</sub> trapped in a single low symmetry site.

CA 1980 93 n 12

1980



Энергет.  
структур.  
молекул.

11 Б32. Самосогласованный расчет и анализ формирования химических сдвигов рентгеновских  $K_{\alpha}$ -линий серы в молекулах  $\text{SF}_6$ ,  $\text{SO}_2$  и  $\text{H}_2\text{S}$ . Ведринский Р. В., Просандеев С. А., Павлов А. Н., Ковтун А. П. «Теор. и эксперим. химия», 1980, 16, № 1, 19–25

Методом ССП  $X_{\alpha}$  рассеянных волн выполнено систематич. исследование энергетич. структуры молекул  $\text{SF}_6$ ,  $\text{SO}_2$  и  $\text{H}_2\text{S}$ . Электронная релаксация на поле вакансии учтена методом переходного оператора. В результате введения поправки, уточняющей вклад обменного взаимодействия в энергию уровня и подбора радиусов атомных сфер удалось получить согласующиеся с экспериментом значения хим. сдвигов остовых уровней,  $K_{\alpha}$ -рентгеновских и  $KLL$ -оже-электронных линий, а также их абс. значения. Исследовано изменение формы парц. плотностей валентных электронов при пере-

(72)

⊗

Ж 1980. N 11

ходе от одного хим. соединения к другому. До радиуса 0,8 Å форма  $s$ - и  $p$ -электронных плотностей сохраняется с точностью 5%, а  $d$ -электронные плотности — 20%. Влияние изменения парц.  $d$ -плотности на хим. сдвиг  $K_{\alpha}$ -линий серы пренебрежимо мало. Исследована связь интегральной интенсивности  $K_{\alpha}$ -полосы с локальной парц.  $p$ -плотностью. Предложена методика определения парциальных  $s$ - и  $p$ -электронных плотностей из данных по хим. сдвигам  $K_{\alpha}$ -линий и интегральной интенсивности  $K_{\beta}$ -полосы.

Автореферат

1981

SF<sub>6</sub>

2 Д772. SF<sub>6</sub> в Xe матрице. Релаксация колебательной энергии. SF<sub>6</sub> in a xenon matrix. Vibrational energy relaxation. Abouaf-Marguin L., Boissel P., Gauthier-Roy B. «J. Chem. Phys.», 1981, 75, № 1, 495—496 (англ.)

Методом двойного ИК-резонанса исследована релаксация колебательно-возбужденных молекул <sup>32</sup>SF<sub>6</sub> в Xe-матрице при 7 К. Установлено, что молекулы SF<sub>6</sub> могут находиться в матрице в двух различных состояниях, возбуждаемых излучением P34 и P32 CO<sub>2</sub>-лазера. В обоих случаях скорость релаксации SF<sub>6</sub> одинакова в пределах погрешности эксперимента и описывается двуэкспоненц. ф-цией с приблизительно одинаковыми амплитудами компонент, характеризующихся постоянными затухания (5±1) и (16±3) мкс.

С. Литке

спектр  
в матрице

Ф 1982, 18, № 2.

1981

# SF<sub>6</sub>

195: 70300h Sulfur hexafluoride in a xenon matrix: vibrational energy relaxation. Abouaf-Marguin, L.; Boissel, P.; Gauthier-Roy, B. (Univ. Paris-Sud, CNRS, 91405 Orsay, Fr.). *J. Chem. Phys.* 1981, 75(1), 495-6 (Eng). IR double resonance measurements were carried out to obtain the vibrational energy relaxation time of SF<sub>6</sub> isolated in solid Xe; this relaxation time, at 7 K, is in the  $\mu$ s range. Laser-excited SF<sub>6</sub> isolated in a Xe matrix shows fast intramol. V-V transfer. There is no clear evidence of intermol. V-V transfer between the 2 categories of mols. which seem involved in this system.

UK chemmp  
B Lampuse

CA 1981, 95, N8

$SF_5 - F$

СМЕШАНИЕ 11833 1981

$SF_6$

Жерные  
диссоциа-  
ции;

12 Д284. Ион-молекулярные реакции с  $SF_6$ . Определение ионизационного потенциала ( $SF_5$ ), потенциала появления ( $SF_5/SF_6$ ) и энергии диссоциации ( $SF_5 - F$ ). Ion-molecule reactions of  $SF_6$ . Determination of I. P. ( $SF_5$ ), A.P. ( $SF_5^+/SF_6$ ), and D( $SF_5 - F$ ). Babcock Lucia M., Streit Gerald E. «J. Chem. Phys.», 1981, 74, № 10; 5700—5706 (англ.)

Описанный ранее прибор (Streit G. E., Newton T. W. «J. Chem. Phys.», 1980, 73, 3178), основанный на методе послесвечения в потоке с масс-спектрометрич. регистрацией продуктов, применен для исследования ион-молекулярной реакции:  $SF_6 + CF_3^+ \rightleftharpoons SF_5^+ + CF_4$  (1). В качестве буферного газа использован He. Определены относит. содержание ионов  $SF_3^+$ ,  $SF_4^+$  и  $SF_5^+$  из реакции  $SF_6 + He^+$  и показано, что больше всего образуется ионов  $SF_3^+$ . Из равновесной реакции (1) при больших кол-вах  $CF_4$ , определен потенциал появления

☒

(+2)

cf. 1981, 18, N 12.

$SF_5^+$  (A.P.)  
 $SF_6$  (A.P.)

(ПП)  $SF_5^+$  из  $SF_6$  ( $14,62 \pm 0,09$  эВ), а из реакции перезарядки ионов  $SF_5^+$  на молекулах с известными потенциалами ионизации (ПИ) определен ПИ для  $SF_5$  ( $10,5 \pm 0,1$  эВ). Путем комбинирования ИП и ПП вычислена энергия диссоциации для связи  $SF_5-F$  ( $4,1 \pm 0,13$  эВ). Это значение хорошо согласуется с измеренной методом хемилюминесценции и с рассчитанной теоретически.

И. Флакс

101

1981

# Молекулярная спектроскопия

SF<sub>6</sub>

(метод)  
~~определ.~~  
лит. весов

ср. 1982,  
18, № 1.

1 Д65. Метод находений ядерной спиновой статистики в молекулярной спектроскопии. A method for nuclear spin statistics in molecular spectroscopy. Валасубраманян К. «J. Chem. Phys.», 1981, 74, № 12, 6824—6829 (англ.)

Методом спиновых проекционных операторов получены производящие ф-ции для системы ядерных спинов. Указанные операторы генерируют неприводимые представления, перекрываемые ядерными спиновыми ф-циями  $a_1^b$ ,  $a_2^b$ ,  $a_t^b$ , где  $a_i$  — число возможных спиновых состояний ядер  $b_i$  определенного вида в молекуле. С помощью полученных производящих ф-ций можно определить статистич. веса ровибронных уровней любой многоатомной молекулы. В качестве примера рассмотрены молекулы  $^{33}\text{SF}_6$ ,  $^{13}\text{C}$ -трифенилена и трифенилена, в которых протоны заменены на D. Для  $^{13}\text{C}$ -трифенилена существует 1 073 741 824 ядерных спиновых ф-ций, с помощью которых определены статистич. веса ровибронных уровней  $A'_1$ ,  $A'_2$ ,  $E'$ ,  $A''_1$ ,  $A''_2$  и  $E''$ , равные 178 940 928, 178 973 696, 357 913 600, 178 940 928, 178 973 696 и 357 913 600 соответственно. Указано, что предложенный метод может быть обобщен также на случай нежестких молекул. Библ. 41. Б. Д. Ф.

*SF<sub>6</sub>*

1981

95: 159031u Structure of the molecular spectra of supercooled hexafluorides of some elements, obtained by a spectrometer based on injection lasers. Baronov, G. S.; Britov, A. D.; Karavaev, S. M.; Karchevskii, A. I.; Kurbatov, L. N.; Kulikov, S. Yu.; Merzlyakov, A. V.; Sivachenko, S. D. (USSR). *Izv. Akad. Nauk SSSR, Ser. Fiz.* 1981, 45(8), 1500-3 (Russ). High-resoln. IR spectra of supercooled supersonic gaseous streams of SF<sub>6</sub>, WF<sub>6</sub>, and UF<sub>6</sub> were studied using tunable laser diodes at 940, 710, and 625 cm<sup>-1</sup>, resp. The max. of Q-branches of the ν<sub>3</sub> absorption band were found at 713.263, 713.891, 714.205, and 714.519 ± 0.005 cm<sup>-1</sup> for natural abundance W isotopes (mass nos. 186, 184, 183, and 182, resp.) in WF<sub>6</sub>, and at 628.330, and 627.680 ± 0.005 cm<sup>-1</sup> for <sup>233</sup>U, and <sup>235</sup>U isotopes, resp., in UF<sub>6</sub>. Some information and design and performance tests results obtained by the previously described spectrometer (Kurbatov, L.N., et al., 1979) are given.

*llK chempr*

A  
+2

C. A. 1981, 95, N18.

SF<sub>6</sub>

1981

98: 206804x High-resolution infrared laser spectroscopy of overcooled hexafluorides of heavy elements. Baronov, G. S.; Britov, A. D.; Karavaev, S. M.; Karchevskii, A. I.; Kulikov, S. Yu.; Merzlyakov, A. V.; Sivachenko, S. D.; Shcherbina, Yu. I. (USSR). *Kvantovaya Elektron.* (Moscow) 1981, 8(7), 1573-6 (Russ). A spectrometer using tunable injection lasers was used to study the  $\nu_3$  band of SF<sub>6</sub>, WF<sub>6</sub>, and UF<sub>6</sub>. To eliminate hot bands superimposed on fundamental  $\nu_3$  transitions, the gases were overcooled in a supersonic jet. The gas under study constituted 1% of a mixt. with He. In the supersonic jet, the rotational temp. of mols. drops to 40 K. The isotopic structure of the  $\nu_3$  band of the overcooled WF<sub>6</sub> was resolved, 4 Q branches corresponding to 186, 184, 183 and 182 isotopes were obsd. The isotopic shift was 0.31 cm<sup>-1</sup>/amu. For the UF<sub>6</sub>, Q branches of the  $\nu_3$  band of isotopes with at. wts. of 238 and 235 were obtained. The isotopic shift was  $0.650 \pm 0.005$  cm<sup>-1</sup>. The fine structure of the Q branch was resolved, the position of the max. of which for UF<sub>6</sub> is 627.680 cm<sup>-1</sup>.

(13)

WF<sub>6</sub>, UF<sub>6</sub>

c.a. 1983, 98, v2y

1981

Omnick 13011

SF<sub>6</sub>

структура,  
спектр.  
дисперсия.

Bartell L.S., Kacner M.A.  
et al.,  
J. Chem. Phys., 1981, 75,  
N<sub>6</sub>, 2736 - 2741.

*SF<sub>6</sub>*

CMMCC 13010

1981

95: 141500m Electron diffraction studies of laser-pumped molecules. I. Characterization of system and analysis of data. Bartell, L. S.; Kneller, M. A.; Goates, S. R. (Dep. Chem., Univ. Michigan, Ann Arbor, MI 48109 USA). *J. Chem. Phys.*

1981, 75(6), 2730-5 (Eng). The feasibility of investigating the vibrational excitation of laser-pumped mols. in a supersonic jet by electron diffraction was investigated. Studies of SF<sub>6</sub> confirm that diffraction patterns can be measured, reproducibly, to a part per thousand of the total intensity, or better, and hence can be analyzed to yield useful information about laser-induced changes in intramol. motions, provided adequate account is taken of certain systematic errors. Procedures for discriminating between bona fide and spurious signals are outlined. Methods are described for characterizing the gas flow and d. profile in the microjets issuing from a small tubular nozzle, and for measuring the distribution of radiant energy in the focused IR beam used to irradiate the gas jet.

C. A. 1981, 95, N16.

(f1) Odgas (maneart  
ace; zaevioce,  
gas., eclusiv)

47

1981

SF6

11 Д1192. Резонансный когерентный переходный процесс в газе в поле стоячей волны. Беляев М. В., Василенко Л. С., Скворцов М. Н., Чеботаев В. П. «Ж. эксперим. и теор. физ.», 1981, 81, № 2, 526—539 (рез. англ.)

Teoreticheski i eksperimental'no issledovano затухание поляризации в присутствии поля стоячей электромагн. волны на доплеровски уширенном переходе. Показано, что в направлении, противоположном распространению возбуждающего импульса, поляризация затухает не на частоте возбуждающего поля, как обычно, а на частоте перехода. Это позволяет использовать переходной процесс как для исследования релаксационных процессов, так и в спектроскопии сверхвысокого разрешения без доплеровского уширения. С помощью резонансного когерентного переходного процесса измерены релаксационные константы затухания дипольного

φ. 1981, 18, NII.

момента при столкновениях в  $SF_6$  ( $\lambda=10,6$  мкм). Этим методом уверенно разрешена структура перехода  $Q(38)$  ( $\lambda=10,6$  мкм) линий  $F_1^0+E_0+F_2^0$  полосы  $0 \rightarrow v_3$  молекулы  $SF_6$  внутри доплеровской линии поглощения.

Резюме

оттиск 10930 4981

$SF_6$

$UF_6$

7. 11. 11.

(+)

7 Д88. Выражения постоянных центробежного ис-  
каждения гексафторидов через частоты гармонических  
колебаний. Определение некоторых кубических постоян-  
ных ангармоничности. Expression des constantes de di-  
storsion centrifuge des hexafluorures en fonction des  
fréquences harmoniques. Détermination de quelques con-  
stantes cubiques du potentiel. Berger H., Abou-  
m a j d A. «J. phys. Lett. (France), 1981, 42, № 3,  
55—57 (франц.; рез. англ.)

Приведены выражения квартичных центробежных  
постоянных ( $D_s$ ,  $D_t$ ) и а-постоянных колебательно-вра-  
щательного взаимодействия через частоты колебаний и  
основные молекулярные параметры для октаэдрич.  
молекул типа  $XY_6(O_h)$ . Для молекул  $SF_6$  и  $UF_6$  вы-  
числены значения  $D_s$  и  $D_t$ : результаты для  $SF_6$  согла-  
суются с эксперим. данными. По измеренным значе-  
ниям а-постоянных оценены значения четырех кубич.  
постоянных ангармоничности для  $SF_6$ . M. P. Алиев

90.1981.W7

$SF_6$

$UF_6$

(M, n)

(+)

отмечек 10950 1981

13 Б237. Выражения для постоянных центробежного искажения гексафторидов в зависимости от частоты гармонических колебаний. Определение некоторых кубических силовых постоянных. Berger H., Abou-majd A. Expression des constantes de distorsion centrifuge des hexafluorures en fonction des fréquences harmoniques. Détermination de quelques constantes cubiques du potentiel. «J. phys. Lett.» (France), 1981, 42, № 3, 55—57 (франц.)

При помощи эффективного гамильтонiana для многоатомных молекул в представлении Амата — Голдсмита — Нильсена с учетом упрощений, введенных Хехтом («J. Mol. Spectrosc.», 1960, 5, 355, 389), установлена аналитич. связь между вращательными и силовыми постоянными для молекул  $XY_6$  типа сферич. волчка. Получены функциональные выражения для тензорной  $D_t$  и скалярной  $D_s$  постоянных центробежного искажения в зависимости от вращательной постоянной  $B_e$  и частот  $\omega_1$ ,  $\omega_2$  и  $\omega_5$  гармонич. колебаний. Полученные ф-лы

2: 1981. N 13

применены для расчета центробежных постоянных молекул  $SF_6$  (I) и  $^{238}UF_6$  (II). Для I и II, соотв., использованы значения частот в  $\text{см}^{-1}$   $\omega_1=787(1)$  и  $672(6)$ ,  $\omega_2=654(2)$  и  $540(6)$ ,  $\omega_5=529(7)$  и  $200(6)$  и получены значения центробежных постоянных  $D_t=-1,86(16)\cdot 10^{-10}$  и  $-7,3(6)\cdot 10^{-10} \text{ см}^{-1}$ ,  $D_s=6,36(7)\cdot 10^{-9}$  и  $2,8(1)\cdot 10^{-9} \text{ см}^{-1}$ . В случае  $D_t$  для I получено очень хорошее согласие с эксперим. значением, определенным из спектра насыщения поглощения полосы  $v_3$ ,  $D_t=-1,90(23)\cdot 10^{-10} \text{ см}^{-1}$ . В случае  $D_s$  для I значение согласуется с данными спектроскопии КР. С учетом существующих эксперим. данных для I вычислены 4

из 22 кубич. постоянных потенциальной функции в  $\text{см}^{-1}$   $C_{111}=-14$ ,  $C_{122}=-32$ ,  $C_{133}=-56$  и  $C_{144}=-3$ . С. М.

SF<sub>6</sub>

UF<sub>6</sub>

no cm.

zenopos. faesme.

Lommuck 10930 | 1981

94: 92747r Expression for centrifugal distortion constants of hexafluorides as a function of harmonic frequencies. Determination of some cubic potential constants. Berger, H.; Aboumajd, A. (Lab. Spectron. Mol., Fac. Sci., 21100 Dijon, Fr.). *J. Phys., Lett. (Orsay, Fr.)* 1981, 42(3), 55-7 (Fr). For spherical XY<sub>6</sub> mols. the expressions for the centrifugal distortion consts. are given as a function of harmonic frequencies; application is made to SF<sub>6</sub> and UF<sub>6</sub>. Four cubic consts. of SF<sub>6</sub> were calcd. from the rotational consts.

(+)



C.A. 108:24012

1981

9 Д79. Индуцированное столкновениями поглощение  
в высокосимметричной молекуле SF<sub>6</sub>. Collision-induced  
absorption in a highly symmetric molecule—SF<sub>6</sub>.  
Birnbaum George, Sutter Herbert. «Mol.  
Phys.», 1981, 42, № 1, 21—32 (англ.)

Выполнен расчет индуцированного столкновениями спектра поглощения молекулы SF<sub>6</sub> в плотном газе и жидкости в области 10—180 см<sup>-1</sup> с использованием различных потенциалов межмолекулярного взаимодействия. Результаты расчетов сопоставлены с экспериментальными данными и показано, что наилучшее согласие с экспериментом получается при условии, что индуцированный дипольный момент возникает за счет гексадекапольного момента (дальнодействующее взаимодействие) и сильного анизотропного перекрывания (ближний порядок). Дипольный момент перекрывания сильно зависит от межмолекулярного расстояния и описывается потенциалом Леннард-Джонса (7—28), который хорошо описывает также другие равновесные свойства газа SF<sub>6</sub>. Такой момент особенно важен для описания ВЧ-крыла полосы поглощения. Проведено

Спектр  
исследован

ф. 1981 № 9

сравнение спектра индуцированного поглощения с де-  
поляризованным рассеянием и оценена величина гек-  
садекапольного момента.

М. Р. Алиев

мю.  
апр.

1981

SF<sub>6</sub>

18 Б246. Индуцированное столкновениями поглощение в высокосимметричных молекулах — SF<sub>6</sub>. Вігнбаум Георг, Суттер Негберт. Collision-induced absorption in a highly symmetric molecule — SF<sub>6</sub>. «Mol. Phys.», 1981, 42, № 1, 21—32 (англ.)

Дан анализ ИК-спектров поглощения газообразного ( $T=298\text{ K}$ ) и жидкого (273 и 233 K) гексафторида серы в области 12—250  $\text{см}^{-1}$ . В спектре SF<sub>6</sub>(газ) наблюдались полосы 94 и 177  $\text{см}^{-1}$ , интенсивность к-рых линейно зависела от плотности вещества ( $\rho$ ), и широкая полоса в области 12—80  $\text{см}^{-1}$ , где поглощение менялось как  $\rho^2$ . Полосы 94 и 177  $\text{см}^{-1}$  отнесены к колебаниям  $v_4-v_5$  и  $v_3-v_1$  (с подкладывающейся полосой  $v_5-v_6$ ). В спектре (жидк.) наблюдались полосы 90 и 150  $\text{см}^{-1}$  (отнесение аналогично спектру в газовой фазе) и менее интенсивная широкая полоса в области 12—180  $\text{см}^{-1}$ , связанная с поглощением индуцированным столкновениями. После разложения суммарного контура поглощения и исключения поглощения, связанного с полосами  $v_4-v_5$  и  $v_3-v_4$  вычислены спектральные инварианты  $\alpha_1$  и  $\gamma_1$  полосы индуцированной столкновениями. Появление этой широкой полосы объясняется двумя причинами —

Х 1981/118

гексадекапольным взаимодействием молекул и анизотропным перекрыванием (теория рассмотрена в приложении). Рассчитаны вклады обоих факторов в величину  $\alpha_1$  при  $T$ -рах 198, 273 и 233 К. Найдено, что дипольный момент  $SF_6$  индуцированный перекрыванием быстро меняется с межмолек. расстоянием (потенциал Леннарда—Джонса 7—28). Из спектра  $SF_6$  (газ) вычислены гексадекапольная энергия и гексадекапольный момент  $SF_6$ .

В. М. Ковба

бзov.  
чиг?

1981

*SF<sub>6</sub>**H.K. Cnelciy*

✓ 94: 200009n Collision-induced absorption in a highly symmetric molecule sulfur hexafluoride. Birnbaum, George; Sutter, Herbert (Natl. Bur. Stand., Washington, DC 20234 USA). *Mol. Phys.* 1981, 42(1), 21-32 (Eng). The far-IR absorption spectra of gaseous (298 K) and liq. (273, 233 K) SF<sub>6</sub> obtained by A. Rosenberg and B. (1970) were analyzed in terms of recent theor. developments. Anal. of the band shapes indicates that hexadecapole-induced absorption accounts for only the low-frequency portion of the collision-induced band. The major part of the absorption is attributed to a much shorter range mechanism such as anisotropic overlap. The resulting induced dipole, which varies rapidly with intermol. sepn. and is consistent with a (7-28) interaction energy, gives a good description of the liq. spectra. Collision-induced absorption and depolarized light scattering by SF<sub>6</sub> were compared. Decompn. of the spectrum yielded a hexadecapolar energy,  $\Phi^2/\sigma^9 = 2.7 \times 10^{-24}$  J and a hexadecapole moment,  $\Phi = 18 \times 10^{-60}$  Cm<sup>4</sup> for  $\sigma = 0.468$  nm ( $\sigma$  = collision diam.).

C.A. 1981, 94, N24

*SF<sub>6</sub>*

Омск 13.10.2/1981

9 Б210. ИК-спектр SF<sub>6</sub> в Ar-матрице, измеренный с помощью диодного лазера. Bristol Neil J., Poliakoff Martyn, Davies Paul B., Hamilton Peter A. IR diode laser spectrum of SF<sub>6</sub> isolated in an Ar matrix. «Chem. Phys. Lett.», 1981, 84, № 3, 462—465 (англ.)

Спектр поглощения полосы ν<sub>3</sub> молекулы SF<sub>6</sub> в Ar-матрице исследован на многомодовом диодном лазерном спектрометре с разрешением 10<sup>-3</sup> см<sup>-1</sup>. В измеренном спектре не обнаружено доп. разрешенных деталей по сравнению с фурье-спектром SF<sub>6</sub> (Swanson B. I., Jones L. H., «J. Chem. Phys.», 1981, 74, 3205). Измерены волновые числа центров и ширины 7 полос.

В. М. Михайлов

X. 1982, 19, № 9.

SF<sub>6</sub>

Omnuck 13102 1981

' 96: 60197m IR diode laser spectrum of sulfur hexafluoride isolated in an argon matrix. Bristow, Neil J.; Poliakoff, Martyn; Davies, Paul B.; Hamilton, Peter A. (Dep. Chem., Univ. Nottingham, Nottingham, UK NG7 2RD). *Chem. Phys. Lett.* 1981, 84(3), 462-5 (Eng). The IR diode laser spectra, resoln.  $10^{-3}$  cm<sup>-1</sup>, of the  $\nu_3$  mode of <sup>32</sup>SF<sub>6</sub> in Ar matrixes confirm the findings of earlier Fourier-transform IR studies, show that there is no further resolvable detail in this region of the spectrum, and provide the 1st direct measurements of the linewidth.

LL creemp  
f  
Mampause

c.A.1982, 96, N8

SF<sub>6</sub>

1981

Bremer Y., et al

V<sub>i</sub>

J. chim. phys. et phys.-chim.  
biol., 1981, 78, n° 2119-125

● (cet H2) III

SF<sub>6</sub>

1981

196: 151785t Sub-Doppler optoacoustic spectroscopy. Buchwald, M. I.; Sorem, Michael S. (Los Alamos Natl. Lab., Univ. California, Los Alamos, NM 87545 USA). Proc. SPIE-Int. Soc. Opt. Eng. 1981, 288(Proc. Los Alamos Conf. Opt.), 308-9 (Eng). Sub-Doppler resoln. at 10 μm in SF<sub>6</sub> was achieved using the optoacoustic effect. A single-frequency continuous wave CO<sub>2</sub> laser was used and audio frequency intermodulation was measured using lock-in detection. The 10P16 line was used to resolve a portion of the SF<sub>6</sub> ν<sub>3</sub> Q-branch.

Optoacoustic  
Sorem)

c.a. 1982, 96, n 18

SF<sub>6</sub>

1981

З Б264. Лазерное возбуждение SF<sub>6</sub>. Спектроскопия и эффекты распространения когерентных импульсов. Laser excitation of SF<sub>6</sub>: spectroscopy and coherent pulse propagation effects. Cantrell C. D., Makarov A. A., Louisell W. H. «Photoselect. Chem. Pt 1». New York e. a., 1981, 583—624 (англ.)

Обзор, посвященный теор. исследованиям особенностей распространения когерентных лазерных импульсов в газообразной SF<sub>6</sub> (I). Показано, что при прохождении мощных лазерных импульсов через I возникают «боковые полосы», частоты к-рых определяются возбуждаемыми лазерным пучком состояниями. Обсуждается вопрос о влиянии «боковых полос» на многофотонное возбуждение I и особенности лазерной спектроскопии сверхвысокого разрешения в области полосы ν<sub>3</sub> I. Библ. 92.

А. В. Бобров

X, 1983, 19, N 3

SF<sub>6</sub>

1981

№ 2 Д1559. Лазерное возбуждение SF<sub>6</sub>: спектроскопия и эффекты когерентного распространения. Laser excitation of SF<sub>6</sub>: spectroscopy and coherent pulse propagation effects. Cantrell C. D., Makagov A. A., Louisell W. H. «Photoselect. Chem. Pt 1». New York e a., 1981, 583—624 (англ.)

М.Н., №;

Теоретически рассмотрены эффекты когер. распространения мощного импульсного излучения, квазирезонансного колебательно-вращательным переходам многоатомных молекул (SF<sub>6</sub>). Проведено совместное решение ур-ний Максвелла для поля излучения (в приближении медленно меняющихся амплитуд и оптически тонких сред) и ур-ний для матрицы плотности среды с учетом вырождения уровней. Показано, что взаимодействие волны накачки и волн, индуцируемых макроскопич. поляризацией среды, приводит к существенному обогащению спектра проходящего излучения, что естественным образом объясняет возможность заселения ряда колебательно-вращательных подуровней мо-

Р. 1983, 18, № 2

лекулы. Подробно обсуждены возможные отличия ко-  
гер. эффектов от явлений, связанных с внутри- и меж-  
молекулярными релаксациями. Проведен обзор ряда  
теоретич. и эксперим. работ по исследованию полосы  
 $\nu_3$  молекулы  $SF_6$ , приведен ряд ее спектроскопич. ха-  
рактеристик. Библ. 92.

Х. В.

спр.  
наче

$SF_6^-$

ОГИБДДЕСК 124'43 1981

5 Б330. Многофотонно индуцированное инфракрасным излучением отщепление электрона от  $SF_6^-$ .

Drzaic Paul S., Вгантан John I. Infrared multiphoton induced electron detachment from  $SF_6^-$ . «Chem. Phys. Lett.», 1981, 83, № 3, 508—511. (англ.)

Исследован процесс отщепления электрона от газа  $SF_6^-$  (I) под действием мощного ИК-излучения импульсного CO<sub>2</sub>-лазера (длительность импульса — 150 нс, энергия импульса ~11 Дж, использовали линию  $P(24)$  с частотой 940,6 cm<sup>-1</sup>). I получали путем облучения SF<sub>6</sub> пучком электронов в кювете для изучения ионного циклотронного резонанса. ИК-облучение производили с регулируемой (~50—400 нс) задержкой по отношению к воздействию пучка электронов. Исследование зависимости конц-ии I от времени задержки при различных давлениях (10<sup>-5</sup>—10<sup>-7</sup> мм) показало, что отщепление электрона происходит в отсутствие столкновений только от колебательно-возбужденного I, процесс носит многофотонный характер. Отщепление электрона от I и его диссоциация в основном состоянии в отличие от нейтрального SF<sub>6</sub> не происходит.

А. В. Бобров

Процесс  
отщепления  
электрона

Х. 1982, 19, N5

SF<sub>6</sub>

1981

8 Л1045. Изучение методом вынужденного комбинационного рассеяния молекул SF<sub>6</sub>, возбужденных излучением CO<sub>2</sub>-лазера. Stimulated Raman Studies of CO<sub>2</sub>-laser-excited SF<sub>6</sub>. Eshergick P., Grimley A. J., Owyong A. «Laser Spectrosc. 5. Proc. 5 Int. Conf., Jasper, 29 June—3 July, 1981». Berlin e. a., 1981, 229—232 (англ.)

Исследованы спектры комб. усиления молекул SF<sub>6</sub>, возбуждаемых CO<sub>2</sub>-лазером в области полосы  $\nu_1$  в реактивной газовой струе при т-ре 80 К путем зондирования пробным пучком излучения CO<sub>2</sub>-лазера в области полосы  $\nu_1$  774 см<sup>-1</sup>. Показано, что распределение интенсивности в компонентах вращательной структуры полосы комб. усиления  $\nu_1$  может быть использовано для оценки перераспределения населенности по набору состояний молекул SF<sub>6</sub>. Обсуждены вариации интен-

спектр

cf. 1984, 18, N 8

сивности полос комб. усиления в области частот колебания  $v_1$  в зависимости от меры истощения излучения накачки. Отмечено, что метод комб. усиления может быть использован для анализа изменения интенсивности полос «горячих» переходов  $v_1 + v_3 \leftarrow v_3$ . Сделан вывод о возможности использования метода комб. усиления для исследования нестационарных процессов в молекулах в газовой фазе. Библ. 11.

З. В. Н.

СК  
тре

SF<sub>6</sub>

1981

laser excited  
molecules.

196: 43339s Stimulated Raman studies of carbon dioxide-laser-excited sulfur hexafluoride. Esherick, P.; Grimley, A. J.; Owyong, A. (Sandia Natl. Lab., Albuquerque, NM 87185 USA). *Springer Ser. Opt. Sci.* 1981, 30(Laser Spectrosc.), 229-32 (Eng). Preliminary results are reported on the use of stimulated spectroscopy (SRS) for high-resoln. studies of transient species; specifically, SF<sub>6</sub> mols. excited by a CO<sub>2</sub> laser were used as a prototype system for examg. these capabilities. The Raman spectrum of dynamically cooled SF<sub>6</sub> is shown in the region of its  $\nu_1$  fundamental near 774 cm<sup>-1</sup>. The very regular  $J(J+1)$  functional form of the spectrum makes this Q-branch spectrum ideal for monitoring the redistribution of population among the rotational states. The selective depletion is shown of the  $\nu_1$  fundamental when pumped by the  $P(14)$  line of the grating tuned CO<sub>2</sub> TEA laser. Also investigated were the effects of using the  $P(18)$  line of CO<sub>2</sub> to pump the  $\nu_3$  band in the vicinity of  $P(33)$ . In addn. to detecting depletion of the ground state populations, SRS techniques can also yield both spectroscopic and dynamio information on the excited species.

c. A. 1982, 96, N6

*SF<sub>6</sub>*

*1981*

9 Б256. Начало молекулярного квазиконтинуума в SF<sub>6</sub>. Galbraith H. W., Ackeghalt J. R. Onset of the molecular quasicontinuum in SF<sub>6</sub>. «Chem. Phys. Lett.», 1981, 84, № 3, 458—461 (англ.)

Развита новая модель колебательной V—V-релаксации в молекуле SF<sub>6</sub>, основанная на учете всех 1- и 2-го порядков операторов резонансной V—V-связи в разложении молек. гамильтониана. Учтена октаэдрич. симметрия колебательного гамильтониана молекулы.

Б. М. Михайлов

*спектр*

X. 1982, 19, N 9.

оттиск 11073 1981

SF<sub>6</sub>

14 Б136. В вызванная лазерным излучением предиссоциация кластеров SF<sub>6</sub>. Geraedts J., Setiadi S., Stolte S., Reuss J. Laser induced predissociation of SF<sub>6</sub> clusters. «Chem. Phys. Lett.», 1981, 78, № 2, 277—282 (англ.)

На установке, состоящей из формирователя молекул пучка, высокоэффективного ионизатора молекул (электронным ударом), масс-анализатора и лазера на CO<sub>2</sub>, исследовано взаимодействие лазерного излучения с кластерами (SF<sub>6</sub>)<sub>n</sub> ( $n=0, 1, 2, \dots$ ). Измерены зависимости ионных токов SF<sub>5</sub><sup>+</sup> и SF<sub>5</sub><sup>+</sup>·(SF<sub>6</sub>)<sub>2</sub> в масс-анализаторе от частоты лазерного излучения в диапазоне  $\nu=910-980$  см<sup>-1</sup> для различных значений давл. и т-ры перед соплом формирователя молек. пучка при мощностях лазерного излучения в точке пересечения с пучком (45 см от сопла) 35 Вт. Измерения выполнены для пучка из чистого SF<sub>6</sub>, а также для смесей SF<sub>6</sub> с He и Ar. В полученных спектрах для SF<sub>5</sub><sup>+</sup> и SF<sub>5</sub><sup>+</sup>·

предиссоц.

С.Б.Л.

20.10.81.114

$\cdot \text{SF}_6$  обнаружены два хорошо разрешенных пика, отстоящих друг от друга на  $\Delta v \approx 20 \text{ см}^{-1}$ , а также более сложная слабая структура. Пики приписаны соотв. симм. и антисим. комбинациям локализованного вырожденного колебания  $v_3$  димера. В спектрах, измеренных по кластерным ионам, обнаружен дополнительный узкий пик, сдвинутый на  $\approx 10 \text{ см}^{-1}$  относительно основных пиков в сторону больших частот.

Е. Николаев

13 Б238. Колебательная лестница  $v_2$  в  $SF_6$ . Patterson C. W., Krohn B. J., Pine A. S.  $\nu_3$  vibrational ladder of  $SF_6$ . «Opt. Lett.», 1981, 6, № 1, 39—41 (англ.)

Измерен в области частот 2826—2842  $\text{см}^{-1}$  с разрешением, близким к допплеровскому, 0,002  $\text{см}^{-1}$  спектр 3  $\nu_3$  полосы газообразного  $SF_6$  при давл. около 1 мм и т-ре 160° К. Анализ спектра выполнен с использованием гамильтониана в представлении Хекта (K. Hecht, «J. Mol. Spectrosc.», 1960, 5, 355) с учетом влияния ангармонизма. На основе эксперим. данных для 700 линий 10 ветвей 3  $\nu_3$  полосы определены три константы ангармонизма  $X_{33} = -1,7426 \text{ см}^{-1}$ ,  $T_{33} = -0,24635 \text{ см}^{-1}$  и  $G_{33} = 0,9188 \text{ см}^{-1}$ . Полученные значения констант согласуются в ряде случаев с величинами, ранее оцененными из анализа силового поля молекулы, измеренными методом двойного резонанса и методами спектроскопии низкого и высокого разрешения. Однако некоторые ранее сообщавшиеся оценки констант ангармонизма являются неверными. Значения констант  $X_{33}$ ,  $T_{33}$  и  $G_{33}$  использованы для вычисления уровней колебательной энергии  $p\nu_3$  состояний  $SF_6$  со значениями  $p$  вплоть до 8. Полученные результаты позволяют предсказать вероятные каналы многофотонного возбуждения  $\nu_3$  колебательной моды  $SF_6$  при облучении  $\text{CO}_2$ -лазером.

С. Н. Мурзин

Х. 1981. № 3

документ №1237 1981

SF<sub>6</sub>

9 Д497. Спектроскопия двойного резонанса с высоким разрешением перехода  $2\nu_3 \leftarrow \nu_3$  в SF<sub>6</sub>. High-resolution double-resonance spectroscopy of  $2\nu_3 \leftarrow \nu_3$  transitions in SF<sub>6</sub>. Patterson Chris W., McDowell Robin S., Moulton Peter F., Mooradian A. «Opt. Lett.», 1981, 6, № 2, 93—95 (англ.)

Методом двойного ИК—ИК-резонанса с использованием CO<sub>2</sub>-лазера с пиковой интенсивностью  $\leq 1$  кВт/см<sup>2</sup> для накачки и перестраиваемого диодного лазера ( $\leq 5$  мВт/см<sup>2</sup>) в качестве сигнального исследована вращательная структура «горячей» полосы  $2\nu_3 - \nu_3$  молекулы SF<sub>6</sub>. Идентифицированы линии более 45 линий «октаэдрической» тонкой структуры однофононных колебательно-вращательных переходов с  $J \leq 67$  между  $\nu_3$  ( $l=1$ ) и  $2\nu_3$  ( $l=0; 2$ ). Ряд линий между 945,41 и 946,03 см<sup>-1</sup> предположительно отнесен двухфотонным переходам в состояние  $2\nu_3$  ( $E_g$ ). М. Р. Алиев

изобретение  
спиритуозной

φ. 1981 N9

1981

SF<sub>6</sub>

95: 70088v Theory of hyperfine and superfine levels in symmetric polyatomic molecules. II. Elementary cases in octahedral hexafluoride molecules. Harter, William G. (Sch. Phys., Georgia Inst. Technol., Atlanta, GA 30332 USA). *Phys. Rev. A* 1981, 24(1), 192-263 (Eng). A simple approx. theory was developed for high-*J* spin-rotational levels and very-high-resoln. spectra of octahedral XY<sub>6</sub> (X spin-Zero, Y spin-1/2) mols. The structure and theory of SF<sub>6</sub> spectra is reintroduced, and the properties of rotational energy level and spectral clusters are explained in terms of angular-momentum uncertainty relations and axis tunneling. An analogy between axis tunneling and nuclear-spin tunneling was used to provide a simple quasiparticle picture of hyperfine effects in strong (case-2) rotational clusters. Analogous types of clusters within clusters are discussed using the theor. model. The possibility emerges for new and very sensitive type of spectra which is called superhyperfine structure. This structure has some remarkable similarities with NMR

Chekmp

CA 1981, 95, 18

spectra, and it might be an even more revealing indicator of internal mol. dynamics than NMR. Model Hamiltonians are represented in all elementary types of cluster bases and some examples are solved using tableau techniques. Level correlations between case-1 and case-2 clusters are sketched. Nomograms for visualizing laser-satn.-absorption spectra are introduced, and examples of case-1 to case-1 and case-2 to case-1 transitions are given.

1981

SF<sub>6</sub>

94: 183108z Doppler-free two-photon spectroscopy of the  $2\nu_3$  band of sulfur hexafluoride. Herlemont, F.; Lyszyk, M.; Lemaire, J. (Lab. Spectrosc. Hertzienne, Univ. Lille I, F-59655 Villeneuve D'Ascq, Fr.). *Appl. Phys.* 1981, 24(4), 369-74 (Eng). High-resoln. spectroscopy of the  $2\nu_3$  band of SF<sub>6</sub> is reported by means of Doppler-free 2-photon transitions. Parts of spectra were measured with an accuracy of 10<sup>-9</sup>. This technique applied to SF<sub>6</sub> should lead to an assignment of the spectra involved.

C.A. 1981, 94, N22

1981

*SF<sub>6</sub>*

19. Б299. Двухфотонная спектроскопия без допплеровского уширения полосы  $2v_3$  молекулы SF<sub>6</sub>. Негелмонт F., Лисзук M., Лемаиге J. Doppler-free two-photon spectroscopy of the  $2v_3$  band of SF<sub>6</sub>. «Appl. Phys.», 1981, 24, № 4, 369—374 (англ.)

Методом двухфотонной спектроскопии без допплеровского уширения исследована часть ИК-полосы  $2v_3$  молекулы SF<sub>6</sub>. Эксперимент выполнен с помощью волноводного CO<sub>2</sub> лазера с внутрирезонаторной ячейкой. Спектр измерен с относительным разрешением  $10^{-9}$ . Исследования выполнены только на линиях  $P$ -ветви 10 мкм полосы лазера. Приведена часть спектра полученного с 10 P (16) линией генерации лазера при давлении SF<sub>6</sub> 10 мТорр. Отмечено, что в эксперименте реализуется тот случай двухфотонной спектроскопии обертонной полосы O— $2v_i$  с двумя фотонами одной частоты, когда уровень  $v_i$  находится в квазирезонансе с промежуточным, виртуальным уровнем. Это обстоятельство предпочтительно с точки зрения увеличения интенсивности двухфотонного поглощения. Измерены получастоты двухфотонных переходов наблюденных с 10 P (16) линией

*Ч,н.**X. 1981, N19*

лазера, даны их интенсивности через обычные условные обозначения (сильная, слабая и т. д.). Коэф. поглощения линий  $SF_6$ , близких к 10 Р (14) линии лазера, измерен в зависимости от интенсивности лазерного излучения. В логарифмич. масштабе эта зависимость выражается линейной функцией.

В. М. Михайлов

(7'

*SF<sub>6</sub>*

*1981*

2 Д617. Ферми-резонанс  $\nu_3/\nu_2+\nu_6$  в SF<sub>6</sub> и его отношение к многофотонному возбуждению. The  $\nu_3/\nu_2+\nu_6$  Fermi resonance in SF<sub>6</sub> and its relevance to multiphoton excitation. Hodgkinson D. P., Robiette A. G. «Chem. Phys. Lett.», 1981, 82, № 2, 193—195 (англ.)

Предложена модель многофотонного возбуждения молекулы SF<sub>6</sub> излучением CO<sub>2</sub>-лазера, описывающая процесс поглощения первых  $\sim 10$  квантов. Согласно этой модели происходит эффективная резонансная передача возбуждения в молекуле SF<sub>6</sub> от колебания  $\nu_3$  в колебания  $\nu_2$  и  $\nu_6$  в процессе типа  $n\nu_3 \rightarrow (n-1)\nu_3 + (\nu_2 + \nu_6)$ . Процесс исследован количественно и показано, что максим. эффективность передачи возбуждения достигается при поглощении на одно колебание  $\sim 5$  квантов ИК-излучения.

М. Ю. Н.

*Ф. 1982, 18, № .*

*SF<sub>6</sub>*

Сентябрь 1984 1981

1 Д363. Многофотонное возбуждение колебательно-вращательных состояний в моде  $v_3$  молекулы SF<sub>6</sub>. Multiphoton excitation of vibration—rotation states in the  $v_3$  mode of SF<sub>6</sub>. Hodgkinson D. P., Taylor A. J., Robiette A. G. «J. Phys. B: Atom. and Mol. Phys.», 1981, 14, № 11, 1803—1814 (англ.)

$v_3$

Теоретически исследуется многофотонное возбуждение колебательно-вращательных состояний моды  $v_3$  молекулы SF<sub>6</sub> на начальном этапе возбуждения, когда уровни энергии дискретны. Делается попытка объяснения высокой эффективности поглощения нескольких фотонов, несмотря на то, что ангармонизм потенциала взаимодействия приводит к расстройке резонанса. Предлагается модель, в которой дополнительно к сферическим и октаэдрически-симметричным ангармонич. расщеплениям трехкратно-вырожденной  $v_3$ -моды учитывается колебательно-вращательное (кориолисово) взаимодействие. В колебательно-вращательном базисе строится матрица гамильтониана, учитывающего кроме

9. 1982, 18, № 1

указанных выше взаимодействий еще и взаимодействие с лазерным излучением. Симметрия системы позволяет значительно редуцировать матрицу. Получены уровни энергии и заселенности колебательно-вращательных уровней. Найдено, что с учетом указанных выше взаимодействий получается вполне реалистич. модель многофотонной ионизации, в частности предсказывается заметная вероятность возбуждения в колебательное состояние  $v=3$  в широком интервале частот лазера.

А. А. Зембеков

*SF<sub>6</sub>*

*1981*

8 Б82. Анализ корреляции данных в применении к электронографии. Holder C. H., Gregory D., Fink M. Data correlation analysis applied to electron diffraction. «J. Chem. Phys.», 1981, 75, № 11, 5318—5322 (англ.)

Предложен метод учета корреляции эксп. данных в электронографии при использовании в кач-ве системы регистрации интенсивности рассеяния сцинтилляц. счетчиков. Метод иллюстрируется на примере обработки 8 серий данных для молекулы SF<sub>6</sub>, полученных при энергии электронов 54 кэВ. \_\_\_\_\_ В. Спиридонов;

*геометр,  
структура*

*X. 1982, 19, № 8*

$SF_6$

4.k. cresip  
preyopreeg.

Hudgers J. W.,  
et al.

1981

J. Chem. Phys., 1981,  
74, N 2, 1510-1511.

(ccs.  $C_2F_5Cl$ ;  $\bar{I}I$ ).

SF<sub>6</sub>

1981

Isnard Patrick.

These doct.- sci. Univ. Paris  
- sud, 1981, 194 p., ill.

P;

(cer. CH<sub>4</sub>; III)

SF<sub>6</sub>

1981

7 Б1507. Кратковременное распределение населенностей в газе SF<sub>6</sub>, возбуждаемом лазером на CO<sub>2</sub>.  
Когел G., Levin I. Transient population distribution of SF<sub>6</sub> gas excited by a CO<sub>2</sub> laser. «J. Appl. Phys.», 1981, 52, № 8, 4915—4920 (англ.)

Представлен метод, позволяющий вычислять распределение населенностей из наблюдаемой флуоресценции или спектра поглощения. Колебательное распределение может быть рассчитано для любой молекулы, если известны ее спектр и спектроскопич. константы. Возможно также рассчитать спектр, если известна функция распределения населенностей (ФРН). Рассчитан спектр излучения SF<sub>6</sub> в области ν<sub>3</sub>, включая как тепловое, так и нетепловое распределения молекул. Сначала выводится выражение для спектра излучения возбужденного газа, использующее его ФРН, затем это выражение используется для получения распределения населенностей из эксперим. данных по флуоресценции. Вычисления проведены с помощью ЭВМ. Для проверки предвари-

спектр

X. 1982, 19, N 7.

тельно проведены два модельных расчета. Приведены ФРН при т-рах 300 и 480 К при возбуждении лазером до уровня 1,33 фотона на молекулу. ФРН имеет два максимума при колебательных энергиях вблизи 1000 и  $4000 \text{ см}^{-1}$ , т. е. образуются два ансамбля молекул: возбужденные (горячие) и невозбужденные (холодные). Возбуждаются 37,7% всех молекул, при этом они поглощают 3,53 фотона на молекулу. Средняя энергия горячих молекул  $3582,2 \text{ см}^{-1}$ , и они находятся в состояниях  $3v_3+2v_6$ ,  $2v_3+5v_6$ ,  $2v_3+3v_5$  и т. д.

Л. И. Лившин

(нос.  
ом.)

$S^1F_6$

Lommel 18060

1981

Zuijks G., et al.

Pauwels.  
expt,  
 $\nu_i$ ,  
M.N.

Chem. Phys., 1981, 62,  
N1-2, 217-229.

SF<sub>6</sub>

1981

18 Б212. Силовые постоянные и постоянные центробежного искажения молекул некоторых октаэдрических гексафторидов. Potential constants and centrifugal distortion constants of some octahedral hexa fluoride molecules. Manivannan G., Sengodan V., Srinivasacharya K. G. «Indian J. Phys.», 1981, B55, № 2, 171—174 (англ.)

Вычислены силовые постоянные и постоянные центробежного искажения  $D_J$ ,  $D_K$ ,  $D_{JK}$ ,  $R_5$ ,  $R_6$  и  $\delta_J$  для SF<sub>6</sub>, GeF<sub>6</sub>, WF<sub>6</sub>, IrF<sub>6</sub>, U<sup>+</sup>F<sub>6</sub>, NpF<sub>6</sub>, PuF<sub>6</sub> на основе лит. данных о колебательных частотах и структурных параметрах. Найдено, что  $D_J$  положительна для всех молекул.

В. М. Михайлов

(+) (X)



X. 1983, 19, N 8.

*SF<sub>6</sub>*

1981

196: 110442k Potential constants and centrifugal distortion constants of some octahedral hexafluoride molecules. Manivannan, G.; Sengodan, V.; Srinivasacharya, K. G. (Dep. Phys., Gov. Thirumagal Mill's Coll., Gudiyattam, 632 604 India). *Indian J. Phys.*, [Part] B 1981, 55B(2), 171-4 (Eng). The kinetic consts. method outlined by P. Thirugnanasambandham (1964), based on the E. B. Wilson, Jr., et al. (1955) group theory is used to evaluate the force consts. for SF<sub>6</sub>, SeF<sub>6</sub>, WF<sub>6</sub>, IrF<sub>6</sub>, UF<sub>6</sub>, NpF<sub>6</sub>, and PuF<sub>6</sub>, by using the exptl. obsd. vibrational frequency data. These consts. are used to calc. the centrifugal distortion consts.

CLE. NO CM.,

NO CM. yet -

mpofeatn.

pacmex

(76)



C. A. 1982, 96, N14.

*SF<sub>6</sub>*

*1981*

12 Д589. Диодные лазерные спектры полосы  $\nu_5 + \nu_6$  SF<sub>6</sub>. Diode laser spectra of the  $\nu_5 + \nu_6$  band of SF<sub>6</sub>. Magchetti S. «Com. naz. energ. nucl.-Cent. Frascati [Pap.]», 1981, № 31 р., 10 pp., ill. (англ.)

*Ji, M-L;*  
С помощью перестраиваемого лазерного диода получены спектры ИК-поглощения газообразной SF<sub>6</sub> в области 870—930 см<sup>-1</sup>, захватывающей Q- и R-ветви полосы  $\nu_5 + \nu_6$ . Кориолисово расщепление линий ветви R не описывается принятыми аналитич. выражениями. Приведены константы полинома 2-й степени, описывающего частоты линий R-ветви в зависимости от числа J. Выполнено предварительное отнесение компонент J-мультиплетов. Структура ветви Q изученной полосы аналогична структуре ветви Q полосы  $\nu_4$ . М. В. Т.

*90. 1982, 18, N/2*

$SF_6$

[Omnuck 13779] 1981

96: 151687n Diode laser spectra of the  $\nu_5 + \nu_6$  band of sulfur hexafluoride. Marchetti, S. (Com. Naz. Energ. Nucl., Cent. Frascati, 00044 Rome, Italy). *J. Phys. B* 1981, 14(24), LS27-L829 (Eng). The weak IR absorption band  $\nu_5 + \nu_6$  of  $^{32}SF_6$  was investigated using a diode-laser spectrometer. The  $R(J)$  lines show a simple manifold for the Coriolis splitting which is different from the usual analytic model. Some spectral parameters were calcd.

Di;

C.A.1982, 96, n/18

Ottawa 13249 1981

SF<sub>6</sub>

95: 229890z Mean amplitudes of vibration of sulfur hexa-fluoride and intramolecular multiple scattering. Miller, Bruce R.; Fink, M. (Dep. Phys., Univ. Texas, Austin, TX 78712 USA). *J. Chem. Phys.* 1981, 75(11), 5326-8 (Eng). Precise gas-phase electron diffraction data for incident electron energies of 43 and 54 keV were collected for SF<sub>6</sub> by counting techniques with emphasis toward a detn. of root-mean-squared amplitudes of vibration and as a case study for the necessity of correcting the scattering cross sections for intramol. multiple scattering. At first, the amplitudes and shrinkage values disagree with predicted values based on spectroscopic results. However, after corrections for the multiple scattering had been applied, the values changed significantly. The new structural parameters obtained are  $r_a$  (S-F) = 1.5622(7) Å,  $l$ (S-F) = 0.0416(5) Å,  $r_a$ (F-F) (cis) = 2.2094(8) Å,  $l$ (F-F) = 0.0604(4) Å,  $r_a$ (F-F) (trans) = 3.1240(21) Å, and  $l$ (F-F) = 0.0551(17) Å. The shrinkage values for the F-F trans distance changed from -0.0003(2) to +0.0018(2) Å due to the corrections and are now in agreement with the spectroscopic values. The success of the modified Glauber approxn. warrants an introduction o this formalism into routine structure detn. in electron scattering.

COPYRIGHT  
NAPANET/H

C.A. 1981, 95, N26.

1981

405. ИК-спектр молекул  $SF_6$ , изолированных в  
 Аг-матрице, полученный с помощью диодного лазера.  
 IR diode laser spectrum of  $SF_6$  isolated in an Ag matrix.  
 Bristow Neil J., Poliakoff Martyn, Davies Paul B., Hamilton Peter A. «Chem. Phys. Lett.», 1981, 84, № 3, 462—465 (англ.)

Исследован ИК-спектр (935,8—938,8  $\text{см}^{-1}$ ) молекул  $SF_6$  (I), изолированных в Аг-матрице при т-ре 10 К, в световом пучке диодного лазера при спектральном разрешении  $10^{-3} \text{ см}^{-1}$  и диаметре светового пятна 1 см. Проведено сопоставление длинноволн. ИК-спектров матрично-изолированных молекул I и ИК-спектров I в пучке диодного лазера. Идентифицированы 7 компонент ИК-полосы колебания  $v_3$  I. Измерены полуширины ИК-полос I. Обсуждены изменения частот и полуширины ИК-полос I при нагревании матрицы до т-ры 32 К. Отмечено, что узкая спектральная ширина и высокая скорость регистрации спектра в пучке излучения диодного лазера позволяют сделать вывод об отсутствии тонкой структуры ИК-полос молекул I при их матричной изоляции.

И. В. А.

ИК спектр  
в матрице

Ф. 1982, 18, N5.

*SF<sub>6</sub>*

1981

5 Д533. Образование молекулярного квазиконтинуума в SF<sub>6</sub>. Onset of the molecular quasicontinuum in SF<sub>6</sub>. Galbraith H. W., Ackeghalt J. R. «Chem. Phys. Lett.», 1981, 84, № 3, 458—461 (англ.)

Предложена новая модель для описания процессов колебательной релаксации в высоковозбужденных колебательных состояниях молекулы SF<sub>6</sub>, основанная на представлении потенц. поверхности молекулы, определенной при исследовании обертона 3v<sub>3</sub>. При расчете квазиконтинуума колебательных состояний учтена октаэдрич. симметрия гамильтониана и роль операторов колебательных взаимодействий, определяющих возникновение континуума. Рассчитана плотность сильно взаимодействующих состояний. Показано, что квазиконтинуум возникает вблизи состояния 8v<sub>3</sub>. Число состояний, взаимодействующих с данным в области континуума ≈ 70, а их плотность ~1,2/cm<sup>-1</sup>. Результаты, полученные с этой моделью, сильно отличаются от предсказаний модели кватового обмена, что объясняется высокой симметрией молекулы и спецификой резонанса Ферми.

М. В. Т.

расчет  
квазикон-  
тинуума  
комбинац  
состояний

ф. 1982, 18, № 5.

*SF<sub>6</sub>*

1981

*(обзор)*

6 Д1296. Интерпретация измерений внутримолекулярного переноса энергии без столкновений и скорости дефазировки в молекулах SF<sub>6</sub>. Interpretation of measurements of collisionless intramolecular energy-transfer and dephasing rates for SF<sub>6</sub>. Judd O. P., Lyman John L. «Opt. Lett.», 1981, 6, № 12, 595—597 (англ.)

Дан обзор работ по измерению скорости внутримолекулярного переноса энергии в молекулах SF<sub>6</sub> (I) при отсутствии столкновений молекул в газовой фазе. Изложены теоретич. модели процесса размена энергии по колебательным состояниям молекул I. Отмечено, что времена энергетич. релаксаций в I меняются от 30 пс до 3 мкс в зависимости от типа колебательного возбуждения в I. Обсуждены процессы однородной и неоднородной дефазировки колебаний I. Установлены критерии когер. отклика молекул I. Показано, что флуктуации интенсивности и фазы световой волны возбуждающего излучения и конечная спектральная ширина излучения накачки существенно влияют на точность измерения релаксационных параметров в I при малых давлениях газа. Библ. 13.

И. В. А.

Q.1982, 18, N6.

*SF<sub>6</sub>*

1981

16 Б233. Диодные лазерные спектры полосы  $v_5 + v_6$  SF<sub>6</sub>. Marghetti S. Diode laser spectra of the  $v_5 + v_6$  band of SF<sub>6</sub>. «J. Phys. B: Atom. and Mol. Phys.», 1981, 14, № 24, L827—L829 (англ.)

С использованием системы диодных лазеров, излучающих в области 870—930 см<sup>-1</sup>, записаны Q и R ветви полосы поглощения  $v_5 + v_6$  молекулы SF<sub>6</sub>. Наблюдена типичная для ИК-полос молекул типа сферич. волчка мультиплетная структура R(J) линий, обусловленная кориолисовым расщеплением верхних уровней, к-рая однако не описывается приближенной моделью спектра данной Бруком и др. («J. Mol. Spectr.», 1979, 76, 301) для основных полос. Определены спектроскопич. параметры в приближенной ф-ле для частот линий R(J) ветви. Частично записанная Q ветвь оказалась подобной Q-ветви полосы  $v_4$ .

В. М. Михайлов

X. 1982, 19, N 16.

1981

SF<sub>6</sub>

8 Д498. Спектры SF<sub>6</sub> в области полосы ν<sub>5</sub>+ν<sub>6</sub>, полученные с диодным лазером. Diode laser spectra of the ν<sub>5</sub>+ν<sub>6</sub> band of SF<sub>6</sub>. Margheretti S. «J. Phys. B: Atom. and Mol. Phys.», 1981, 14, № 24, L827—L829 (англ.)

С помощью диодного лазера изучен участок спектра ИК-поглощения газообразной SF<sub>6</sub> 870—930 см<sup>-1</sup>, где расположены ветви Q и R полосы ν<sub>5</sub>+ν<sub>6</sub>. Приведены фрагменты спектров для линии R(29) и участка R(57) — R(60). С помощью эталона Фабри—Перо и калибровки по линиям аммиака измерены частоты колебательно-вращательных линий. Их величины описаны полиномиальной ф-лой, приведены параметры этой ф-лы. Структура R(J)-мультиплетов используется для определения способа учета кориолисовых взаимодействий в гамильтониане.

М. В. Т.

Ф. 1982, 18, N 8.

1981

*SF<sub>6</sub>*(v<sub>3</sub>)

6 Д439. Лестница колебательных уровней  $v_3$  SF<sub>6</sub>.  
 $v_3$  vibrational ladder of SF<sub>6</sub>. Patterson Chris W.,  
 Кгоhn Burton, Pine A. S. «Opt. Lett.», 1981, 6,  
 № 1, 39—41 (англ.)

Выполнен анализ колебательно-вращательной полосы 3v<sub>3</sub> газообразной SF<sub>6</sub>, зарегистрированной ранее с разрешением 0,002 см<sup>-1</sup>. Интерпретация колебательных компонентов полосы проведена с использованием декартона базиса колебательных координат. Отнесение 700 колебательно-вращательных линий и анализ их частот проведен с гамильтонианом Хэтча. Близость найденных колебательно-вращательных постоянных к соответствующим величинам основного тона говорит об отсутствии возмущений полосы 3v<sub>3</sub>. Найденные из анализа гармонич. частота и ангармонич. постоянные X<sub>33</sub>, T<sub>33</sub> и C<sub>33</sub> использованы для расчета возбужденных уровней колебания v<sub>3</sub> до энергий 8v<sub>3</sub>. Обсуждаются пути ступенчатого возбуждения молекулы SF<sub>6</sub> излучением лазера CO<sub>2</sub>. Библ. 26.

М. В. Т.

Ф. 1981 № 6

$\delta F_6$

ОМММСЕ 13249

1981

8 Б84. Средние амплитуды колебаний  $SF_6$  и внутри-молекулярное многократное рассеяние. Miller B. G. и се R., Fink M. Mean amplitudes of vibration of  $SF_6$  and intramolecular multiple scattering. «J. Chem. Phys.», 1981, 75, № 11, 5326—5328 (англ.)

Методом газовой электронографии с регистрацией интенсивности рассеяния на сцинтилляц. счетчиках (см. пред. реферат) при энергиях электронов 43 и 54 кэв изучена молекула  $SF_6$ . С учетом внутримолек. многократного рассеяния, к-ре оказывает заметное влияние на определяемые амплитуды колебаний и эффект сокращения, найдены след. значения межъядерных расстояний ( $r_a$ , Å) и амплитуд колебаний ( $l$ , Å):  $r(S-F) = 1,5622(7)$ ,  $l(S-F) = 0,0416(5)$ ,  $r(F-F)_{\text{дис}} = 2,2094(8)$ ,  $l(F-F)_{\text{дис}} = 0,064(4)$ ,  $r(F-F)_{\text{транс}} = 0,0551(17)$ .

В. Спиридонов

X. 1982, 19, № 8

*SF<sub>6</sub>*

1981

5 Д47. Средние амплитуды колебаний SF<sub>6</sub> и  
внутримолекулярное многократное рассеяние. Mean  
amplitudes of vibration of SF<sub>6</sub> and intramolecular mul-  
tiple scattering. Miller Bruce R., Fink M.  
«J. Chem. Phys.», 1981, 75, № 11, 5326—5328 (англ.)

Проведено электронографич. исследование структуры  
молекулы SF<sub>6</sub> в газовой фазе. С использованием раз-  
личных методик по полученным электронограммам най-  
дены средние значения межъядерных расстояний и  
среднеквадратичные амплитуды колебаний. Отмечено,  
что учет поправок многократного рассеяния важен для  
точного определения межъядерных расстояний в моле-  
куле SF<sub>6</sub>, для которых получены следующие значения:  
 $r_a(S-F) = 1,5622 (7)$  Å,  $r_a(F-F)$  (cis) = 2,2094 (8) Å и  
 $r_a(F-F)$  (trans) = 3,1240 (21) Å. А. И. Дементьев

*几何метрия,  
структура*

д. 1982, 18, № 5.

Отмск 11973 1981

SF<sub>6</sub>

5 Б324. Анализ спектра поглощения высокого разрешения мультиплета 3v<sub>3</sub> SF<sub>6</sub> с учетом взаимодействия колебаний. Patterson Chris. W., Krohn Burton J., Pine A. S. Interacting band analysis of the high-resolution spectrum of the 3v<sub>3</sub> manifold of SF<sub>6</sub>. «J. Mol. Spectrosc.», 1981, 88, № 1, 133—166 (англ.)

Записан спектр поглощения молекулы SF<sub>6</sub> в области между 2819 и 2341 см<sup>-1</sup>, при T=160 К на перестраиваемом лазерном разностно-частотном спектрометре с разрешением, ограниченным доплеровским уширением. Анализ спектра проведен на основе теор. модели, учитывающей взаимодействие между l-колебательными подуровнями 3v<sub>3</sub> мультиплета. Идентифицировано более 700 линий с  $l \leq 33$  во взаимодействующих подполосах  $l=1$  и  $l=3$  полосы 3v<sub>3</sub>, включая линии запрещенных  $\Delta R > 0$  переходов. В результате анализа определены десять спектроскопич. постоянных для состояния 3v<sub>3</sub>, в том числе с высокой точностью три

X, 1982, 19, N5.

ангармонические постоянные  $X_{33}$ ,  $C_{33}$  и  $T_{33}$ . Величины постоянных оказались близки к величинам соотв-щих постоянных для колебательного состояния  $v_3$ , что указывает на возможность предсказания колебательных уровней  $n v_3$  для нескольких значений  $n$ . Этот резуль-тат важен для понимания начальной стадии бесстолкно-вительной диссоциации  $SF_6$  в сильном ИК-поле излу-чения  $CO_2$  лазера. Анализ сил линий ровибронных переходов показал, что слабая подполоса  $l=3$  [(2,10) в представлении  $(n_{3x}, n_{3y}, n_{3z})$ ] имеет небольшой внутренний дипольный момент перехода и фактически заимствует свою интенсивность из сильной подполосы  $l=1$  (3,00).

В. М. Михайлов



$SF_6$

Danck 11973

1981

f 95: 141084d Interacting band analysis of the high-resolution spectrum of the  $3\nu_3$  manifold of sulfur hexafluoride. Patterson, Chris W.; Krohn, Burton J.; Pine, A. S. (Los Alamos Sci. Lab., Univ. California, Los Alamos, NM 87545 USA). *J. Mol. Spectrosc.* 1981, 88(1), 133-66 (Eng). The 2 IR-active vibrational bands of the  $3\nu_3$  manifold of  $SF_6$  were recorded at  $T = 160$  K with near Doppler-limited resoln. using a tunable laser difference-frequency spectrometer. Most of the principal structure was identified, and over 700 lines with  $J \leq 33$  were fitted with a model Hamiltonian which allows the  $l = 1$  and  $l = 3$  subbands to interact. The anal. yields the values of 10 spectroscopic consts. When earlier results for the  $\nu_3$  band are considered, the values of 8 addnl. consta. were derived. The effective harmonic frequency,  $\omega_3^0$ , and the 3 anharmonic coeffs.

U.N.

C.A. 1981, 95, N16.

$X_{33}$ ,  $G_{33}$ , and  $T_{33}$ , was detd. with high precision, so that the vibrational levels in the  $n\nu_3$  ladder can be predicted accurately for several values of  $n$ . The Cartesian basis ( $n_{3x}$ ,  $n_{3y}$ ,  $n_{3z}$ ) is the best representation for the vibrational sublevels. Anal. of the rovibrational line strengths reveals that the weak(2, 1, 0) band of  $3\nu_3$  has a very small intrinsic dipole transition moment, so that this band derives most of its intensity by borrowing from the strong (3, 0, 0) band.

*SF<sub>6</sub>*

Оттиск 11973

1981

ЗД426. Исследование взаимодействующих полос типа  $3\nu_3$  в спектре  $SF_6$ , полученному с высоким разрешением. Interacting band analysis of the high-resolution spectrum of the  $3\nu_3$  manifold of  $SF_6$ . Patterson Chris W., Krohn Burton J., Pine A. S. «J. Mol. Spectrosc.», 1981, 88, № 1, 133—166 (англ.)

Исследованы две активные в ИК-поглощении колебательные полосы из системы полос  $3\nu_3$  молекулы  $SF_6$ . Спектр газа  $SF_6$  при т-ре 160 К получен с помощью лазерного спектрометра с разрешением, ограниченным доплеровской шириной линий. Отнесение линий в спектре проведено на основе модельного гамильтониана, учитывающего взаимодействие подполос  $l=1$  и  $l=3$ . Идентифицирована 771 линия с  $J < 33$ , их частоты приведены в таблице. Определены параметры модельного гамильтониана, на их основе вычислены теоретич. значения частот и интенсивностей линий, также приведенные в таблице. Рассчитанные и эксперим. частоты линий находятся в хорошем согласии. Найденные с высокой

*V<sub>i</sub>, см.<sup>-1</sup>.*

*сб. 1982, 18, № 3.*

точностью гармонич. частота колебания  $v_3$  и постоянные ангармоничности позволили рассчитать схему уровней  $n v_3$  вплоть до  $n=5$ . Для классификации колебательных уровней использована декартова система координат:  $(n_{3x}, n_{3y}, n_{3z})$ . Отмечено, что подполоса  $(2,1,0)$   $3v_3$  обладает малым собственным дипольным моментом перехода и ее наблюдаемая интенсивность в основном обусловлена ее взаимодействием с интенсивной подполосой  $(3,0,0)$ . Библ. 40.

Н. Ф.

дова

1981

ГГБ1241. Участие гексафторида серы в реакциях органических молекул. Рога Йосеф. Učast fluoridu sírového při reakcích organických molekul. «Chem. listy» 1981, № 2, 168—179 (чеш.; рез. англ.)

Обзор. Рассмотрено участие  $SF_6$  в р-циях орг. молекул с целью привлечь внимание к новым применениям этого неорг. соединения в хим. орг. синтезе. Показано, что  $SF_6$  может служить инертным компонентом газ. р-ций, сенсибилизатором или реагентом в р-циях, индуцируемых излучением  $CO_2$ -лазера, тушителем колебательно- или электронновозбужденных состояний при фотолизе УФ-излучением, акцептором электронов и Кт в радиационно-хим. р-циях и средой или реагентом в обычных хим. реакциях. Библ. 67.

Резюме

?



Х. 1981. № 1

*SF<sub>6</sub>*

1981

Д 2 Д1150. Инфракрасный анализ с помощью лазерного оптико-акустического метода. Infrared analysis by laser optoacoustic techniques. Patel N. D., Mago V. K., Kartha V. B. «Proc. Symp. Infrared Technol. and Instrum., Bombay, March 5—7, 1980». S. 1., 1981, 436—441 (англ.)

Кратко описывается лазерная оптико-акустич. система и приводятся полученные с ее помощью данные. В качестве источника излучения использовался непрерывный перестраиваемый CO<sub>2</sub>-лазер мощностью 0,2—1,1 Вт, работающий на *P*- и *R*-ветвях в области 10,6 мкм. Получен спектр ИК-поглощения SF<sub>6</sub> в полосе  $\nu_3$ . SF<sub>6</sub> при давлении 0,5 мм рт. ст. смешивался с азотом, общее давление смеси 760 мм рт. ст. Два максимума поглощения на  $P_{16}$  и  $P_{32}$  соответствуют поглощению молекул <sup>32</sup>SF<sub>6</sub> и <sup>34</sup>SF<sub>6</sub>. Чувствительность детектирования <sup>34</sup>SF<sub>6</sub> составляет  $10^{-6}$ , но может быть повышена за счет использования резонансных ячеек и электронного оборудования лучшего качества.

Н. П. К.

*ИК спектр  
поглощений.*

*99, 1983, 18, № 2*

SF<sub>6</sub>

1981

! 95: 15490v On the observation and origin of kinetic isotope effects in exchange dephasing: motional collapse of vibrational structure for sulfur hexafluoride isolated in a xenon matrix. Swanson, Basil I.; Jones, Llewellyn H. (Los Alamos Natl. Lab., Univ. California, Los Alamos, NM 87545 USA). *Chem. Phys. Lett.* 1981, 80(1), 51-4 (Eng). High-resoln. IR spectra of SF<sub>6</sub> in a Xe matrix gave evidence for dynamic exchange among trapping sites on the IR time scale. A <sup>32</sup>S-<sup>34</sup>S kinetic isotope effect was obsd. and attributed to differences in the dephasing mode frequencies and the resulting disparity in coupling to the phonon bath.

lk cnektp  
b matpu  
he

C.A. 1981, 95, N2.

December 11 1981 1981

SF<sub>6</sub>

94: 165124x Matrix-molecule interactions, dynamics, and exchange phenomena in low temperature matrixes: sulfur hexafluoride in argon and krypton. Swanson, Basil L.; Jones, Llewellyn H. (Los Alamos Sci. Lab., Univ. California, Los Alamos, NM 87545 USA). *J. Chem. Phys.* 1981, 74(6), 3205-15 (Eng). High resoln. IR studies of argon/SF<sub>6</sub> and krypton/SF<sub>6</sub> matrixes at 10,000/1 show an unexpected amt. of structure; 10-12 peaks are obsd. in Ar and 6 or more peaks in Kr matrixes for the  $\nu_3$  mode. Studies in which the deposition temps. are varied, in conjunction with the structure obsd. for combination modes and temp. reversible spectral changes, allowed differentiation between multiple trapping sites and site symmetry splittings. There are at least 6 different sites for monomeric SF<sub>6</sub> in Ar and at least 3 sites in Kr. Two sites in Ar and 2 in Kr exhibit site

check  
L. Maifusse

C.A. 1981 64 1820

symmetry splittings. Temp. dependence studies showed striking spectral changes wherein for 3 of these sites (1 in Ar and 2 in Kr) the peaks, due to site symmetry splitting, coalesce as the temp. is raised. The temp. dependence can be explained in terms of exchange dephasing involving 2 high energy fundamentals and a local phonon mode. The dynamics assoc'd. with motional collapse of the high energy fundamentals corresponds to rapid site-to-site exchange on a less than nanosecond time scale resulting in higher effective site symmetry as obsd. by IR. Unusual  $^{32}\text{S}$ - $^{34}\text{S}$  isotope effects were also obsd. for the spectra of these low temp. matrixes.

S'F<sub>6</sub>

Оттиск 12537 1981

4 Д694. Стабилизация высокотемпературных матриц  
благородного газа. Stabilization of high-temperature noble  
gas matrices. Swanson Basil I., Jones L. H.  
*J. Mol. Spectrosc.*, 1981, 89, № 2, 566—568 (англ.)

Предложен метод стабилизации матриц благородных газов при повышении т.р. за счет осаждения на поверхность матрицы менее летучего компонента, прозрачного в изучаемой области спектра. Метод иллюстрируется опытами с матрицами аргона с покрытием из ксенона. Такая матрица допускает отжиг при 40 К, в то время как без покрытия при т.рах выше 85 К аргон испаряется быстрее, чем за минуту. Предложенным методом изучены ИК-спектры SF<sub>6</sub>, Ni(CO)<sub>4</sub>, CH<sub>3</sub>F и CO в матрице Ag в области основных колебаний. Расширение температурного интервала заставляет пересмотреть гипотезы, касающиеся стабильности центров захвата и процессов димеризации молекул в матрицах благородного газа. Библ. 13.

М.-В. Т.

ИК-спектр



№3

95. 1982, 18, N 4.

*SF<sub>6</sub>*

*1981*

2 Г302. Электроны и ионы в гексафториде серы.  
Electrons and ions in sulphur hexafluoride. Teich T. H.  
«Electron and Ion Swarms. Proc. 2 Int. Swarm Semin.,  
Oak Ridge, Tenn., July 22—23, 1981.» New York, e. a.,  
1981, 241—250 (англ.)

Предлагается краткий обзор современных методов определения параметров разряда и изучения процессов в гексафториде серы. К таким методам относятся: генерация очень больших электронных сгустков в однородном поле разрядного промежутка светом лазера в УФ-диапазоне, начальная ионизация всего разрядного промежутка очень короткими импульсами  $\gamma$ -излучения, масс-спектрометрия разрядов высокого давления, регистрация фотонов при пролете электронного сгустка через определенный малый элемент объема, вычисление коэф. ионизации, прилипания и скорости дрейфа элект-

*φ. 1984, 18, №.*

ронов с помощью ур-ния Больцмана. Дается характеристика каждого метода и рассмотрены его возможности в определении различных параметров разряда. Представлена сводная таблица коэф., характеризующих физич. процессы в разряде в SF<sub>6</sub> с указанием условий разряда, метода измерения данного коэф. и ссылки на первоисточник.

А. С. Трубников

*SF<sub>6</sub>*

*1981*

3 Б4527. Электроны и ионы в гексафториде серы.  
Electrons and ions in sulphur hexafluoride. Teich T. H.  
«Electron and Ion Swarms. Proc. 2 Int. Swarm Semin.,  
Oak Ridge, Tenn., July 22—23, 1981». New York, e. a.,  
1981, 241—250 (англ.)

Обзор. Описаны новые методы получения характеристики ионов и электронов, необходимых для анализа процессов в разрядах в SF<sub>6</sub>: создание лазерным излучением больших электронных роев, позволяющих изучать ионизацию тяжелых частиц, прилипание, дрейф электронов и ионов в плоскопараллельном разрядном зазоре в широком диапазоне значений  $E/N$  с хорошим временным разрешением; облучение разрядного объема  $\gamma$ -излучением малой (1—20 нс) длительности для определения дрейфовых скоростей и скорости рекомбинации в широком диапазоне давл.; дрейфовые трубы высокого давл. с масс-спектрометрией для изучения р-ций ионов, их подвижностей; счет фотонов из разряда позволяет исследовать прохождение роя электро-

*(обзор)*

*X. 1984, 19, № 3*

нов через малый объем и определять дрейфовые скорости, продольный и поперечный коэф. диффузии. Значит, прогресс достигнут в развитии расчетных методов определения кинетич. коэф. для электронов в  $SF_6$ . Рассмотрены процессы, происходящие при пробое и в разряде в  $SF_6$ , приведена упрощенная схема р-ций образования ионов в разряде пониженного давл. Представлены зависимости дрейфовой скорости электронов и величины  $a/p_0$  от  $E/p_c$  в  $SF_6$ . Библ. 50. Ю. А. Лебедев

kre

SF<sub>6</sub>

1981

Turner J.J.

Matrix Isol. Spectrosc.

Meet. and Discuss. NATO

Polv. Study Inst., Montpel.

lier, July 17-31, 1980. Dordre-

cht e.a., 1981, 173-186.

(cm. N<sub>2</sub>; III)

UK-enerkipby

SF<sub>6</sub>

1981

Valentini James J.,  
et al.

CKP Lico-  
Koro  
pazpeue -  
teus.

Proc. SPIE-Int. Soc.  
Opt. Eng. 1981, 288, 288-  
292.

(ces. CH<sub>4</sub> ; II)

SF<sub>6</sub>

1981

Zwanziger Ch., et al.

pacem  
steppen  
CBSSU

Chem. Phys. Lett.,  
1981, N 3, 486-489.

( $\text{crys. } \text{MgS}; \underline{\text{III}}$ )

SF<sub>6</sub>

Omnilex 15149

1980

(He, γ)

neopen-  
pacrem

Bloor & E., Sherrod RE;  
;

γ. Amer. Chem. Soc.,  
1980, 102, N13, 4333-  
4340.

SF<sub>6</sub>

Lommel ~~16074~~  
15274

1980

Chakraborti P.K.,

lek enkamp  
nowhere.

Indian J. Phys., 1980,  
54B, 444 - 454.

SF<sub>6</sub>

1981

11 Д485. Полоса  $v_3$  в спектре поглощения сверх-  
охлажденных молекул SF<sub>6</sub>. Absorption spectrum of the  
 $v_3$  band of supercooled CF<sub>6</sub>. Baldacchini G., Mag-  
chetti S., Montelatici V. «Com. naz. energ. nucl.  
Cent. Frascati [Pap.]», 1981, № 4, 10 pp., ill. (англ.)

Спектр  
поглощ.  
 $v_3$ ,  
С высоким разрешением исследована полоса 10,6 мк  
в спектре поглощения молекул SF<sub>6</sub>, охлажденных до  
т-ры 100 К в молекулярном пучке. Охлаждение значи-  
тельно упрощает спектр, в котором при указанной т-ре  
осталось лишь несколько линий. Библ. 18. В. С. Иванов

оп. 1982, 18, N 11

1981

SF<sub>6</sub>

12 Д588. Спектр полосы  $\nu_3$   $^{34}\text{SF}_6$ , полученный с помощью диодного лазера. Diode laser spectrum of the  $\nu_3$  band of  $^{34}\text{SF}_6$ . Baldacchini G., Marchetti S., Montelatici V. «Com. naz. energ. nucl. Cent. Frascati [Pap.]», 1981, № 24, 14 pp., ill. (англ.)

С помощью перестраиваемого диодного лазера получены спектры ИК-поглощения SF<sub>6</sub> с естественным изотопич. составом в сверхзвуковом молекулярном пучке при вращательной т-ре ~80 К. Измерены частоты колебательно-вращательных линий с  $J \leq 22$  P- и R-ветвей полосы  $\nu_3$  молекулы  $^{34}\text{SF}_6$ . В качестве референтных использованы линии аммиака. Приведены частоты центров тяжести J-мультиплетов. Тонкая структура этих мультиплетов в значительной мере разрешена. Определена колебательная частота полосы  $\nu_3 = 930,554 \text{ см}^{-1}$  и другие спектроскопич. постоянные этой полосы. Отмечено влияние изотопного замещения почти на все константы. Библ. 22.

М. В. Т.

90. 1982, 18, N/2

*SF<sub>6</sub>*

1982

ЗД318. Возбуждение и диссоциация молекул SF<sub>6</sub> в двухчастотном ИК-лазерном поле. Алимпиев С. С., Зикрин Б. О., Сартаков Б. Г., Хохлов Э. М. «Ж. эксперим. и теор. физ.», 1982, 83, № 5, 1634—1649 (рез. англ.)

Исследованы спектральные и энергетич. характеристики возбуждения и диссоциации молекул SF<sub>6</sub> в двухчастотном ИК-лазерном поле. Обнаружена зависимость квантовой эффективности двухчастотной диссоциации от частоты второго поля и уровня возбуждения в первом поле. Получены спектры линейного поглощения молекул SF<sub>6</sub>, возбужденных в лазерном поле. Установлено существенное отличие параметров этих спектров от термических.

Резюме

*возбуждение  
и диссоциа-  
ция в  
двоухчастотном  
ИК-лазерном поле  
оп. 1983, 18, N3C*

*SF<sub>6</sub>*

*1982*

1 Б188. Многофотонное возбуждение составной полосы  $\nu_2 + \nu_6$  SF<sub>6</sub> в объеме и в импульсной свободной струе. Multiple photon excitation of the  $\nu_2 + \nu_6$  combination band of SF<sub>6</sub> in a bulk and in a pulsed free jet.  
Аратин В. М., Безуглова Т. В., Макагов Г. Н.  
«Opt. Commun.», 1982, 42, № 4, 255—259 (англ.)

Исследовано многофотонное поглощение SF<sub>6</sub> (I) в области составной полосы  $\nu_2 + \nu_6$  при коми. т-ре и различных давл. ( $p=0,01—10$  Торр), а также в свободной струе, когда происходит охлаждение I до  $T_V=160$  К и  $T_R=40$  К. Накачку осуществляли перестраиваемым импульсным CO<sub>2</sub>-лазером при освещенностях 0,1—2,5 Дж/см<sup>2</sup> (длительность импульса  $\sim 100$  нс). Показано, что возбуждаются в основном низколежащие уровни  $v=3—5$ ). При этом число возбужденных молекул в 3—

*спектр  
излучен,  
Di;*

*X. 1983, 19, N1*

7 раз меньше, чем при возбуждении в области полосы  $\nu_3$ . Многофотонное поглощение пропорционально дипольным моментам соотв-щих переходов. Зависимость поглощенной энергии от освещенности для полосы  $\nu_2 + \nu_6$  более резкая, чем для полосы  $\nu_3$ . В спектре многофотонного поглощения в области полосы  $\nu_2 + \nu_6$  имеются достаточно резкие линии.

А. В. Бобров

SF<sub>6</sub>

1982

Bartell L. S.

одиномерный,  
циклический.

Z. Mol. Struct., 1982,  
84, N 1-2, 117-127.

(crys. CF<sub>4</sub>; II)

SF<sub>6</sub>

Omniject 134d8)

1982

(P<sub>3</sub>)

96: 76744y Diode laser spectrum of the  $\nu_3$  band of sulfur-34 hexafluoride. Baldacchini, G.; Marchetti, S.; Montelatici, V (Cent. Frascati, Com. Naz. Energ. Nucl., 00044 Rome, Italy). *J. Mol. Spectrosc.* 1982, 91(1), 80-6 (Eng). A diode laser was used to measure the absorption spectrum of the  $\nu_3$  band of  $^{34}\text{SF}_6$ . This isotopic species, which is present in the natural sample (4.2%), was cooled in a mol. beam of pure SF<sub>6</sub>. Subbranches up to  $J = 22$  were recorded and identified. The mol. parameters, detd. with a simple fitting procedure, were compared with those known of  $^{32}\text{SF}_6$  and  $^{33}\text{SF}_6$ .

C.A. 1982, 96, 210.

*SF<sub>6</sub>*

(Омск 134/28) 1982

7 Д405. Полученный с диодным лазером спектр  
 $^{34}\text{SF}_6$  в области полосы  $v_3$ . Diode laser spectrum of the  
 $v_3$  band of  $^{34}\text{SF}_6$ . Baldachini G., Marchetti S.,  
Montelatici V. «J. Mol. Spectrosc.», 1982, 91, № 1,  
80—86 (англ.)

С помощью перестраиваемого диодного лазера полу-  
чены спектры ИК-поглощения  $\text{SF}_6$  природного изотопно-  
го состава, охлажденного в молекулярном пучке. На-  
блюдена полоса  $v_3$  молекулы  $^{34}\text{SF}_6$ , приведены частоты  
ее колебательно-вращательных линий  $R$  и  $P$ -ветвей с  $J$   
до 22. Разрешена октаэдрич. структура линий. Вра-  
щательная т-ра газа составляла 80 К. Рассчитаны па-  
раметры молекулы в состоянии  $v_3$ . Эти величины сравни-  
ваются с аналогичными для молекулы  $^{32}\text{SF}_6$ . Отмечена  
назначительная величина изотопич. эффектов. Библ. 22.  
М. В. Т.

*ll·1.*

*оф 1982, 18, № 7.*

$SF_6$

Санкт-Петербург | 1982

12 Б185. Диодный лазерный спектр полосы  $v_3$   $^{34}SF_6$ .  
Baldacchini G., Marchetti S., Montelatici V. Diode laser spectrum of the  $v_3$  band of  $^{34}SF_6$ .  
«J. Mol. Spectrosc.», 1982, 91, № 1, 80—86 (англ.)

С помощью диодного лазера получен спектр поглощения охлажденного в молек. пучке газ.  $^{34}SF_6$  в области полосы  $v_3$ . Спектр получен от образца  $SF_6$  с природным содержанием (4,2%)  $^{34}S$ . Получены вращат. ветви вплоть до  $j=22$  и проведен анализ их структуры. Вычислены молек. параметры и сопоставлены с известными для  $^{32}SF_6$  и  $^{33}SF_6$ .

С. С. Букалов

Di, И.П.

X. 1982, 19, N 12.

*SF<sub>6</sub>*

*1982*

2 Д588. Многофотонное возбуждение ИК-излучением гексафторида серы в молекулярном пучке. Infrared multiple photon excitation of sulfur hexafluoride in a molecular beam. Bassi D., Boschetti A., Scsoles G., Scotonpi M., Zen M. «Chem. Phys.», 1982, 71, № 2, 239—245 (англ.)

*спектр  
многофотон-  
ного возбуждения*

Исследованы спектры многофотонного возбуждения молекул SF<sub>6</sub> в сверхзвуковом пучке ИК-излучением перестраиваемого CO<sub>2</sub>-лазера с энергией квантов ниже порога диссоциации молекулы. Энергия возбуждения измерялась с помощью быстродействующего сверхпроводящего болометра. Исследования проведены с молекулярными пучками чистого SF<sub>6</sub> и газовых смесей 10% SF<sub>6</sub>+He и 10% SF<sub>6</sub>+Ar при различных давлениях газа в камере источника пучка. Установлено, что спектры возбуждения сильно зависят от состава и давления газа. В частности, при повышении давления происходит уменьшение ширины спектров и понижение эффективности возбуждения. Этот эффект, по-видимому, связан с понижением вращательной температуры молекул при формировании пучка. Библ. 29.

А. В. Н.

*93. 1983, 18,  
N 2*

SF<sub>6</sub>

1982

Bieri Gerhard, Asbrink  
Leif, et al.

M. h., J,

J. Electron Spectrosc. and  
Relat. Phenom., 1982, 27,  
N2, 129 — 148.

(eu. H<sub>2</sub>S;  $\text{H}_2$ )

SF<sub>6</sub>

1982

Болдырев А. И., Зак-  
хасьевский В. Г., и др.

и. н.,  
ио;

Ж. Сибирского края,  
1982, 23, № 6, 30-34.

(Сер. SF<sub>6</sub>; II)

*SF<sub>6</sub>*

Om - 15456 1982

4 Д500. Сверхтонкая и гипертонкая структура в полосе  $v_3$   $^{32}\text{SF}_6$ . Superfine and hyperfine structures in the  $v_3$  band of  $^{32}\text{SF}_6$ . Bordé Jacques, Bordé Christian J. «Chem. Phys.», 1982, 71, № 3, 417—441 (англ.)

Проведено детальное теоретич. рассмотрение сверхтонких и гипертонких расщеплений в полосе  $v_3$  SF<sub>6</sub>. Рассмотрены входящие в гамильтониан операторы и связь входящих в них констант с молекулярными параметрами. Показано, что из-за недиагональных членов гамильтониана гипертонких взаимодействий возникает смешение колебательно-вращательных состояний разного типа симметрии. Вследствие этого сверхтонкие и гипертонкие эффекты должны рассматриваться одновременно и для детального расчета колебательно-вращательных спектров необходима диагонализация матрицы гамильтониана гипертонких взаимодействий. Развитая теория использована для интерпретации эксперим. данных и определения молекулярных постоянных.

М. В. Т.

*м.п;*

*(Х) 1983, 18, N 4.*

SF<sub>6</sub>

Om. 15456

1982

' 98: 62374g Superfine and hyperfine structures in the  $\nu_3$  band of sulfur-32 hexafluoride. Borde, Jacques; Borde, Christian J. (Lab. Phys. Lasers, Univ Paris-Nord, 93430 Villetaneuse, Fr.). *Chem. Phys.* 1982, 71(3), 417-41 (Eng). A 1st detailed account is presented of a theor. approach to reproduce obsd. superfine and hyperfine structures in the  $\nu_3$  band of SF<sub>6</sub>; various obsd. and calcd. patterns of superfine clusters exhibiting hyperfine effects are presented. The main operators of the Hamiltonian were derived and the assocd. consts. were related to mol. parameters. Owing to the off-diagonal terms in the hyperfine Hamiltonian, a mixing occurs between vibration-rotation states with different point-group symmetry species. As a consequence, superfine and hyperfine structures have to be considered simultaneously and hyperfine Hamiltonian matrixes connecting several vibration-rotation states need to be diagonalized to reproduce the spectra. A few typical examples from which several mol. consts. were detd. (e.g.  $t_{04}$ ,  $c_d$ ) are studied. For the 1st time, the sign of  $c_d$  was obtained. Also an effective change,  $\Delta c_d$ , was found between upper and lower levels which can be readily interpreted as a manifestation of the tensor spin-vibration interaction.

MOTRAEL  
CRYPTOGRAPH,  
D3 NORDA

C. A. 1983, 98, N 8.

*SF<sub>6</sub>*

*Oм. 15456*

*1982*

9 Б225. Супертонкая и сверхтонкая структура полосы  $\nu_3$ <sup>32</sup>SF<sub>6</sub>. Superfine and hyperfine structures in the  $\nu_3$  band of <sup>32</sup>SF<sub>6</sub>. Bordé Jacques, Bordé Christian J. «Chem. Phys.», 1982, 71, № 3, 417—441 (англ.)

Проведено теор. обсуждение тонких и сверхтонких эффектов, экспериментально обнаруженных при исследовании вращательной структуры полосы  $\nu_3$  молекулы <sup>32</sup>SF<sub>6</sub>. Основное внимание удалено одновременному описанию супертонкой структуры, обусловленной расщеплением вращательных кластеров и сверхтонких эффектов, связанных с наличием ядерных спинов. Обсуждена форма эффективного гамильтониана, записанного с учетом сверхтонких взаимодействий. Установлена связь эффективных параметров с молек. постоянными. Применение теор. моделей проиллюстрировано на примере описания СТС линии  $R(28)$  A<sub>2</sub><sup>0</sup>, центрированной на частоте 28,464691306 ТГц. СТС данной линии исследована экспериментально с разрешением  $\approx 1$  кГц.

Б. И. Жилинский

*X. 1983, 19, N 9*

SF<sub>6</sub>

1982

11 Д503. Одновременный ИК-переход в молекулах SF<sub>6</sub> в жидким кислороде. Simultaneous infrared transition of SF<sub>6</sub> in liquid oxygen. Brodbeck C., Bouanich J.-P., Nguyen-Van-Thanh Rossi I.—Invited Papers from the 15 European Congress on Molecular Spectroscopy, Norwich, Sept., 1981. — «J. Mol. Struct.», 1982, 80, 261—264 (англ.)

ИК-переход,  
интегральны  
и интенсивн.

Получены ИК-спектры (2400—2500 см<sup>-1</sup>) молекул SF<sub>6</sub> (I), растворенных в жидким кислороде при т-ре 78 К. Исследованы интегр. интенсивность, полуширина и сдвиг частоты одновременного (коллективного) перехода, включающего колебание ν<sub>3</sub> молекул I и колебание молекул O<sub>2</sub>, при изменении плотности молекул I в растворе. Отмечено, что полоса одновременного перехода и полоса перехода 2ν<sub>1</sub>+ν<sub>3</sub> молекул I при т-ре 78 К спектрально разделены на ~15 см<sup>-1</sup>. Определено значение интегр. коэф. поглощения ИК-полосы од-

оп. 1982, 18, N 11

новременного перехода. Показано, что увеличение плотности молекул в растворе приводит к увеличению относит. интенсивности и полуширины ИК-полосы одновременного перехода. Сделан вывод, что одновременный переход в данной системе обусловлен наведением дипольного момента в молекулах  $O_2$  в процессе колебания  $\nu_3$  молекул I.

И. В. А.

*SF<sub>6</sub>*

Отиск 14444

1982

12 Д104. Вычисление силовых постоянных и средних колебательных амплитуд октаэдрических молекул  $XY_6$  с использованием частот и  $\zeta$ -постоянных. Calculation of force constants and mean amplitudes of vibration of octahedral  $XY_6$  molecules using frequencies and zeta constants. Chinnappan V. A., Natagajan A. «Pramana. J. Phys.», 1982, 18, № 6, 501—509 (англ.)

На основании теории (Jagannathan R. et al. Ind. J. Pure, Appl. Phys., 1980, 18, 964) получены ф-лы, выражающие изотопич. инварианты  $I$  октаэдрич. молекул  $XY_6$  через массы атомов, частоты колебаний и постоянные Кориолиса  $\zeta$ . По известным  $I$  вычислены элементы матриц силовых постоянных  $F$ , коэф. влияния  $N$  и форм колебаний в координатах симметрии. Эти величины использованы для вычисления средних квадратичных амплитуд колебаний и средних амплитуд колебаний  $l$  расстояний между связанными и между несвязанными атомами. Численные значения  $I$ ,  $F$ ,  $N$ ,  $\zeta$  и  $l$  при 0 и 298 К приводятся для гексафторидов S, Mo, Se, Te, W, Re, Os, Ir, Pt, U, Np, Pu и Rh.

М. А. Ковнер

*Ал. АОСН.,*

*М. А.*

(1)

(12)

*Ф. 1982, 18, N 12*

*MoF<sub>6</sub>, SeF<sub>6</sub>, TeF<sub>6</sub>,*

$WF_6$ ,  $ReF_6$ ,  $O_3F_6$ ,  $TlF_6$ ,  $PtF_6$   
 $UF_6$ ,  $NpF_6$ ,  $PuF_6$ ,  $RhF_6$



$SF_6$

Он. 15608 1982

ЗД225. Расчет сечений прилипания электрона в процессах  $SF_6^-/SF_6$  и  $Cl^-/CFCl_3$  при энергиях 0—100 мэВ. Calculation of  $SF_6^-/SF_6$  and  $Cl^-/CFCl_3$  electron attachment cross sections in the energy range 0—100 meV. Chutjian A га. «J. Phys. Chem.», 1982, 86, № 18, 3518—3521 (англ.)

Сечения прилипания электрона в процессах  $SF_6^-/SF_6$  и  $Cl^-/CFCl_3$  рассчитаны в рамках локальной теории прилипания, развитой в работах О'Малли (O'Malley T. F., «Phys. Rev.», 1967, 155, 59). Молекулы  $SF_6$  и  $CFCl_3$  описывались моделью, в которой каждая норм. мода рассматривалась независимо в гармонич. приближении. Термы связанных состояний  $SF_6(X^1A_{1g})$ ,  $SF_6^-(X^2A_{1g})$  и  $CFCl_3(X^1A_1)$  аппроксимировались потенциалами Леннард-Джонса (6, 12) с параметрами из спектроскопических и термодинамич. данных. Состояние  $CFCl_3^-(X^2A_1)$  бралось чисто отталкивательным. В расчетах учитывались термически заселенные колебательные

спектр,

и. л.

(+3)

оп. 1983, 18, № 3

и вращательные уровни. Отмечено хорошее согласие с экспериментами при энергии электронов 5—100 мэВ. Предсказывается резкое возрастание сечений прилипания вблизи порога с шириной 1,5 мэВ. А. И. Р.

Он  
ия

SF<sub>6</sub>

1982

Ae;

(H) ~~W~~

C. A. 1982,  
97, N16

97: 136164s Negative ion formation from sulfur hexafluoride on hot surfaces. Delmore, J. E. (Idaho Natl. Eng. Lab., Exxon Nucl. Idaho Co., Idaho Falls, ID 83401 USA). *Int. J. Mass Spectrom. Ion Phys.* 1982, 43(1), 71-8 (Eng). The formation of neg. ions from SF<sub>6</sub> on a series of hot surfaces (Lab.<sub>6</sub>, ZrC, Hf, W, Re) was studied. The relative ionization efficiency vs. temp. profiles for the major ions (SF<sub>6</sub><sup>-</sup>, SF<sub>5</sub><sup>-</sup>) produced a max. at a temp. ( $T_c$ ) that correlated with the electron current ( $\sim 50 \mu\text{A}$ ) emitted by the filaments. The temp. required to obtain this electron current depended on the work function of the filament, and varied from 1493 to 2173 K. This is interpreted as the electron current at which charge d. defocusing becomes appreciable. The intensity of SF<sub>6</sub><sup>-</sup> correlated with the electron current up to 50  $\mu\text{A}$ , indicating an electron-attachment mechanism. The mechanism for SF<sub>5</sub><sup>-</sup> was less clear, although it did not correlate with the emitted electron current, and probably had an appreciable component from SF<sub>6</sub> decompn. followed by surface ionization. This is consistent with the low electron affinity of SF<sub>6</sub> (<0.5 eV), the high electron attachment rate of SF<sub>6</sub>, and the high electron affinity of SF<sub>5</sub> (2.9 eV). This ionization process was also studied for suitability as the source of ions for S isotope ratio measurements. Precisions of better than 0.005% for  $^{32}\text{S}/^{34}\text{S}$  could be obtained using Lab.<sub>6</sub> ionizers.

3F5

SF<sub>6</sub>

1982

6 Д427. Конкуренция колебательных уровней  $nv_3$  и  $(n-1)v_3 + v_2 + v_6$  при бесстолкновительном многофотонном возбуждении  $^{32}\text{SF}_6$ . Concurrence of the  $nv_3$  and  $(n-1)v_3 + v_2 + v_6$  vibrational ladders in the collisionless multiphoton excitation of  $^{32}\text{SF}_6$ . Di Lauro C., Lattanzi F., Sanna G. «Chem. Phys.», 1982, 73, № 1—2, 215—221 (англ.)

Рассчитаны вероятности переходов при многофотонном бесстолкновительном возбуждении молекулы SF<sub>6</sub> на частоте линии 944,2 см<sup>-1</sup> лазера CO<sub>2</sub>. При расчете использован базис эффективных колебательно-вращательных состояний последовательности  $nv_3$  и  $(n-1)v_3 + v_2 + v_6$  при  $n \leq 7$  с учетом резонанса Ферми между ними. Программа расчетов составлена на основе описанного ранее метода, вычисления велись при значениях вращательного квантового числа  $R_3$ , равных 20, 30, 40 и 50, мощность лазерного излучения считалась

спектр

90. 1983, 18, N 6

равной  $10^8$  Вт/см<sup>2</sup> как для однофотонного, так и для многофотонного возбуждения. Зависимость результата от мощности излучения в диапазоне от  $10^6$  до  $10^9$  Вт/см<sup>2</sup> исследована для случая  $R_3=30$ . Показано, что вероятности переходов на уровни последовательности  $(n-1)v_3+v_2+v_6$  при  $n \geq 6$  становятся сравнимы с вероятностями переходов на уровни основной последовательности  $nv_3$ , причем этот эффект сильнее проявляется в случае многофотонных переходов и растет с мощностью лазера.

Н. Ф.

*SF<sub>6</sub>*

1982

7 Б293. Monoфотонное поглощение SF<sub>6</sub>. Численный анализ метода матрицы плотности. Multiphoton absorption of SF<sub>6</sub>: a numerical analysis of the density-matrix approach. Dilonardo M., Petrocelli G., Capitelli M. «Chem. Phys.», 1982, 70, № 3, 247—255 (англ.)

Проведен численный анализ метода матрицы плотности для расчета спектра многофотонного поглощения (МФП) SF<sub>6</sub> при возбуждении одним и двумя лазерами. Метод матрицы плотности применен в рамках т. н. модели горячей бани с обратной связью («Chem. Phys. Lett.», 1979, 66, 461). В этой модели временная эволюция первых уровней активной моды ν<sub>3</sub> SF<sub>6</sub> ( $\nu_3 < 3$ ) описывается ур-ниями Блоха для матрицы плотности, эволюция более высоких колебательных уровней, принадлежащих квазиконтинууму, описывается некогерентными скоростными ур-ниями для полной заселенности. Обе системы ур-ний, связанные между собой через ур-ние для колебательного уровня 3, решены численно в приближении врачающейся волны. Результаты получены при рассмотрении 4-уровневой системы с потерями из верхнего уровня и при рассмотрении четырехуров-

*V<sub>i</sub>, M·n<sub>j</sub>*

*X. 1983, 19,*

*N 7*

невой системы, связанный с 46 уровнями, описывающими квазиконтинуум состояний молекулы. Особое внимание уделено анализу влияния величины ангармонич. связи накачиваемой моды  $v_3$  и оставшихся мод  $SF_6$  (I) и влияния различных путей вращательного возбуждения (II) на МФП  $SF_6$ . Результаты показывают, что МФП сильно зависит от обоих механизмов влияния I и II при возбуждении одним лазером, тогда как эта зависимость становится слабой при возбуждении двумя лазерами. Полученные результаты сравнены с результатами расчета МФП  $SF_6$  др. авторами. Отмечается, что простая ангармонич. модель спектра уровней моды  $v_3$   $SF_6$  м. б. улучшена включением др. квантовых чисел, описывающих различные связи в  $SF_6$  и эта улучшенная модель энергетич. спектра м. б. включена в рассмотренный метод расчета МФП. Возникающие при этом вычислительные трудности могут быть преодолены выбором колебательного пути возбуждения, к-рый дает максим. скорость возбуждения, как и в случае путей вращательного возбуждения. Заключается, что модель «горячей бани с обр. связью» м. б. уверенно использоваться для описания эксперим. результатов по МФП многоатомных молекул.

В. М. Михайлов

*SF<sub>6</sub>*

*1982*

2 Д589. Многофотонное поглощение молекулы SF<sub>6</sub>:  
численный анализ методом матриц плотности. Multi-  
photon absorption of SF<sub>6</sub>: a numerical analysis of the  
density-matrix approach. Dilonardo M., Petro-  
celli G., Capitelli M. «Chem. Phys.», 1982, 70,  
№ 3, 247—255 (англ.)

Приведены результаты численных расчетов по мето-  
ду матриц плотности спектров ИК многофотонного по-  
*дногофотон-  
поглощении*

оп. 1983, 18, № 2

глощения (ИКМФП) молекул  $SF_6$  для случаев облучения одним или двумя лазерами. Расчеты выполнены для двух различных вариантов четырехуровневой модели. В первом варианте осуществлялся учет энергетических потерь на верхнем уровне, а во втором — учет взаимодействия четырехуровневой системы с квазиконтинуумом молекулы, состоящим из 46 уровней. В расчетах учтено влияние ангармонич. связывания колебания  $\nu_3$ , возбуждаемого при накачке, с остальными колебаниями молекулы  $SF_6$  и влияние вращательных переходов на ИКМФП. Установлено, что учет этих факторов приводит к существенным изменениям спектра ИКМФП в случае облучения одним лазером, тогда как при облучении двумя лазерами влияние этих факторов незначительно. Библ. 17.

В. А. Е.

$SF_6$

Unruh 14776

1982

Ae;

Dolmene Y.E.,  
Int. J. Mass Spectrom  
and Ion. Phys., 1982,  
43, N1, ● 71-78.

$SF_6^-$

1982

12 Б1157. Изучение фотоотщепления электрона от аниона гексафторида серы. Замечания о структуре  $SF_6^-$ . Drzaic Paul S., Grauman John I. Electron photodetachment study of sulfur hexafluoride anion: comments on the structure of  $SF_6^-$ . «J. Amer. Chem. Soc.», 1982, 104, № 1, 13—19 (англ.)

Предпринята неудачная попытка обнаружения фотоотщепления электрона (ФОЭ) от аниона  $SF_6^-$  в газовой фазе масс-спектрометрич. методом ионного циклотронного резонанса, при помощи к-рого генерировали, удерживали и регистрировали ионы. Процесс ФОЭ не обнаружен при действии видимого света от разрядно-дуговой лампы или лазерных источников. Проведены теор. расчеты сечений ФОЭ в зависимости от длины волны света в предположении, что процесс ФОЭ представляет собой дипольно-разрешенный переход с высшей занятой МО аниона в континуум электрона, описываемый плоской волной. Показано, что для иона  $SF_6^-$  с той же октаэдрич. структурой, что и структура молекулы  $SF_6^-$ , сечение ФОЭ должно быть

几何  
структура

X. 1982, 19, N/2.

большим. Отсутствие процесса ФОЭ показывает, что геометрия  $SF_6^-$  должна существенно отличаться от геометрии  $SF_6$ , что согласуется с известным из лит-ры наличием кинетич. барьера для процесса электронного переноса от  $SF_6^-$  в газофазных ион-молек. р-циях. Расчеты на основании статистич. теории мономолек. распада показывают, что время жизни  $SF_6^-$  сискаженной геометрией и рыхлой структурой по отношению к процессу автоотщепления электрона соответствует экспериментально наблюдаемой величине, тогда как для  $SF_6^{*-}$  с геометрией совпадающей с геометрией нейтр. молекулы, эта величина оказывается на несколько порядков ниже. Предложены две возможные геометрич. модели аниона  $SF_6^-$  сискаженной структурой: 1) октаэдрич. анион  $SF_6^-$  с существенно ослабленными хим. связями S—F по сравнению с нейтр. молекулой; 2) ион-молек. ассоциированный комплекс  $(SF_5 \cdot F)^-$ .

В. Е. Скурат

дик.

*SF<sub>6</sub>*

1982

4 Д501. Двойной ИК-резонанс SF<sub>6</sub> с перестраиваемым лазером. Ч. 3. Наблюдение переходов 2v<sub>3</sub>↔v<sub>3</sub> и колебательной релаксации в состоянии v<sub>3</sub>= 1. Infrared double resonance of SF<sub>6</sub> with a tunable diode laser. III. Observations of 2v<sub>3</sub>↔v<sub>3</sub> transitions and collisional relaxation in v<sub>3</sub>=1. D u b s M., H a g g a d i n e D., S c h w e i t z e r E., S t e i n f e l d J. I., P a t t e r s o n C. «J. Chem. Phys.», 1982, 77, № 8, 3824—3839 (англ.)

С помощью перестраиваемого диодного лазера получены спектры ИК-поглощения газообразной SF<sub>6</sub> в области полосы v<sub>3</sub> при одновременной накачке по этому же колебанию излучением лазера CO<sub>2</sub> с модулированной добротностью. Спектры получены при т-ре 100 К и давлении SF<sub>6</sub> (1—2,5)·10<sup>-2</sup> мм рт. ст. в слое 32 см. Интенсивность излучения накачки составляла 3,4 кВт/см<sup>2</sup>, ширина линии пробного лазера была 9 МГц. Рассчитана форма линий двойного ИК-резонанса (ДР) в условиях сравнимой величины доплеровского уширения

φ 1983, 18, N 4.

и связанной мощностью накачки частоты Раби для различной структуры уровней при разных взаимных направлениях распространения излучений пробного и накачки. Отмечено хорошее согласие с эксперим. данными. Изучены случаи ДР на переходе  $2\nu_3 \leftarrow \nu_3$  при накачке линиями  $P(18) - P(22)$  лазера CO<sub>2</sub>. Получены спектры ДР при временных задержках пробного сигнала по отношению к импульсу накачки в присутствии буферных газов He, Ar и CH<sub>2</sub>F<sub>2</sub>. Отмечена синхронность изменений всех линий полосы  $\nu_3$ , что указывает на отсутствие строгих запретов для вращательных переходов. Закономерности связаны с процессами колебательной релаксации в рамках 4-уровневой схемы, измерены времена колебательной релаксации. Библ. 37. Ч. II см. Galbraith H. W. et al. «Phys. Rev.», 1982, A26, 1528. М. В. Т.

*SF<sub>6</sub>*

1982

7 Б292. Инфракрасный двойной резонанс в SF<sub>6</sub> с перестраиваемым диодным лазером. III. Наблюдение переходов 2v<sub>3</sub>↔v<sub>3</sub> и столкновительной релаксации в состоянии v<sub>3</sub>=1. Infrared double resonance of SF<sub>6</sub> with a tunable diode laser. III. Observations of 2v<sub>3</sub>↔v<sub>3</sub> transitions and collisional relaxation in v<sub>3</sub>=1. Dubs M., Harradine D., Schweitzer E., Steinfield J. I., Patterson C. «J. Chem. Phys.», 1982, 77, № 8, 3824—3839 (англ.)

Методом ИК-спектроскопии двойного резонанса с использованием перестраиваемого диодного лазера низкой мощности и импульсного CO<sub>2</sub>-лазера высокой мощности [P(14)—P(22)] с высоким разрешением измерены спектры поглощения SF<sub>6</sub> в области перехода 2v<sub>3</sub>↔v<sub>3</sub>. Наблюдано большое число вращательных переходов и выполнено их отнесение. Рассчитанный спектр полосы 2v<sub>3</sub>↔v<sub>3</sub> в пределах ±0,003 см<sup>-1</sup> согласуется с экспериментальным. Показано, что как l=0↔-1, так и v<sub>3</sub>=l=-2↔-1 компоненты перехода 2v<sub>3</sub>↔v<sub>3</sub> имеют сравнимые силы осцилляторов. Отмечено, что смешивание R-под-

*Di, M.N.*

*X. 1983, 19,  
N 7*

состояний в состоянии  $2\nu_3$  становится существенным. Найдено, что скорости релаксации уровней  $2\nu_3$  на не-воздужденные вращательные уровни основного колебательного состояния и сверхзаселенных под действием лазера уровней состояния  $1\nu_3$  приблизительно равны и составляют  $\sim 35$  ис. Предположено отсутствие ограничений на процесс релаксации между уровнями ТС в основном колебательном состоянии. Специфич. характер временнай зависимости сигнала двойного резонанса для четырехуровневого процесса, обусловленного столкновительным взаимодействием, объяснен в предположении, что начальная релаксация отдельных уровней I в состоянии  $\nu_3$  происходит не на др. вращательные уровни в том же состоянии, а на определенные вращательные уровни других колебательных состояний, к-рые могут столкновительно смешиваться с  $\nu_3$ .

С. Б. Осин

*SF<sub>6</sub>*

Om. 14932 1982

I Д533. Абсолютные интенсивности комбинационных полос в ИК-спектре SF<sub>6</sub>. The absolute intensities of the binary combination bands in the infrared spectrum of SF<sub>6</sub>. Dunn Douglas S., Scanlon Kerin, Overend John. «Spectrochim. acta», 1982, A38, № 8, 841—847 (англ.)

Получены спектры ИК-поглощения газообразной SF<sub>6</sub> в области 200—4000 см<sup>-1</sup>. Измерены интенсивности основных полос ν<sub>3</sub> и ν<sub>4</sub> и 10 комбинационных полос 2-го порядка, включая разностные ν<sub>3</sub>—ν<sub>2</sub> и ν<sub>2</sub>—ν<sub>6</sub>. Величины интенсивностей использованы для определения вторых производных дипольного момента молекулы по норм. координатам. Учет вклада механич. ангармоничности в интенсивность выполнен с использованием различных вариантов силового поля. В ряде случаев найденные параметры электрооптич. ангармоничности не зависят от выбора параметров механич. ангармоничности, в первую очередь это относится к производным  $\partial^2\mu/\partial q_1\partial q_1$  и  $\partial^2\mu/\partial q_2\partial q_4$ . Библ. 15.

М. В. Т.

9. 1983, 18, N 1

SF<sub>6</sub>

Om. 14932

1982

97: 226023z The absolute intensities of the binary combination bands in the infrared spectrum of sulfur hexafluoride. Dunn, Douglas S.; Scanlon, Kerin; Overend, John (Dep. Chem., Univ. Minnesota, Minneapolis, MN 55455 USA). *Spectrochim. Acta, Part A* 1982, 38A(8), 841-7 (Eng). The intensities of all the fundamentals and binary combination bands in the IR spectrum of SF<sub>6</sub> were measured. Ests. of the cubic normal-coordinate force consts. detd. from an anharmonic Urey-Bradley force field were used to compute the contributions to the combination intensities from the 1st derivs. of the dipole moment. These, in turn, were used to obtain exptl. values of the 2nd derivs. of the mol. elec. dipole moment with resp. to the normal coordinates.

UF CREEP,  
Vi, UNM-  
CIBRCMS

c.A.1982, 97, N26

SF<sub>6</sub>(ω)

[отр. 14932]

1982

3 Б218. Абсолютные интенсивности бинарных комбинационных полос в инфракрасном спектре SF<sub>6</sub>. The absolute intensities of the binary combination bands in the infrared spectrum of SF<sub>6</sub>. Dunn D. S., Scanlon K., Overend J. «Spectrochim. acta», 1982, A38, № 8, 941—947 (англ.)

Измерен ИК-спектр SF<sub>6</sub> (4000—200 см<sup>-1</sup>) в газ фазе. Определены абр. интегральные интенсивности полос основных колебаний и составных тонов. Проверен закон Бера для ν<sub>3</sub>, ν<sub>4</sub> (948,0 и 615,0 см<sup>-1</sup> соотв.) и для ряда комбинац. полос. Оценки кубич. силовых постоянных, сделанные ранее на основании ангармонич. силового поля Юри — Бредли, использованы для расчета вкладов в интенсивности комбинац. полос первых производных дипольного момента. Эти вклады, в свою очередь, использованы для расчета эксперим. значений вторых производных электрич. дипольного момента по нормальной координате.

Е. Разумова

ж. 1983, 19, N3

SF<sub>6</sub>

Tommick 16011 1982

Josephson,  
Chekmp

Eng R.S., Ku R.T.,  
Spectrosc. Lett., 1982,  
15, N10-11, 803-929.

*SF<sub>6</sub>*

*1982*

17 Б202. Спектр вынужденного усиления комбинационного рассеяния высокого разрешения SF<sub>6</sub> в области полосы ν<sub>1</sub>. Esherick Peter, Owyong Adelbert. High-resolution stimulated Raman gain spectrum of the ν<sub>1</sub> band of SF<sub>6</sub>. «J. Mol. Spectrosc.», 1982, 92, № 1, 162—169 (англ.)

Спектроскопия усиленного КР применена для исследования тонкой вращательной структуры полос ν<sub>4</sub> и ν<sub>1</sub>+ν<sub>6</sub> газ. SF<sub>6</sub> (I) (давл. ~3,8 торр). В кач-ве пробного лазера при возбуждении спектров использован непрерывный Kr<sup>+</sup>-лазер ( $\lambda$  647,1 нм), накачку осуществляли перестраиваемым (в области ~616 nm<sup>-1</sup>) импульсным лазером на красителе мощностью 1-2 МВт (с тремя усилителями), работающим при накачке от 2-й гармоники ( $\lambda$  532 нм) Nd-АИГ-лазера, разрешение на спектрах ~0,0024 см<sup>-1</sup>. Анализ спектров показал, что на обеих полосах не проявляется центробеж-

*Д.*

*X. 1982, 19, N 14.*

ное искажение и тензорное расщепление, для полосы  $v_1 + v_6$  наблюдали кориолисово расщепление первого порядка. Отмечается, что простота тонкой структуры полосы  $v_1$  позволяет использовать ее при определении населенности колебательных и вращательных уровней при мощном ИК-возбуждении или свободном расширении I.

А. В. Бобров

ош.  
M.

*SF<sub>6</sub>*

*1982*

96: 132465x High-resolution stimulated Raman gain spectrum of the  $\nu_1$  band of sulfur hexafluoride. Esherick, Peter; Owyoung, Adelbert (Sandia Natl. Lab., Albuquerque, NM 87185 USA). *J. Mol. Spectrosc.* 1982, 92(1), 162-9 (Eng). Rotationally resolved stimulated Raman gain spectra are reported of the  $\nu_1$  band of SF<sub>6</sub>. The fundamental band exhibits a rigid-rotor type spectrum that is readily fit with a band origin of  $\Delta\alpha = 774,5445$  and a single rotational term  $\Delta\beta = -1.10376 \times 10^{-4} \text{ cm}^{-1}$ . The  $\nu_1 + \nu_6$  hot band with band origin at  $774.1820 \text{ cm}^{-1}$  was also obsd. With an exptl. resoln. of  $0.0024 \text{ cm}^{-1}$ , there is no evidence for centrifugal distortion or tensor splitting in either band, although the  $\nu_1 + \nu_6$  band does exhibit 1st-order Coriolis splitting as expected.

( $\nu_i$ )

C.A. 1982, 96, N 16

*SF<sub>6</sub>*

*On. 16065*

*1982*

12 Б249. Исследование методом вынужденного комбинационного рассеяния возбужденной CO<sub>2</sub>-лазером SF<sub>6</sub>.

Stimulated Raman investigation of CO<sub>2</sub>-laser-excited SF<sub>6</sub>.  
Esherick P., Grimley A. J., Owyong A.  
«Chem. Phys.», 1982, 73, № 3, 271—282 (англ.)

Спектроскопия вынужденного КР (ВКР) применена для исследования колебательно-возбужденных молекул SF<sub>6</sub> (I) в свободно расширяющейся сверхзвуковой струе I. Возбуждение осуществляли перестраиваемым импульсным CO<sub>2</sub>-лазером в области полосы ν<sub>3</sub> I (длительность импульса ~90—120 нс, энергия импульса ~150 мДж). При регистрации спектров ВКР накачка осуществлялась перестраиваемым импульсным лазером на красителе с тремя усилителями (длительность импульса ~10—12 нс, мощность ~1 МВт), а зондирование одномодовым криптоновым лазером (647,1 нм). Изменение заселенности основного состояния прослеживалось по интенсивности полосы ν<sub>1</sub> I (~774 см<sup>-1</sup>), а за-

*спектр,*

*1 ;*

X. 1983, 19, N 12

селенности возбужденных состояний по «горячей» полосе  $v_1 + v_3 - v_3$  ( $\sim 771 \text{ см}^{-1}$ ). Спектры регистрировали с высоким спектральным, временным и пространственным разрешением. Отмечено, что распределение заселенности вращательных подуровней возбужденного уровня  $v_3 = 1$  отличается от больцмановского. Проведено сопоставление возможностей спектроскопии ВКР с возможностями абсорбц. и флуоресцентной спектроскопии. Подчеркивается возможность использования спектроскопии ВКР для исследования возбужденных колебательных состояний молекул.

А. В. Бобров



$SF_6$

1982

Om. 16065-

б Д1266. Изучение молекул  $SF_6$ , возбужденных излучением  $CO_2$ -лазера, методом вынужденного комбинационного рассеяния света. Stimulated Raman investigation of  $CO_2$ -laser-excited  $SF_6$ . Esherick Peter, Grimley A. J., Owyoung Addelbert. «Chem. Phys.», 1982, 73, № 3, 271—282 (англ.)

Измерен коэф. усиления пробного непрерывного излучения ( $\lambda=647,1$  нм) в свободной реактивной струе газообразных молекул  $SF_6$  в области стоксовой компо-

спектр,  
м.н;

90. 1983, 18, № 6

ненты вынужденного комб. рас. на молекулах  $SF_6$  излучения лазера на красителе ( $P \sim 1$  МВт). Обнаружено существенное истощение вращательных подуровней основного электронного состояния молекул  $SF_6$  при предварительном возбуждении этих молекул в струе импульсным излучением  $CO_2$ -лазера. Наблюdenы смещения линий комб. рас. молекул  $SF_6$  вследствие оптического эффекта Штарка при резонансе ИК-излучения с полосами переходов  $v_3$  из основного и колебательно-возбужденного ( $v_1=1$ ) состояний этих молекул. Активизация линий комб. рас. «горячих» переходов  $v_1+v_3-v_3$  в системе уровней молекул  $SF_6$  приписана проявлению фотовозбуждения рассеивающих молекул в пучке мощного ИК-излучения в состояние  $v_3=1$ . Вычислена константа ангармоничности  $\chi_{13}$  колебания молекул  $SF_6$ , равная  $-2,910 \pm 0,002$   $cm^{-1}$ . Библ. 36.

З. В. Н.

SF<sub>6</sub>

Om 16065 1982

98: 98127t Stimulated Raman investigation of carbon dioxide-laser-excited sulfur hexafluoride. Esherick, Peter; Grimley, A. J.; Owyong, Adelbert (Sandia Natl. Lab., Albuquerque, NM 87185 USA). *Chem. Phys.* 1982, 73(3), 271-82 (Eng). Stimulated Raman spectroscopy is used to probe the photoexcitation dynamics of CO<sub>2</sub>-laser-excited SF<sub>6</sub> in a mol. free-expansion jet. Time-dependent depletion of rotational levels in the ground state is obsd. by monitoring the  $\nu_1$  Raman spectrum at various delay times after the CO<sub>2</sub>-laser excitation pulse. Optical Stark shifts are also seen, at short delay times, arising from resonances of the IR laser pulse with  $\nu_3$  transitions from both ground and  $\nu_1 = 1$  states. Mols. excited to the  $\nu_3 = 1$  level are detected by scanning the  $\nu_1 + \nu_3 - \nu_3$  hot band. A direct detn. of the anharmonicity  $X_{13} \approx -2.910 \pm 0.002$  cm<sup>-1</sup> is thus obtained.

(u.n.)

(easy to  
check)

C. A. 1983, 98, N 12.

$SF_6$

1982

Pomogueco  
Guayaquil

96: 152658r Vibrational predissociation of sulfur hexafluoride dimers and trimers. Geraedts, J.; Stolte, S.; Reuss, J. (Fys. Lab., Kathol. Univ., Nijmegen, Neth.). *Z. Phys. A* 1982, 304(2), 167-75 (Eng). IR photodissocn. spectra of  $SF_6$  clusters were studied. A He-seeded mol. beam was attenuated by crossing it with a line tunable continuous wave  $CO_2$  laser of moderate power. In the electron bombardment beam ionizer ( $E_{el} = 100$  eV) small neutral clusters fragmented predominantly to the main monomer mass ( $SF_6^+$ ). Predissocn. spectra were calcd. for clusters contg.  $\leq 6$   $SF_6$  mols. invoking the dipole-dipole resonance force to lift the degeneracy of the mol.-excited mol. interaction. Dimer and trimer concns. were detd. quant. for different mol. beam conditions.

(+2)

C.A. 1982, 96, N18.  $(SF_6)_2$   $(SF_6)_3$   
(prefucco guayaquil)

$(SF_6)_n$

$n=1-6$

спектры

1982

II 14 Б1155. Колебательная предиссоциация димеров и тримеров  $SF_6$ . Geraedts J., Stolte S., Reuss J. Vibrational predissociation of  $SF_6$  dimers and trimers. «Z. Phys.», 1982, A304, № 2, 167—175 (англ.).

Исследованы спектры ИК-фотодиссоциации кластеров  $(SF_6)_n$  в молек. пучке (МП) под действием непрерывного лазера на  $CO_2$ . Т-ра в источнике МП была 233 К, давл. меняли от 1000 до 1850 мм. МП содержал 5%

$SF_6$  в смеси с Не. Содержание  $^{34}SF_6$  составляет 4,2%. Лазер, перестраиваемый по линиям с помощью решетки, с прокачкой газа при давл. 30 мм давал максим. мощность линий от 5 до 45 Вт. Рассчитаны положения линий спектров кластеров  $(SF_6)_n$  ( $n \leq 6$ ) в предположении, что линия имеет лоренцову форму и вероятность ионизации пропорциональна  $n$ . Количественно измерено содержание димеров и тримеров при различных давл. в источнике.

Л. И. Линвшин

X. 1982, 19, N 14.

SF<sub>6</sub> 1982  
Om. 15955

98: 134373f Dimer spectroscopy. Geraedts, Jo; Waayer, Martin;  
Stolte, Stephen; Reuss, Joerg (Fys. Lab., Katholieke Univ., 6525 ED  
Nijmegen, Neth.). *Faraday Discuss. Chem. Soc.* 1982, 73 375-86  
(Eng). A crit. review, with 16 refs., of the vibrational predissocn. of  
SF<sub>6</sub> clusters, of lineshape and satn. behavior, and also of hyperfine-  
structure measurements of H<sub>2</sub>-rare gas van der Waals mols.

комбам.  
примесей,  
модель

структура № 4

C.A. 1983, 98, N 16.

H<sub>2</sub>-A

A-аналогия  
заг

*SF<sub>6</sub>*

*отмечено 14.07.84*

1982  
2 Д11. Исследование горячих молекул методом дифракции электронов. I. Наблюдаемые и расчетные тепловые расширения молекул SF<sub>6</sub>, CF<sub>4</sub> и SiF<sub>4</sub>. Electron diffraction studies of hot molecules. I. Observed and calculated thermal expansions of SF<sub>6</sub>, CF<sub>4</sub>, and SiF<sub>4</sub>. Goates Steven R., Bartell Lawrence S. «J. Chem. Phys.», 1982, 77, № 4, 1866—1873 (англ.)

*дифракция  
электронов.*

(1)

(+2)

9. 1983, 18,  
N 2

Исследована дифракция электронов на молекулах SF<sub>6</sub>, CF<sub>4</sub> и SiF<sub>4</sub>, быстро ( $10^{-5}$ — $10^{-6}$  с) нагреваемых с помощью CO<sub>2</sub>-лазера с мощностью 40 Вт. Исследования проводились при т-рах до 1700 К (SF<sub>6</sub>), 1000 К (CF<sub>4</sub>) и 1200 К (SiF<sub>4</sub>), при этом наиболее заметным эффектом нагрева молекул явилось возрастание среднеквадратичной величины амплитуды колебаний молекул. Наблюдалось также уменьшение интенсивности рассеяния электронов и существенное увеличение средней длины связи (тепловое расширение) молекул. Показано, что из всех предлагаемых моделей трактовки эффекта теплового расширения удовлетворительное согласие с экспериментом дает модель Юри—Брэдли, учитывающая ангармоничность. Отмечается, что рассмотренный метод дифракции может явиться перспективным методом исследования внутримолекулярных сил. И. Флакс

SF<sub>6</sub>

Om. 14974

1982

97: 133894u Electron diffraction studies of hot molecules.  
I. Observed and calculated thermal expansions of sulfur hexafluoride, tetrafluoromethane, and tetrafluorosilane. Goates, Steven R.; Bartell, Lawrence S. (Dep. Chem., Univ. Michigan, Ann Arbor, MI 48109 USA). *J. Chem. Phys.* 1982, 77(4), 1866-73 (Eng). A new method is described for the rapid heating ( $10^{-5}$ - $10^{-6}$  s) of gas mols. for study by electron diffraction. Laser irradn. of the tip of a micro-nozzle makes it possible to det. structures, amplitudes of vibrations, and aspects of anharmonicity of mols. at temps. much higher than those at which decomprn. occurs in conventional oven nozzles. The vibrations and thermal

expansions of SF<sub>6</sub>, CF<sub>4</sub>, and SiF<sub>4</sub> were investigated up to 1700, 1600, and 1200 K, resp. Clear evidence for effects of anharmonicity was obsd. in amplitudes of vibration as well as mean bond lengths. Various models proposed for the treatment of increases in bond length were assessed, among which an anharmonic Urey-Bradley field accounted well for results. Comparisons are made with the predictions of R Heenan (1979) based on spectroscopic analyzes. The diffraction approach offers a promising method for augmenting spectroscopy in the investigation of intramol. forces.

A

(+2)

C.A. 1982,  
97, n 16

CF<sub>4</sub>, SiF<sub>4</sub>

$SF_6$

Om. 14975

1982

I 97: 133851c Electron diffraction studies of hot molecules.  
II. "Anharmonic shrinkage effects" in sulfur hexafluoride,  
tetrafluoromethane, and tetrafluorosilane. Goates, Steven  
R.; Bartell, Lawrence S. (Dep. Chem., Univ. Michigan, Ann  
Arbor, MI 48109 USA). *J. Chem. Phys.* 1982, 77(4), 1874-7  
(Eng). Least squares refinements of diffraction intensities for  
 $SF_6$ ,  $CF_4$ , and  $SiF_4$  yielded nonbonded internuclear distances  
that lagged increasingly behind values expected from the bond  
lengths, the higher the temp. The observation that obsd.  
nonbonded shrinkages greatly exceed calcd. shrinkages cannot be  
attributed to a deficiency in the theor. expressions customarily  
invoked. It is explained, instead, by anharmonic effects in  
bending modes that give the illusion of anomalous shrinkage  
where it does not, in fact, exist. These effects, which skew the  
nonbonded distribution functions and displace the true mean  
distances from the peak max., contain heretofore unexploited  
information about anharmonic potential consts.

(+2) 18



C.A. 1982, 97, N.16

$SF_6$

Ом. 14975

1982

2 Б105. Электронографические исследования горячих молекул. II. «Ангармонические эффекты сокращения» в  $SF_6$ ,  $CF_4$  и  $SiF_4$ . Electron diffraction studies of hot molecules. II. «Anharmonic shrinkage effects» in  $SS_6$ ,  $CF_4$ , and  $SiF_4$ . Goates Steven R., Bartell Lawrence S. «J. Chem. Phys.», 1982, 77, № 4, 1874—1917 (англ.)

Хемия,  
Структура

При обработке электронографич. данных для молекул  $SF_6$ ,  $CF_4$  и  $SiF_4$  установлено, что найденные величины эффектов сокращения для межъядерных расстояний между несвязанными атомами значительно превосходят рассчитанные значения. По мнению авторов это можно объяснить ангармонич. эффектами в деф. кол. молекул, к-рые содержат важную информацию относительно ангармонич. постоянных силового поля молекулы. Часть I см. пред. реферат.

В. Спиридонов

(72)

X. 1983, 19, № 2

SF<sub>6</sub>

1982

Goates Steyer Rex.

Diss. Abstr. Int. B

1982, 42(9), 3704.

Сергейкин.  
Геокарбон-  
метаграф.

(сер. XFn; III)

*SF<sub>6</sub>*

1982

1Д138. Исследование дискретным вариационным  $\chi$ -методом электронного строения и сродства к электрону в ряду гексафторидов халькогенов. Гучев Г. Л., Клягина А. П. «Ж. неорган. химии», 1982, 27, № 9, 2173—2178

Дискретным вариационным  $\chi$ -методом рассчитано электронное строение гексафторидов серы, селена и теллура. Обсуждена связь некоторых химич. свойств с вычисленным распределением электронной плотности. Предложено объяснение изменения сродства к электрону в ряду этих соединений.

Резюме

*Fe;*

(+2)

*SeF<sub>6</sub>*



*TeF<sub>6</sub>*

ср. 1983, 18, N 1

$SF_6$

1982

1 Б29. Исследование дискретным вариационным  $\chi\alpha$ -методом электронного строения и сродства к электрону в ряду гексафторидов халькогенов. Гуцев Г. Л., Клягина А. П. «Ж. неорган. химии», 1982, 27, № 9, 2173—2178

Дискретным вариац.  $\chi\alpha$ -методом рассчитано электронное строение гексафторидов серы, селена и теллура. Обсуждена связь некоторых хим. св-в с вычисленным распределением электронной плотности. Предложено объяснение изменения сродства к электрону в ряду этих соединений.

Резюме

расчет  
электрон.  
сродства  
 $SF_6$ ,  $TeF_6$   
Х. 1983, 19, N1.



$SF_6$

Om. 13697

1982

У18 Б1216. Относительные энергии  $SF_6^-$  и  $SF_6$  в зависимости от геометрии этих частиц. Нау Р. Jeffreys. The relative energies of  $SF_6^-$  and  $SF_6$  as a function of geometry. «J. Chem. Phys.», 1982, 76, № 1, 502—504 (англ.)

Ограниченнным методом Хартри—Фока в приближении самосогласованного поля произведены расчеты потенциальных состояний  $SF_6$  и  $SF_6^-$  в зависимости от расстояния S—F( $R$ ) для симм. валентной колебательной моды. Показано, что анион  $SF_6^-$  имеет большую длину связи S—F (1,710 Å) по сравнению с молекулой  $SF_6$  (вычислено 1,567 Å, эксперим. значение 1,564 Å). Адиабатич. сродство к электрону  $SF_6$ , вычисленное без учета нулевой энергии, равно 0,90 эВ. Расчет с учетом вклада диффузных  $p$ -функций атома F дает несколько большую величину 1,03 эВ. Известные из лит-ры эксперим. значения адиабатич. сродства к электрону молекулы  $SF_6$  лежат в пределах от 0,32 до 1,10 эВ.

Аe;

Ⓐ  $SF_6^-$   
геометр. структ.  
X. 1982, 19, N 18

(погрешность  $\pm 0,1$ — $0,2$  эВ), т. е. расчет лучше согласуется с наибольшими эксперим. значениями. Вертикальное сродство к электрону  $SF_6$  (потенциальная энергия  $SF_6^-$  при равновесной геометрии  $SF_6$ ) равно —1,57 эВ (в этой точке потенциальная кривая  $SF_6^-$  лежит выше потенциальной кривой  $SF_6$ ). Точка пересечения обеих кривых находится при  $R=1,61$ . А и соответствует энергии на  $\sim 0,23$  эВ выше дна потенциальной ямы для нейтр. молекулы. Поэтому тот факт, что молекула  $SF_6$  захватывает электроны с нулевой энергией, показывает, что область пересечения потенциальных кривых попадает в зону распределения колебательных уровней основного состояния  $SF_6$ . Однако для выяснения механизмов процессов, дающих  $SF_5+F^-$  или  $SF_6^-+F$ , требуются дальнейшие расчеты областей потенциальных поверхностей вдоль координат асимм. вал. кол.  $v_3$ , к-рые и приводят в конечном счете к диссоциации. Большая длина связи в  $SF_6^-$  согласуется с качеств. картиной, согласно к-рой электрон в отриц. ионе занимает разрыхляющую орбиталь  $6a_{1g}$ , состоящую из  $3s$ -орбитали S и  $2p$ -орбитали F. Снижение связывающего характера в отриц. ионе проявляется также в снижении частоты симм. вал. кол.  $SF_6^-$  (расчетное значение  $652\text{ см}^{-1}$ ) по сравнению с  $SF_6$  (расчетное значение  $844\text{ см}^{-1}$ , эксперим. —  $769\text{ см}^{-1}$ ). Значит, различие геометрич. конфигураций  $SF_6$  и  $SF_6^-$  объясняет большую величину порога фотоотщепления электрона от  $SF_6^-$  (расчетное значение 2,99 эВ; эксперим. 3,3 эВ), т. к. при равновесной геометрии  $SF_6^-$  потенц. энергия  $SF_6$  на 2,99 выше энергии  $SF_6^-$ .

Б. Е. Скурат

$\text{SF}_6^-$

$\text{SF}_6$

геометрия,  
структура

(H)

$\text{SF}_6$

об. 1982, 18, N 7

Отмінк 13697

1982

7 Д48. Относительные энергии  $\text{SF}_6^-$  и  $\text{SF}_6$  как функции молекулярной геометрии. The relative energies of  $\text{SF}_6^-$  and  $\text{SF}_6$  as a function of geometry. Нау Р. Jeffreу. «J. Chem. Phys.», 1982, 76, № 1, 502—504 (англ.)

Кривые потенц. энергии (КПЭ)  $\text{SF}_6^-$  и  $\text{SF}_6$  рассчитаны методом ССП для полностью симметричного растяжения молекулы. Область диссоциации обеих молекул не исследовалась. Найдено, что: а) молекулярный ион  $\text{SF}_6^-$  имеет значительно большую длину связи (1,710 Å) в сравнении с молекулой  $\text{SF}_6$  (1,564 Å); б) рассчитанное значение адабатического электронного сродства оказалось равным 0,90 эВ без учета поправок на нульевые колебания; в) учет диффузной  $p$ -ф-ции на F приводит к увеличению сродства до значения 1,03 эВ; г) при равновесном расстоянии в  $\text{SF}_6$  кривая ПЭ  $\text{SF}_6^-$  лежит выше на 1,57 эВ, но пересекает КПЭ  $\text{SF}_6$  в точке  $r=1,61$  Å с энергией 0,23 эВ выше минимума КПЭ  $\text{SF}_6$ .

А. А. Зембеков

(Ae, геометр, структура)

SF<sub>6</sub>

Omnuck 13697 1982

no meus.  
Krubal

96: 58120n The relative energies of sulfur hexafluoride(-) and sulfur hexafluoride as a function of geometry. Hay, P. Jeffrey (Los Alamos Natl. Lab., Univ. California, Los Alamos, NM 87545 USA). *J. Chem. Phys.* 1982, 76(1), 502-4 (Eng). The potential curves as a function of sym. stretch were computed for SF<sub>6</sub> and SF<sub>-6</sub> at the SCF level. The calcd. electron affinity of 0.90-1.00 eV and the photodetachment threshold of 3.0 eV appear to be in good agreement with existing exptl. data.



C.A. 1982, 96, n8

*SF<sub>6</sub>*

Dm. 14566

1982

(D<sub>i</sub>)

97: 153272t Nonlinear infrared spectroscopy of sulfur hexafluoride at 30 K. Hodgkinson, D. P.; Taylor, A. J.; Wright, D. W.; Robiette, A. G. (Theor. Phys. Div., AERE, Harwell/Didcot/Oxon., UK OX11 0RA). *Chem. Phys. Lett.* 1982, 90(3), 230-4 (Eng). Calcns. of nonlinear absorption by SF<sub>6</sub> at 30 K from a tunable IR laser are presented and compared with a recent expt. of S. S. Alimpiev et al. (1979, 1981). Theory and expt. agree qual. and there is reasonable quant. agreement on the positions and strengths of 2-photon Q-branch resonances which excite the 2ν<sub>3</sub>A<sub>1g</sub> and E<sub>g</sub> substates.

C.A. 1982, 97, N18.

*SF<sub>6</sub>*

*Om. 14566 ] 1982*

12 Д1753. Нелинейная ИК-спектроскопия SF<sub>6</sub> при температуре 30 К. Non-linear infrared spectroscopy of SF<sub>6</sub> at 30 K. Hodgkinson D. P., Taylor A. J., Wright D. W., Robiette A. G. «Chem. Phys. Lett.», 1982, 90, № 3, 230—234 (англ.)

С использованием гамильтониана, описывающего нижние колебательно-вращательные уровни состояния v<sub>3</sub> молекул SF<sub>6</sub>, рассчитаны спектры многофотонного поглощения при т-ре 30 К. Результаты расчетов сопоставлены с результатами эксперим. исследования С. С. Алимпиева и др. («Opt. Comm.», 1979, 31, 309). Отмечено хорошее качеств. согласование результатов теории и эксперимента и хорошее количеств. согласование вычисленных и измеренных центров и сил осцилляторов двухфотонных резонансов Q-ветви, связанных с возбуждением подуровней 2v<sub>3</sub>A<sub>1g</sub> и E<sub>g</sub>. Библ. 14.

С. Ф. Шарлай

*φ. 1982, 18, N/2*

$SF_6$

(Омск 13893) 1982

116 Б831. Предпочтительная ориентация молекул, внедренных в низкотемпературные матрицы:  $SF_6$  в ксеноне. Jones Llewellyn H., Swanson Basil I., Fry H. Preferred orientation of guest molecules in low-temperature matrices:  $SF_6$  in xenon. «Chem. Phys. Lett.», 1982, 87, № 4, 397—399 (англ.)

Низкотем-  
пературные  
матрицы

Исследованы поляризац. эффекты в ИК-спектре высокого разрешения ( $0,035 \text{ см}^{-1}$ )  $SF_6$  в матрице ксенона при 10 К, (разбавление 1 : 1000). Обнаружено, что две компоненты спектра  $SF_6$  с центром при  $933,0 \text{ см}^{-1}$  (компоненты полосы  $\nu_3$ ) резко меняют соотношения интенсивностей при изменении поляризации ИК-излучения. Обсуждены возможные объяснения этого явления связанных, по-видимому, с выделенной ориентацией молекул  $SF_6$  в кубич. матрице ксенона. С. Г. Ческис

Х. 1982, 19, № 16.

$SF_6$

Ommwick 13893 1982

196: 207653t Preferred orientation of guest molecules in low-temperature matrixes: sulfur hexafluoride in xenon.  
Jones, Llewellyn H.; Swanson, Basil I.; Fry, H. A. (Los Alamos Natl. Lab., Univ. California, Los Alamos, NM 87545 USA). *Chem. Phys. Lett.* 1982, 87(4), 397-9 (Eng). IR spectral observations of highly oriented  $SF_6$  mols. on low-symmetry sites in Xe matrixes formed at 10 K are reported. This study offers proof of earlier interpretation of site-symmetry splitting and dynamic averaging of  $SF_6$  in Xe matrixes.

lk crekmp  
8 deampuze

C. A. 1982, 96, N 24.

SF<sub>6</sub>

Оттиск 13893 1982

| 9 Д441. Предпочитительная ориентация примесных  
молекул в низкотемпературных матрицах: SF<sub>6</sub> в ксено-  
не. Preferred orientation of guest molecules in low-tem-  
perature matrices: SF<sub>6</sub> in xenon. Jones Llewellyn H.; Swanson Basil I., Fry H. A. «Chem.  
Phys. Lett.», 1982, 87, № 4, 397—399 (англ.)

При т-ре 10 К с помощью фурье-спектрометра с вы-  
соким разрешением ( $0,035 \text{ см}^{-1}$ ) исследованы спектры  
ИК-поглощения полосы  $\nu_3$  ( $933 \text{ см}^{-1}$ ) молекул SF<sub>6</sub>, изо-  
лированных в матрицах твердого Xe (степень разбав-

ИК спектр

оф. 1982, 18, № 9

ления 1 : 1000). Осаждение проводилось на охлаждаемые до 10 К подложки CsJ. Установлено, что трехкратно вырожденное колебание  $v_3$  в матрицах Хе расщепляется на дублет (величина расщепления 0,3 см<sup>-1</sup>). Поляризационные изменения указывают, что одна из компонент дублета поляризована в плоскости подложки, а другая — перпендикулярно этой плоскости. Высказано предположение, что наблюдаемое расщепление обусловлено анизотропией матричного окружения молекул SF<sub>6</sub>. Такая анизотропия возникает в результате упорядоченного осаждения пленок Хе на подложки при т-ре 10 К. Сопоставление с результатами других работ позволяет предположить, что при осаждении происходит преимущественная ориентация направления (1,1,1) кубич. структуры Хе перпендикулярно поверхности подложки. В матрицах, полученных осаждением при 30 К, расщепление колебательных линий SF<sub>6</sub> не наблюдалось.

С. П.

*SF<sub>6</sub>*

Om. 14899

1982

97: 133930c The temperature dependence of the molecular structure parameters in sulfur hexafluoride. Kelley, Michael H.; Fink, M. (Dep. Phys., Univ. Texas, Austin, TX 78712 USA). *J. Chem. Phys.* 1982, 77(4), 1813-17 (Eng). The importance of anharmonic vibrational effects in SF<sub>6</sub> was demonstrated by the dependence of the mol. structure ~~on~~ temp. The apparent interat. distances and mean vibrational amplitudes were measured at 200-500 K, and are compared with existing theories. Though the mean amplitudes were well modeled by the usual normal-coordinate anal., the increase with temp. of the apparent interat. distances was significantly greater than predicted either by harmonic-normal-mode anal. or the Morse potential function. However, the combination of these approxns. described the exptl. results quite well. Inclusion of stretching anharmonicity, nonbonded fluorine repulsions, and stretch-bend interactions in a modified Uray-Bradley potential also gave agreement for the bonded distance. However, the dependence on the temp. of the nonbonded distances is at present not adequately accounted for.

C.A. 1982, 97, N 16

SF<sub>6</sub>

Омск 14899 1982

) 2 Д48. Температурная зависимость структурных параметров молекулы SF<sub>6</sub>. The temperature dependence of the molecular structure parameters in SF<sub>6</sub>. Kelley Michael H., Fink M. «J. Chem. Phys.», 1982, 77 № 4, 1813—1817 (англ.)

Методом дифракции электронов измерены межатомные расстояния и средние амплитуды колебаний молекул SF<sub>6</sub> при т-рах 200—500 К. Показано, что температурная зависимость средних амплитуд колебаний удовлетворительно описывается в рамках гармонич. модели силового поля. Однако наблюдаемый рост межатомных расстояний значительно выше, чем рост, вычисленный для гармонич. потенциала или для ф-ции Морза. Учет ангармоничности валентных колебаний, взаимодействия несвязанных атомов фтора и взаимодействия валентных и деформационных координат в силовом поле Юри—Бредли приводит к лучшему согласию с экспериментом для температурной зависимости длин валентных связей, хотя сильное расхождение с экспериментом для расстояний между несвязанными атомами фтора сохраняется

структур  
параметры

р. 1983, 18,  
№ 2

М. Р. Алиев

*SF<sub>6</sub>*

Опись 14899 1982

2 Б103. Температурная зависимость молекулярных структурных параметров в SF<sub>6</sub>. The temperature dependence of the molecular structure parameters in SF<sub>6</sub>. Kelley Michael H., Fink M. «J. Chem. Phys.», 1982, 77, № 4, 1813—1817 (англ.)

Методом газовой электронографии изучена т-рная зависимость эффективных межъядерных расстояний и амплитуд колебаний молекулы SF<sub>6</sub> в т-рном интервале 200—500 К. Найдено, что т-рная зависимость амплитуд колебаний хорошо воспроизводится обычным решением колебательной задачи в гармонич. приближении, что не имеет места для эффективных межъядерных расстояний даже при использовании потенциальной ф-ции Морза. Однако, комбинация этих приближений удовлетворительно аппроксимирует эксперим. данные для межъядерных расстояний между связанными атомами. Такие же удовлетворительные результаты получены при использовании модифицированного поля Юри-Бредли с учетом ангармоничности вал. кол. отталкивания.

*ЧелМетИГиСС  
СпецКурс*

X. 1983, 19, № 2

между несвязанными атомами фтора и взаимодействия  
растяжения связей и деформации валентных углов.  
Вместе с тем ни одна из использованных моделей не  
дает удовлетворительной аппроксимации т-рной зависи-  
мости расстояний между несвязанными атомами.

В. Спиридонов

едли  
и?

*SF<sub>6</sub>*

1982

3 Б1039. Уточнение метода МО ЛКАО Рюденберга—  
Малликена и расчет молекулы SF<sub>6</sub>. Кирсанов В. В.,  
Цхай В. А. «Теор. и эксперим. химия», 1982, 18, № 6,  
654—665

Для матричных элементов одноэлектронного гамильтониана в приближении Рюденберга—Малликена получены более точные выражения, основанные на приближении Малликена и аппроксимации двухцентровых интегралов одноцентровыми. В кач-ве примера проведены расчеты электронного строения молекулы SF<sub>6</sub> при равновесном межъядерном расстоянии  $R_{SF}=1,58$  Å в базисе валентных АО слейтеровского типа с экспонентами по Клементи. Результаты расчетов сопоставлены с результатами метода Малликена—Вольфсберга—Гельмгольца, ППДП,  $X_{\alpha}$ -РВ, неэмпирич. ССП, а также с эксперим. данными рентгеноэлектронной спектроскопии. Предложенная модифицированная схема по времени счета не более, чем на порядок, превосходит простейший метод МВГ и остается значительно экономичнее метода  $X_{\alpha}$ -РВ, при этом результаты хорошо согласуются с экспериментом и с более точными неэмпирич. расчетами. А. Багатурьянц

*X. 1984, 19, N 3*

*SF<sub>6</sub>*

1982

1 Д158. Уточнение метода МО ЛКАО Рюденберга —  
Малликена и расчет молекулы SF<sub>6</sub>. Кирсанов В. В.,  
Цхай В. А. «Теор. и эксперим. химия», 1982, 18, № 6,  
654—665

Полуэмпирический метод МО ЛКАО Рюденберга —  
Малликена (PM) для расчета электронной структуры  
молекул и кластеров усовершенствован путем уточне-  
ния аппроксимации матричных элементов гамильтониа-  
на. Введена также аппроксимация 2-центровых 2-элек-  
тронных кулоновских интегралов 1-электронными. Пред-  
ставлены результаты расчета молекулы SF<sub>6</sub> модифици-  
рованным методом PM.

Н. В.

*расчет М.П.  
структур*

90.1984, 18, N/

SF<sub>6</sub>

1982

CHEMIS

1982: 116076g Multiphoton IR excitation spectra of a sulfur hexafluoride molecule with the allowance for the share of particles interacting with the field. Kolomiiskii, Yu. R.; Marchuk, V. S.; Ryabov, E. A. (Inst. Spektrosk., Troitsk, USSR). *Kvantovaya Elektron. (Moscow)* 1982, 9(9), 1768-73 (Russ). A new method is suggested for detn. of the share of particles interacting with the field under multiphoton mol. excitation. The method is based on satn. of the IR absorption due to hastening of the rotational relaxation by the buffer gas. The true spectrum of the SF<sub>6</sub> mol. excitation in the IR laser field was measured using this method. Parameters of rotational and translational relaxation in the SF<sub>6</sub>-N<sub>2</sub> system are estd.

C.A. 1983, 98, N 14

*SF<sub>6</sub>*

*1982*

2 Д512. Регистрация возбуждения молекулярного пучка лазером CO<sub>2</sub> по спонтанному комбинационному рассеянию. CO<sub>2</sub>-laser excitation of a molecular beam monitored by spontaneous Raman effect. Luijks G., Stolte S., Reuss J. «Raman Spectrosc.: Linear and Nonlinear. Proc. Int. Conf., Bordeaux, 6—11 Sept., 1982», Chichester e. a., 1982, 255—256 (англ.)

По спектру комб. рас. измерена колебательная (по полосе  $\nu_1$ ) и вращательная (по полосе  $\nu_2$ ) т-ры молекулярного пучка SF<sub>6</sub>, свободно расширяющегося через сопло диаметром 0,25 мм, в зависимости от расстояния от сопла, помещенного внутрь резонатора Ar<sup>+</sup>-лазера. Те же измерения проведены при накачке молекул SF<sub>6</sub> через полосу  $\nu_3$  излучением лазера CO<sub>2</sub>. Установлено, что за время менее нескольких микросекунд устанавливается внутримодовое равновесие и далее при расширении струи колебательная т-ра не меняется. Изменения вращательной т-ры также не происходит. С помощью модуляционной техники измерена частота валентного колебания димера (SF<sub>6</sub>)<sub>2</sub>, равная 4 см<sup>-1</sup>. М. В. Т.

*Ф. 1983, 18,  
№ 2*

*(+/-)*

$SF_6$

1982

Marowsky, G.; Schultz,  
A.

(KAPC)

Proc. Int. Conf. dasers  
1981 (Pub. 1982), 430-2.

(acc.  $UF_6$ ; III.)

SF<sub>6</sub>

1982

[Om. 15572]

198: 62411s Frequencies and probability of third-order transitions  
in the spectrum of sulfur hexafluoride. Melikova, S. M.;  
Shchepkin, D. N. (USSR). Opt. Spektrosk. 1982, 53(6), 1019-24  
(Russ). The spectrum was studied of a soln. of SF<sub>6</sub> in liq. Ar in the  
region of 3rd-order with respect to the modes  $\nu_1$ ,  $\nu_2$ , and  $\nu_3$ . In the  
region of  $3\nu_3$ , 2 bands were obsd. with frequencies 2816 and 2800  
 $\text{cm}^{-1}$ . On the basis of exptl. values of the frequencies, parameters of  
anharmonicity were estd. and the structure of the vibrational levels  
of the  $\nu_3$  mode was called.

lik crezno  
b manuse

$\nu_1 + \nu_3$

L.A. 1983, 98, N 8.

*SF<sub>6</sub>*

*On. 15572*

*1982*

4 Д509. Частоты и вероятности переходов третьего порядка в спектре SF<sub>6</sub>. Меликова С. М., Щепкин Д. Н. «Оптика и спектроскопия», 1982, 53, № 6, 1019—1024

Исследован спектр поглощения раствора SF<sub>6</sub> в жидким Аг при т-ре 90°К в области переходов 3-го порядка по модам ν<sub>1</sub>, ν<sub>2</sub> и ν<sub>3</sub>. В области 3 ν<sub>3</sub> наблюдались две компоненты на частотах 2816 см<sup>-1</sup> и 2800 см<sup>-1</sup> с отношением интенсивностей соответственно 1 : 100. Для подтверждения интерпретации были рассчитаны частоты и интенсивности с использованием простейшей ангармонической потенц. ф-ции (Морзе). На основании эксперим. значений частот оценены параметры ангармоничности  $x_{33} = -1,4 \pm 0,3$  см<sup>-1</sup>,  $g_{33} = 0,8 \pm 0,3$  см<sup>-1</sup>,  $t_{33} = -0,4 \pm 0,04$  см<sup>-1</sup> и рассчитана структура колебательных уровней моды ν<sub>3</sub>.

Автореферат

*Ф. 1982, 18, N 4.*

$SF_6$

Om. 15572

1982

6 Б288. Частоты и вероятности переходов третьего порядка в спектре  $SF_6$ . Меликова С. М., Щепкин Д. Н. «Оптика и спектроскопия», 1982, 53, № 6, 1019—1024

Исследован спектр р-ра  $SF_6$  в жидк. Аг в области переходов третьего порядка по модам  $\nu_1$ ,  $\nu_2$ ,  $\nu_3$ . В области  $3\nu_3$  наблюдались две полосы с частотами 2816 и 2800  $\text{см}^{-1}$ . На основании эксперим. значений частот оценены параметры ангармоничности и рассчитана структура колебательных уровней моды  $\nu_3$ . Показано, что применение простейшей «диагональной» потенциальной функции и «диагонального» разложения функции дипольного момента приводит к удовлетворительному согласию расчета с экспериментом при описании вал. кол. молекулы  $SF_6$ .

Г. К.

X. 1983, 19, N6

*SF<sub>6</sub>*

1982

10 Б237. Многофотонное поглощение и структура колебательно-вращательных уровней в молекулах типа сферического волчка. The ro-vibrational structure of spherical top molecules and their multi-photon absorption.

Patterson C. W. «Abstr. Pap. presented Pittsburgh Conf. and Expo. Anal. Chem. and Appl. Spectrosc., Atlantic City, N. Y., March 8—13, 1982», S. I. s. a., 688 (англ.)

Спектр

Наблюдаемые регулярности в ИК-спектрах основных полос, обертонаов и комбинац. тонов в тяжелых молекулах сферич. типа, таких как SF<sub>6</sub>, UF<sub>6</sub>, CF<sub>4</sub>, SiF<sub>4</sub>, объяснены на основе модели вращающейся вокруг выбранных внутренних осей симметрии молекулы. В рамках этой модели дан анализ спектров высокого разрешения обертонаов молекул сферич. типа и объяснено многофотонное поглощение для первых нескольких скачков по колебательной лестнице. Наблюдано поведение типа локальной моды, являющееся основным для понимания динамики многофотонного поглощения в этих молекулах.

Б. М. Михайлов

(+3)

Х. 1983, 19,  
N 10

$\delta F_6$

1982

(Di)

96: 132462u Doppler-limited spectrum and analysis of the  $2\nu_1 + \nu_3$  band of sulfur hexafluoride. Pine, A. S.; Patterson, C. W. (Mol. Spectrosc. Div., Natl. Bur. Stand., Washington, DC 20234 USA). *J. Mol. Spectrosc.* 1982, 92(1), 18-32 (Eng.). The Doppler-limited spectrum of the  $2\nu_1 + \nu_3$  band of SF<sub>6</sub> was recorded at 160 and 295 K using a tunable laser difference-frequency spectrometer. The lower temp. eliminates complications from hot bands and reduces the Doppler width, thereby enhancing the resoln. and ground-state intensities. An anal. of the band based on an isolated  $l = 1$   $F_{1,2}$  mode yields rotational consts. in good agreement with those predicted from the  $\nu_1$  and  $\nu_3$  fundamentals. Small perturbations are obsd. indicating resonant crossings with nearby vibrations. The  $X_{11}$  anharmonic const. is obtained from the band center and previous measurements of  $\nu_1$ ,  $\nu_3$  and  $\nu_1 + \nu_3$ ; this is the final parameter needed to calc. the entire  $n\nu_1 + n\nu_3$  combination ladder.

C.A. 1982, 96, N16

*SF<sub>6</sub>*

*1982*

9 Д436. Спектр высокого разрешения и анализ полосы  $2v_1 + v_3$  SF<sub>6</sub>. Doppler-limited spectrum and analysis of the  $2v_1 + v_3$  band of SF<sub>6</sub>. Pine A. S., Patterson C. W. «J. Mol. Spectrosc.», 1982, 92, № 1, 18—32 (англ.)

Получены спектры ИК-поглощения газообразной SF<sub>6</sub> при т-рах 160 и 295 К в слое 64 м при давл. 2 мм рт. ст. в области ~4 мкм. Для регистрации использован лазерный спектрометр, работающий на разности частот генерации лазеров (аргонового со стабилизированной частотой и перестраиваемого на красителе). Разрешающая способность ограничивалась доплеровской шириной линий, точность определения частот составляла  $5 \cdot 10^{-5}$  см<sup>-1</sup>. Приведены частоты изолированных линий, использованные для дальнейшего анализа, и их отнесение к колебательно-вращательным переходам в полосе  $2v_1 + v_3$  с J до 50 в ветвях R и Q и с J до 38 в

*φ. 1982, 18, № 9*

ветви  $P$ . При интерпретации использован гамильтониан с включением недиагональных членов кориолисова взаимодействия подуровней. Расхождение рассчитанных частот с измеренными связано с неучетом дополнительных возмущений предположительно со стороны колебания  $2v_3 + v_4$ . По пиковым интенсивностям линий определены их интегр. интенсивности, из этих данных рассчитаны интегр. интенсивность полосы и матричный элемент дипольного момента перехода, равный  $7,1 \cdot 10^{-4}$  ед. Дебая. Библ. 28.

М. В. Тонков

5.  
л.)

1982

SF<sub>6</sub>D<sub>i</sub>, II. I.

17 Б250. Спектр с разрешением ограниченным доплеровским уширением и анализ полосы  $2\nu_1 + \nu_3$  SF<sub>6</sub>. Pine A. S., Patterson C. W. Doppler-limited spectrum and analysis of the  $2\nu_1 + \nu_3$  band of SF<sub>6</sub>. «J. Mol. Spectrosc.», 1982, 92, № 1, 18—32 (англ.)

Спектр поглощения полосы  $2\nu_1 + \nu_3$  SF<sub>6</sub> записан при т-рах 160 и 295 К с помощью перестраиваемого разностно-частотного лазерного спектрометра с разрешением ограниченным доплеровским уширением. Колебательно-вращательные переходы идентифицированы численным моделированием контура полосы и обработаны МНК, используя гамильтониан для невзаимодействующей  $l=1 F_{1u}$  моды. Полученные вращательные постоянные хорошо согласуются с постоянными для  $\nu_1$  и  $\nu_3$  полос. Определена постоянная ангармоничности  $X_{11}$  из данных о частотах центров полосы  $2\nu_1 + \nu_3$  и измеренных ранее полос  $\nu_1$ ,  $\nu_3$  и  $\nu_1 + \nu_3$ . Обсуждены нек-рые резонансы пересечения близких колебательных состояний, к-рые приводят к малым возмущениям наблюденным в спектре. Из анализа ин-

Х. 1982, 19, N/7.

тенсивностей изолированных линий определен средний  
дипольный момент перехода,  $\mu_{113}=7,1 \cdot 10^{-4} D$ .

В. М. Михайлов

спол.  
из?

SF<sub>6</sub>

1982

ІД534. Расчеты ab initio первых и вторых производных функции электрического дипольного момента некоторых активных в ИК-поглощении мод SF<sub>6</sub>. An ab initio calculation of first and second derivatives of the electric dipole moment function for certain infrared-active modes of SF<sub>6</sub>. Scanlon Kerin, Eades Robert A., Dixon David A. «Spectrochim. acta», 1982, А38, № 8, 849—853 (англ.)

Рассчитаны ab initio колебательные частоты  $\omega_3$  и  $\omega_4$ , первые производные дипольного момента  $M$  по норм. координатам  $\partial M_x / \partial Q_{3x}$  и  $\partial M_x / \partial Q_{4x}$ , а также его вторые производные  $\partial^2 M_x / \partial Q_1 \partial Q_{3x}$  и  $\partial^2 M_x / \partial Q_a \partial Q_{3x}$  для молекулы SF<sub>6</sub>. При расчетах использован двойной  $\zeta$ -базис, дополненный набором d-ф-ций серы и L-матрица, рассчитанная по найденному из эксперимента силовому полю. Вычисленные по рассчитанным производным дипольного момента интенсивности ИК-полос удовлетворительно согласуются с эксперим. данными. Библ. 20. М. В. Т.

Сдел. 10 см.

9. 1983, 18, N/

*SF<sub>6</sub>*

Отмече 15326 1982

2 Б81. Неэмпирический расчет первых и вторых производных функции электрического дипольного момента для некоторых колебаний SF<sub>6</sub>, активных в инфракрасных спектрах. An ab initio calculation of first and second derivatives of the electric dipole moment function for certain infrared-active modes of SF<sub>6</sub>. Scanlon K., Eades R. A., Dixon D. A. «Spectrochim. acta», 1982, A38, № 8, 849—853 (англ.)

Использованы  
составлены,

*D.L.*

Неэмпирическим методом МО ЛКАО ССП в приближении конечных разностей рассчитаны первые и вторые производные функции дипольного момента молекулы SF<sub>6</sub>. Расчеты выполнены в двухэкспонентном базисе, дополненном 3d-функциями серы. Использованы нормальные координаты, а также эксперим. параметры силового поля и длины связи S—F (1,564 Å). Представлены результаты расчета гармонич. частот колебаний Q<sub>3</sub> и Q<sub>4</sub> 1084 и 648 см<sup>-1</sup> и их относит. интен-

Х. 1983, 19, № 2

сивности. Рассчитаны также вторые производные функции дипольного момента для сложных колебаний типа  $Q_1 + Q_{3x}$  и  $Q_{2\delta} + Q_{4x}$ , равные соотв. 0,0522 и -0,0119 е/ат. ед. А. Проведено сопоставление полученных результатов с лит. (в базисе ОСТ-ЗГФ) и с эксперим. данными.

С. Долин

*SF<sub>6</sub>*

Оп. 15811

1982

10 Б233. Спектроскопия когерентного антистоксова комбинационного рассеяния SF<sub>6</sub> и UF<sub>6</sub>. CARS spectroscopy of SF<sub>6</sub> and UF<sub>6</sub>. Schultz A., Magowsky G. «Appl. Phys.», 1982, B29, № 4, 255—262 (англ.)

Изучены спектры КАРС газ. SF<sub>6</sub> (I) в стационарных условиях при давл.  $p \sim 20$  Торр и различных т-рах ( $T = 196—347$  К) и UF<sub>6</sub> (II) ( $p \sim 70$  Торр,  $T \sim 300$  К) в области полос  $\nu_1$  (I) = 774 см<sup>-1</sup> и  $\nu_1$  (II) = 667 см<sup>-1</sup>, а также в расширяющейся сверхзвуковой струе. Спектры возбуждали двумя перестраиваемыми в области 550—590 нм импульсными лазерами на красителях, работающими при накачке от второй гармоники Nd—АИГ-лазера. Анализ контуров полос позволил выделить составные тоны и «горячие полосы», попадающие в область полос  $\nu_1$ . Отмечено сильное охлаждение I и II в струе (до  $T_{\text{кол}} \sim 210$  К и  $T_{\text{вр}} \sim 190$  К). Подчеркнута перспективность метода КАРС для исследования газов под давл. ~50 мТорр с высоким (~50 мкм) пространственным разрешением.

А. В. Бобров

(4)   
x. 1983, 19, N 10

$SF_6$

1982

Om. 15811

98: 43358p CARS spectroscopy of sulfur hexafluoride and uranium hexafluoride. Schultz, A.; Marowsky, G. (Uranit G.m.b.H., D-5170 Juelich, Fed. Rep. Ger.). *Appl. Phys., [Part] B* 1982, B29(4), 255-62 (Eng). CARS spectra of the  $\nu_1$ -band of  $SF_6$  and  $UF_6$  performed under (static) cell conditions and under supersonic jet expansion were recorded. The cooling behavior in supersonic jet expansions was demonstrated for both gases.

(D<sub>1</sub>)

~~(A)~~ (H)  $UF_6$

C. A. 1983, 98, N6.

$SF_6$

Omnick 14662

1982

Siegbarth K.,

Rev. Mod. Phys., 1982,  
54, n.3, 709-728.



SF<sub>6</sub>

1982

Smirnov V. V.

Chirkov  
V. P.  
KAKP,  
Di,  
Raman Spectrosc.: Linear  
and Nonlinear Proc.  
8 Int. Conf., Bordeaux,  
6-11 Sept., 1982, Chichester  
e. a., 1983, 259-268.

(cav. CH<sub>4</sub>; III)

*SF<sub>6</sub>*

*1982*

1 Б102. Химия отрицательных ионов и сродство к электрону SF<sub>6</sub>. Negative ion chemistry and the electron affinity of SF<sub>6</sub>. Streit Gerald E. «J. Chem. Phys.», 1982, 77, № 2, 826—833 (англ.)

Методом потока после разряда подробно исследованы ион-молек. р-ции с участием SF<sub>6</sub> и SF<sub>6</sub><sup>-</sup> при коминтре. Исследованные р-ции включают перенос заряда, диссоциативный перенос заряда и перенос заряда с р-цией. В кач-ве реагента использовались около 30 различных молекул. На основании анализа исследованных р-ций получены пределы для сродства к электрону (СЭ) 0,74 эВ < СЭ < 1,09 эВ и рекомендуемое значение СЭ = 1,0 ± 0,2 эВ. Отличие этой величины от оценки по порогу образования ионной пары из SF<sub>6</sub> (0,5 эВ) объяснено образованием возбужденных SF<sub>6</sub><sup>-</sup> в пороговых экспериментах. Получены значения констант скоростей около 30 р-ций. Обнаружено, что большинство р-ций, в к-рых происходит переход SF<sub>6</sub> в SF<sub>6</sub><sup>-</sup> или, наоборот, имеют скорости в 1,2—30 раз меньшие ланжевеновских, что объяснено сильным отличием длин связей в SF<sub>6</sub> и SF<sub>6</sub><sup>-</sup>.

Е. Николаев

*Ae;*

*X. 1983, 19, N.*

*SF<sub>6</sub>*

*1982*

1 Д295. Химия отрицательных ионов и сродство к электрону для SF<sub>6</sub>. Negative ion chemistry and the electron affinity of SF<sub>6</sub>. Streit Gerald E. «J. Chem. Phys.», 1982, 77, № 2, 826—833 (англ.)

В послесвечении разряда с протоком газа при комнатной т-ре исследованы ион-молекулярные реакции с участием SF<sub>6</sub> и SF<sub>6</sub><sup>-</sup> и молекул CCl<sub>4</sub>, CF<sub>3</sub>J, CF<sub>2</sub>ClBr, CHBr<sub>3</sub>, C<sub>2</sub>F<sub>5</sub>Br, C<sub>2</sub>F<sub>4</sub>JBr, C<sub>2</sub>F<sub>4</sub>Br<sub>2</sub>, C<sub>2</sub>F<sub>3</sub>Br<sub>2</sub>Cl, NF<sub>3</sub>, NOCl, NOF, NO<sub>2</sub>F, F<sub>2</sub>, Cl<sub>2</sub>, Br<sub>2</sub>, JCl, JBr, ClF<sub>3</sub>, SOCl<sub>2</sub>, SO<sub>2</sub>Cl<sub>2</sub>, O<sub>2</sub>, NO<sub>2</sub>, SO<sub>2</sub>, HBr, HCl. Найдены или оценены константы скоростей реакций с участием иона SF<sub>6</sub><sup>-</sup> и указанных молекул. Из анализа данных рекомендуется значение энергии сродства электронов для SF<sub>6</sub>, равное 1,0÷0,2 эВ.

Б. Ф. Гордиец

*9.1983, 18, n1*

SF<sub>6</sub>

1982

(Ae)

197: 150958k Negative ion chemistry and the electron affinity of sulfur hexafluoride. Streit, Gerald E. (Los Alamos Natl. Lab., Los Alamos, NM 87545 USA). *J. Chem. Phys.* 1982, 77(2), 826-33 (Eng). An extensive study of neg. ion-mol. chem. involving SF<sub>6</sub> and SF<sub>6</sub><sup>-</sup> was made by using the room-temp. flowing-afterglow technique. Based on a series of limit detns., the recommended value of the electron affinity is E.A.(SF<sub>6</sub>) = 1.0 ± 0.2 eV. The discrepancy between this value and several previous detns. of E.A.(SF<sub>6</sub>) is discussed in terms of systematic exptl. conditions and the formation of an excited state of SF<sub>6</sub><sup>-</sup>. A larger no. of reaction rate coeffs. as well as qual. observations of reaction mechanisms are presented.

C.A. 1982, 97, N 18

*SF<sub>6</sub>*

On. 14907 1982.

1 Д532. Улучшенное ангармоническое силовое поле молекулы SF<sub>6</sub> с учетом взаимодействия валентно не связанных атомов F. An improved anharmonic force field for SF<sub>6</sub> which includes F—F nonbonded interactions. Suzuki Isao, Overend John. «Spectrochim. acta», 1982, A 38, № 7, 767—772 (англ.)

Рассчитано ангармоническое силовое поле молекулы SF<sub>6</sub> с учетом взаимодействия валентно не связанных атомов F. Взаимодействие атомов F описано с помощью потенциала типа Леннард-Джонса, а все валентные взаимодействия — с помощью потенциала Морзе. Параметры модельных потенциалов определены с помощью процедуры подгонки расчетного и экспериментальных спектров.

В. А. Е.

*Ал. РОСМ.*

*9.1983, 18, n1*

SF<sub>6</sub>

Омск 14907 1982

Д 2 Б185. Усовершенствованное ангармоническое силовое поле для SF<sub>6</sub>, включающее взаимодействия несвязанных атомов F—F. An improved anharmonic force field for SF<sub>6</sub> which includes F—F nonbonded interactions. Suzuki Isao, Overend John. «Spectrochim. acta», 1982, A38, № 7, 767—772 (англ.)

Смоделировано ангармонич. силовое поле SF<sub>6</sub> типа Юри—Бредли, в к-рое включены взаимодействия несвязанных атомов F, представленные потенциалом Леннард-Джонса 6 : 12. Чтобы смоделировать ангармоничность в валентных координатах, использована ф-ция Морзе. Все использованные параметры уточнены МНК. Согласие с эксперим. данными в этом приближении существенно лучше, чем без использования взаимодействий несвязанных атомов. Полученные параметры использованы для предсказания энергий возбужденных колебательных состояний  $v_3 : 2v_3(F_{2g}) = 1895,59$ ,  $2v_3(E_g) = 1892,59$  и  $2v_3(A_{1g}) = 1890,19 \text{ см}^{-1}$ ; полученные результаты хорошо согласуются с эксперим. величинами.

Е. Разумова

X. 1983, 19,  
112

SF<sub>6</sub>

Lommel 14907

1982

97: 171446g An improved anharmonic force field for sulfur hexafluoride which includes fluorine-fluorine nonbonded interactions. Suzuki, Isao; Overend, John (Dep. Chem., Univ. Minnesota, Minneapolis, MN 55455 USA). *Spectrochim. Acta, Part A* 1982, 38A(7), 767-72 (Eng). An anharmonic force field for SF<sub>6</sub> in which nonbonded F-F interactions were explicitly included was explored. The F-F interaction force consts. were modeled with a Lennard-Jones potential using values of the parameters transferred from quadratic force-const. calcns. A Morse function was used to model the anharmonicity in the valence-bond stretching coordinates. The parameters of the model were adjusted by least squares to some of the available exptl. data and were used to predict energies of excited vibrational states in the  $v_3$  manifold.

Anamariah.

Clenoff

None

C.A. 1982, 97, N 20.

SF<sub>6</sub>

1983

} 9 Б4334. Прямое наблюдение методом когерентного антистоксова комбинационного рассеяния возбужденных инфракрасным излучением колебательных состояний гексафторида серы. Direct CARS observation of IR-excited vibrational states of sulfur hexafluoride. Alimpi-  
ev S. S., Zikrin B. O., Holz L., Nikiforov S. M., Smirnov V. V., Sartakov B. G., Fabelinskii V. I., Shtarkov A. L. «Laser Spectrosc. 6». Berlin e. a., 1983, 336—337 (англ.)

спектр

Методом спектроскопии когерентного антистоксова КР изучена динамика убыли заселенности колебат. уровня  $\nu_3$  SF<sub>6</sub> при возбуждении импульсным лазером на CO<sub>2</sub> (длительность импульса 40 нс) при давл. 0,05—0,2 Торр и т-ре 150 К (уровень возбуждения  $\sim 0,8$  квант/молекула). Показано, что время колебат. релаксации уровня  $\nu_3$  обратно пропорционально давл. SF<sub>6</sub> (оно составляет  $31 \pm 3$ ;  $17 \pm 4$  и  $10 \pm 5$  нс·Торр для уровней  $\nu_3$ ,  $2\nu_3$  и  $3\nu_3$  соотв.) и не зависит от давл. разбавляющего газа

X. 1985, 19, N9.

Xe (разбавление в отношении 1:9 при полном давл. 0,5 Торр). Имеется также более медленный процесс столкновит. релаксации с характеристич. временем  $\sim 700$  нс. Торр, приводящий к дезактивации колебат. моды  $v_3$  и заселению уровней  $v_4$ ,  $2v_4$  и  $v_3+v_4$ , что приводит к появлению в спектре новых линий.

В. Е. Скурат



*SF<sub>6</sub>*

1983

4 Б1194. Когерентная спектроскопия высоких колебательных состояний многоатомных молекул. Спектральные характеристики квазиконтинуума. Амбарцумян Р. В., Ахманов С. А., Гладков С. М., Задков В. Н., Евсеев А. В., Каримов М. Г., Коротеев Н. И., Пурецкий А. А. «Изв. АН СССР. Сер. физ.», 1983, 47, № 10; Материалы 11 Всес. конф. по когерент. и нелинейн. оптике, Ереван, 22—25 нояб., 1982, 1931—1939

( $\nu_i$ )

Методом активной спектроскопии КР света (АСКР) исследованы колебательно-возбужденные импульсным CO<sub>2</sub>-лазером и термически возбужденные молекулы газ. SF<sub>6</sub>. Проведен теор. расчет спектров АСКР моды  $\nu_1$  термически возбужденных молекул SF<sub>6</sub>. Даны оценка однородной ширины переходов в области колебательного квазиконтинуума молекулы SF<sub>6</sub>. Из резюме

Х. 1984, 19, № 4

*SF<sub>6</sub>*

*1983*

5 Л215. Теоретическое исследование квазиконтинуума SF<sub>6</sub>. Однородная ширина линий, изотопная селективность, вращательный разогрев. Theoretical study of the SF<sub>6</sub> quasi-continuum. Homogeneous linewidth, isotopic selectivity, rotational heating. Angelie C., Millié P. «Chem. Phys.», 1983, 82, № 1—2, 171—197  
(англ.)

*Ширина линий  
изотопов.  
Селективность*

Из эксперим. данных по многофотонному поглощению SF<sub>6</sub> в области около 944,2 см<sup>-1</sup> теоретически рассчитана однородная ширина  $\gamma(E^v)$  разложения гармонич. базиса колебательных состояний SF<sub>6</sub> в области квазиселективности

*cf. 1984, 18, N 5*

континуума. Результат расчета показывает очень малую чувствительность к колебательно-вращательному распределению. Величина  $\gamma(E^v)$  меняется от 1,1 см<sup>-1</sup> для  $\langle q \rangle = 10$  до 6,3 см<sup>-1</sup> для  $\langle q \rangle = 34$  (уровень диссоциации), где  $\langle q \rangle$  — число поглощенных фотонов. По значениям  $\gamma(E^v)$  найдены внутримолекулярные времена релаксации  $\tau(E^v)$ , равные 4,8 пс при  $\langle q \rangle = 10$  и 0,84 пс при  $\langle q \rangle = 34$ . Рассчитана изотопич. чувствительность  $A_{32/34}$  для возбуждения  $^{32}\text{SF}_6$  и  $^{34}\text{SF}_6$  при 944,2 см<sup>-1</sup>, эта величина меняется от 2,8 для  $\langle q \rangle = 10$  до 1,35 для  $\langle q \rangle = 34$ . Установлена связь разогрева вращательного ансамбля с величиной  $\langle q \rangle$ . Сравнение рассчитанного с найденной величиной  $\gamma(E^v)$  спектра испускания с эксперим. данными для 1780 К показывает необходимость учета кориолисова взаимодействия для всех обертонов  $v_3$ , включая квазиконтинуум. Обсуждается роль ангармонич. расщепления в образовании квазиконтинуума. Библ. 54.

М. В. Т.

*SF<sub>6</sub>*

1983

) 21 Б84. Межмолекулярное многократное рассеяние электронов. I. Теория. Intermolecular multiple scattering of electrons. I. Theory. Bartell Lawrence S., Jin Anding. «J. Chem. Phys.», 1983, 78, № 12, 7159—7164 (англ.)

Теоретически исследованы вопросы межмолек. рассеяния электронов в газе. Получены явные выражения для дифференциальных сечений рассеяния, соответствующие двукратному, трехкратному и т. д. рассеянию и для парц. вкладов каждого из них в полную интенсивность. Выполнены иллюстративные расчеты интенсивностей рассеяния электронов при различных давл. в электронографич. исследовании лазерно-возбужденных молекул SF<sub>6</sub>.

В. Спиридонов

межмолекул  
рассеяние  
электронов  
в  
газе.

X. 1983, 19, № 21

*SF<sub>6</sub>*

1983

11 Д74. Симметрийно адаптированные функции.  
Молекулярные колебания. Symmetry-adapted functions.  
Molecular vibrations. Butler P. H., Ford A. M.,  
Reid M. F. «J. Phys. B: Atom. and Mol. Phys.», 1983,  
16, № 6, 967—974 (англ.)

Предложен метод для построения симметрийно адаптированных молекулярных ф-ций, связанных с данным набором 3-jm-символов. При этом не требуется использования матриц неприводимого представления или проекционных операторов, поскольку вся основная теоретико-групповая информация содержится в 3-jm-символах группы молекулярной симметрии. Найдены неприводимые базисные ф-ции для молекулярных колебаний. Отмечены преимущества предложенного метода при изучении взаимодействия колебательного и вращательного движений. В качестве примера рассмотрена молекула SF<sub>6</sub>.

Б. Д. Ф.

90.1983, 18, N 11

S'F<sub>6</sub>

1983

Chen E.C.M., Wentworth  
W.E.

Ae;

Z. Phys. Chem., 1983, 87,  
N/1, 45-49.

(Cass. NO; III)

SF<sub>6</sub>

Om: 16798

1983

98: 169631r Relative intensities of P, Q, and R branches of  $\nu_4$  of sulfur hexafluoride. Chin, Steven; Person, Willis B. (Dep. Chem., Univ. Florida, Gainesville, FL 32611 USA). *J. Mol. Spectrosc.* 1983, 98(1), 258-61 (Eng). Intensities of the P, Q, and R branches in the FSF bending mode in  $\nu_4$  of SF<sub>6</sub> were measured. The baseline parallel to the drawn-in baseline was adjusted until the (R + P)/Q ratio was close to 2.0. The value for the abs. intensity of the entire  $\nu_4$  band compares favorably with other values from the literature. The R-branch intensity is greater than the P-branch intensity of  $\nu_4$  in SF<sub>6</sub> by 38% (R/P = 1.38). This ratio is significantly greater than is expected just from the population difference and is due to Coriolis coupling with  $\nu_3$ .

REMEMBER  
CHECK MY

C. A. 1983, 98, N 20

*SF<sub>6</sub>*

1983

10 Д462. Сравнение методов расчета вероятности многофотонного возбуждения молекулы SF<sub>6</sub> в приближении вращающегося поля и по теории Флоке. Comparison of the Floquet and rotating-wave methods for multiphoton excitation of SF<sub>6</sub>. Clагу D. C. «J. Phys. Chem.», 1983, 87, № 5, 735—739 (англ.)

Сравнены численные расчеты вероятности двухфотонного возбуждения колебательно-вращательного перехода в полосе ν<sub>3</sub> молекулы SF<sub>6</sub> по теории Флоке и с применением приближения вращающегося поля излучения (ПВП). Для расчетов использован точный гамильтониан колебательной моды ν<sub>3</sub> молекулы. Показано, что как среднее число поглощенных фотонов, так и его зависимость от мощности возбуждения (в области 1—100 МВт/см<sup>2</sup>), полученных двумя методами, хорошо согласуются между собой. Отмечается, что метод ПВП требует много меньшего машинного времени и объема памяти ЭВМ.

Х. В.

90. 1983, 18, N10

SF<sub>6</sub>

DM. 17997

1983

Diermann H.,

creeps

J. Phys. D: Appl. Phys.,  
1983, 16, N 9, 1651-1671.

SF<sub>6</sub>

[Om. 1965]

1983

Disbury G.,

изделий  
стекла  
высокого  
разделения.

Chem. Soc. Rev., 1983,  
12, N<sub>4</sub>, 453 - 477.

SF<sub>6</sub>

1983

/ 98: 62433a Diode laser spectroscopy of the fluoromercapto radical. Endo, Yasuki; Nagai, Keiichi; Yamada, Chikashi; Hirota, Eizi (Inst. Mol. Sci., Okazaki, Japan 444). *J. Mol. Spectrosc.* 1983, 97(1), 213-19 (Eng). The vibration-rotation spectra of the SF radical were obtd. by an IR diode laser spectrometer. The SF radical was generated directly in a cell by glow discharge in a mixt. of COS and CF<sub>4</sub>. Zeeman modulation and discharge current modulation were used to discriminate SF lines from many lines of the reactants and other products. Thirty-two lines were assigned to the  $v = 1 \leftarrow 0$  and  $2 \leftarrow 1$  bands of both  $^3\text{H}_{1/2}$  and  $^2\text{H}_{3/2}$  spin states. A least-squares anal. of all the assigned lines provided precise values for mol. parameters in  $v = 1$  and 2 and the 2 band origins, where ground-state consts. were constrained to microwave results. The harmonic frequency  $\omega_h$  was 837.641(813) cm<sup>-1</sup>, and the equil. bond length  $r_e$  was calcd. from the  $B_e$  rotational const. to be 1.596 244(22) Å with the error in parentheses, which included 2.5 std. deviations and the uncertainty of Planck's const.

KONF.-franz.  
Gremp,  
W<sub>2</sub>, Be

C. A. 1983, 98, N8.

$SF_6$

1983

Geraedts J., Stolte S.,  
et al.

Pi; Chem. Phys. Lett., 1983,  
97, 112, 152-154.

(cav.  $C_4H_4$ ;  $\underline{III}$ )

$(SF_6)_2$  Geraedts J., Stolte S.,  
 $(\text{O} \delta \text{ZOP})$  et al. 1983

Helv. phys. acta, 1983, 56,  
crekmpor N 1-3: Proc. 3. Gen. Conf.

Condensed Matter, Div.  
EPS, Lausanne, 28-30

March, 1983, 529-540.  
(Cu, H<sub>2</sub>-Ne;  $\text{III}$ )

SF<sub>6</sub>

1983

' 99: 13133q Matrix spectroscopy in the gas phase: IR spectroscopy of argon clusters containing sulfur hexafluoride or fluoromethane. Gough, T. E.; Knight, D. G.; Scoles, G. (Cent. Mol. Beams Laser Chem., Univ. Waterloo, Waterloo, ON Can. N2L 3G1). *Chem. Phys. Lett.* 1983, 97(2), 155-60 (Eng). Optothermal (bolometric) detection and a line-tunable CO<sub>2</sub> laser were used, in conjunction with supersonic beams of dil. mixts. of SF<sub>6</sub> or CH<sub>3</sub>F in Ar, to obtain the IR spectra of Ar clusters contg. these mols. The spectra obtained at the limit of large clusters are remarkably similar to the IR Ar matrix deposition spectra of the same mols.

CREEP &  
Ar sample

(2)(+1) CH<sub>3</sub>F

c. A. 1983, 89, n2

SF<sub>6</sub>

Он. 16346

1983

9 Д117. Электронная структура гексагалогенидов халькогенов. The electronic structure of chalcogen hexahalogenides. Gutsev G. L., Klyagina A. P. «Chem. Phys.», 1983, 75, № 2, 243—252 (англ.)

Электронный спектр гексагалогенидов халькогенов AX<sub>6</sub> с A=S, Se, Te и X=F, Cl вычислен дискретным вариац. методом с обменно-корреляционным потенциалом Xα в базисе численных хартри-фоковских волн. ф-ций. Рассматривается зависимость некоторых химич. свойств этих соединений от предсказанных распределений электронной плотности. В частности, дается объяснение закономерному изменению электронного сродства в ряду гексагалогенидов халькогенов. В. К. Баженов

(75) X

расчет  
структур,  
He;  
90. 1983, 18, N 9

SF<sub>6</sub>, TeF<sub>6</sub>, SCl<sub>6</sub>,  
SeCl<sub>6</sub>, TeCl<sub>6</sub>

SF<sub>6</sub>

Om. 16346

1983

13 Б16. Электронное строение гексагалогенидов халькогена. The electronic structure of chalcogen hexahalogenides. Gutsev G. L., Klyagina A. P. «Chem. Phys.», 1983, 75, № 2, 243—252 (англ.).

Дискретным вариац. Х<sub>α</sub>-методом в базисах численных хартри-фоковских *sp*- и *spd*-АО рассчитано электронное строение гексагалогенидов AX<sub>6</sub>, где A=S, Se, Te; X=F, Cl, и анионов ACI<sub>6</sub><sup>2-</sup>. На основе малликовских заселенности проанализирована связь ряда хим. св-в исследованных молекул с изменениями распределений электронной плотности. Особенности хим. связи гипотетич. гексахлоридов ACI<sub>6</sub> сопоставлены с характеристиками хим. связи в AF<sub>6</sub> и анионах PCl<sub>6</sub><sup>-</sup> и SbCl<sub>6</sub><sup>-</sup>, изоэлектронных SCI<sub>6</sub> и TeCl<sub>6</sub> соотв. В приближении переходного состояния рассчитаны Пт ионизации и сродство к электрону исследованных соединений. Исследованы изменения сродства к электрону вдоль ряда AX<sub>6</sub>. Обсужден ряд особенностей электронного строения.

(8)  
+8

X.1983, 19, N/3

SiCl<sub>6</sub>, SeF<sub>6</sub>, Sel<sub>6</sub>, Tel<sub>6</sub>,  
TeCl<sub>6</sub>, SiCl<sub>6</sub><sup>2-</sup>, Sel<sub>6</sub><sup>2-</sup>,

ния анионов  $\text{ACl}_6^{2-}$ , определяющих их стабильность и стереохим. св-ва. В приближении переходного состояния вычислены энергии оптич. переходов в  $\text{SeCl}_6^{2-}$  и  $\text{TeCl}_6^{2-}$ , с использованием к-рых интерпретированы эксперим. спектры поглощения. Заниженные значения теор. энергий оптич. переходов объяснены локальным характером  $X_{\alpha}$ -потенциала, неполнотой учитывающим самодействие электрона.

И. А. Тополь



*SF<sub>6</sub>*

*Om. 17384*

*1983*

12 Д69. Модельные собственные значения обертонов валентных колебаний молекул SF<sub>6</sub>, WF<sub>6</sub> и UF<sub>6</sub>. Model stretching overtone eigenvalues for SF<sub>6</sub>, WF<sub>6</sub>, and UF<sub>6</sub>.

Halonen L., Child M. S. «J. Chem. Phys.», 1983,  
79, № 2, 559—570 (англ.)

Показано, что 4-параметрическая потенц. модель для валентных колебаний октаэдрич. молекул XY<sub>6</sub> позволяет получить хорошее согласие между рассчитанными и известными эксперим. значениями колебательных частот молекул SF<sub>6</sub>, WF<sub>6</sub> и UF<sub>6</sub>. Проведен анализ колебательной структуры этих молекул для больших значений колебательной энергии. В результате этого анализа сделан, в частности, вывод, что для объяснения многофотонной ИК-диссоциации нет необходимости принимать во внимание ангармонич. резонансы. В. А. Морозов

*v<sub>i</sub>, расчет;*

(+2)

*cf. 1983, 18, N 12*